



جمهورية العراق  
وزارة التعليم العالي والبحث العلمي  
جامعة ميسان  
كلية العلوم  
قسم علوم الحياة

التخليق الحيوي لجسيمات الذهب النانوية بواسطة بعض الفطريات  
النباتية الداخلية وتحديد فعاليتها الحيوية كمضادات للأكسدة والسرطان

الرسالة مقدمة

الى مجلس كلية العلوم/جامعة ميسان

وهي جزء من متطلبات نيل شهادة الماجستير في علوم الحياة

من قبل الطالبة

ازهار محمد عليوي

بكالوريوس علوم الحياة/كلية العلوم

جامعة البصرة/2000-2001

بإشراف

الأستاذ المساعد الدكتور رشيد رحيم حنيت

2023م

1444هـ

بِسْمِ اللَّهِ الرَّحْمَنِ الرَّحِيمِ

(( يُطَافُ عَلَيْهِمْ بِصِحَافٍ مِنْ ذَهَبٍ  
وَأَكْوَابٍ وَفِيهَا مَا تَشْتَهِيهِ الْأَنْفُسُ وَتَلَذُّ  
الْأَعْيُنُ وَأَنْتُمْ فِيهَا خَالِدُونَ ))

صدق الله العلي العظيم

الزخرف | آية 71

## شهادة المشرف

أشهد بأني قرأت الرسالة الموسومة **التخليق الحيوي لجسيمات الذهب النانوية** بواسطة بعض الفطريات النباتية الداخلية وتحديد فعاليتها الحيوية كمضادات للأكسدة والسرطان والمقدمة من قبل الطالبة (ازهار محمد عليوي) وقد تم اعدادها تحت اشرافي في كلية العلوم جامعة ميسان كجزء من متطلبات شهادة الماجستير في علوم الحياة.

### التوقيع

أ.م. الدكتور رشيد رحيم حنيت

قسم علوم الحياة

كلية العلوم/ جامعة ميسان

التاريخ // 2023

### توصية رئيس قسم علوم الحياة

في ضوء التوصيات المتاحة ; احيل هذه الرسالة للمناقشة من قبل لجنة الامتحانات

### التوقيع

أ.م. الدكتور ميثم عبد الكاظم دراغ

رئيس قسم علوم الحياة

كلية العلوم/ جامعة ميسان

التاريخ: / / 2023

# الاهداء

الى شمس عالم الملك ومجلي الظلام

الى السماق السابق في اعلاء العلم

اليك هذا الجهد والجد خطوة وضاعة

التمس فيها رضاك .....مولاي حجة الله الأعظم

صاحب الزمان

# الشكر والتقدير والعرفان

الحمد لله والشكر له خالق السماوات والأرض ومافيهن بأسمة ابدأ وعليه اتوكل وبه استعين والصلاة والسلام على معلم البشرية محمد وعلى أله الطيبين الطاهرين وصحبه الغر الميامين على ما منحني من عزيمة وصبر وإرادة لإنجاز هذه الرسالة.

انطلاقاً من قول الامام زين العابدين عليه السلام: يقول الله تبارك وتعالى لعبد من عبده يوم القيامة اشكرت فلانا؟ فيقول بل شكرتك يا رب فيقول: لم تشكرني إذ لم تشكره. فأني أتوجه بالشكر والامتنان الى مشرفي الأستاذ المساعد الدكتور رشيد رحيم حثيت لإقتراحه هذا الموضوع وعلى دعمه المهني وتوجيهاته القيمة والودية طوال فترة البحث جزاه الله خير جزاء المحسنين. أتوجه بشكري الى عمادة كلية العلوم والشكر الخاص الى رئيس قسم علوم الحياه الدكتور ميثم عبد الكاظم لتسهيلهم كثير من الأمور في انجاز هذه الرسالة. كما أتوجه بالشكر الى أساتذتي في قسم علوم الحياه الدكتور صالح والأستاذ صادق والدكتورة اسوان والدكتور منذر في قسم الفيزياء والدكتور أسامة في قسم الكيمياء على تقديم المساعدة. كما أتقدم بالشكر الى معاون عميد كلية الزراعة الدكتور ضرغام والدكتور مخلص عبد الكريم الأستاذ في كلية الطب جامعة ميسان والدكتور علي عبد الرحمن والدكتورة أمل صالح كلية التربية جامعة البصرة والدكتورة آيات ابراهيم الأستاذة في كلية العلوم جامعة البصرة والدكتور احمد الشرع في كلية الهندسة على ما قدموه لي من معلومات ونصائح اسأل الله التوفيق لهم والسداد. كذلك أتقدم بخالص الشكر والعرفان الى زميلي الأستاذ حسن لتقديره المساعدة والمساندة اللامتناهية طيلة فترة بحثي. أقدم شكري الى صديقاتي الست حوراء عبد الجبار والست هبة في مختبر الاحياء المجهرية والست ثريا والست نورفي إزالة العقبات طيلة مدة البحث والدراسة اسأل الله ان يحفظهم ويوفقهم. أقدم شكري وامتناني الى الدكتور ميثاق شمخي مسؤول شعبه تعزيز الصحة في دائرة صحة ميسان ومدير المختبر المركزي الأستاذ سليم حلو وزميلي الأستاذ سلام جاسم الكيمياوي في مختبر مستشفى الصدر العام على دعمهم بتجهيزي لبعض الأدوات والمواد. واخيراً انا ممتنة الى والدي لدعواتهم المتواصلة لي وشكري الى عائلتي واخواتي على صبرهم ودعمهم لي طوال فترة الدراسة.

ازهار محمد عليوي

## الخلاصة

في الدراسة الحالية تم جمع عينات من اوراق نبات (الصبار، الاكاسيا، الختمة) للمدة ما بين تشرين الثاني 2021 إلى منتصف كانون الثاني 2022 من مناطق مختلفة في محافظة ميسان (حديقة كلية الصيدلة ،حديقة كلية العلوم ،حديقة المنزل ) وتم جلب العينات النباتية الى مختبر التقنية الحيوية في كلية العلوم جامعة ميسان وتم عزل اعداد من الفطريات بطريقة تعقيم السطح Surface sterilization وقد تم تشخيص الفطريات بصورة أولية بالمجهر الضوئي وشخصت أربعة أنواع من فطريات النسيج الداخلي Endophyte fungi جزئياً باستعمال تقنية تفاعل البلمرة المتسلسل (PCR) Polymerase chain reaction إذ تم عزل وتشخيص الفطر *Aspergillus fumigatus* isolate AZ-RA123 من أوراق نبات الصبار وعزل وتشخيص الفطر *Penicillium citrinum* isolate MEBPOO16 من أوراق نبات الختمة وعزل الفطر *Aspergillus fumigatus* strain Zbf-R10 والفطر *Aspergillus tubingensis* strain HRb من أوراق نبات الاكاسيا وبعد تشخيص الفطريات تم اختبار إمكانية هذه الفطريات في التصنيع الحيوي لجسيمات الذهب النانوية وذلك بمزج الراشح الفطري مع محلول كلوريد الذهب الرباعي  $\text{HauCl}_4 \cdot 3\text{H}_2\text{O}$  وظهرت النتائج حدوث تغير لوني كمؤشر ودليل اولي على تكون جسيمات الذهب النانوية وتم تأكيد انتاج جسيمات الذهب النانوية عن طريق فحص مطياف الاشعة المرئية فوق بنفسجية UV-VIS spectrophotometer إذ أظهرت النتائج امتلاك جسيمات الذهب النانوية قمم طيف الاشعة البنفسجية عند الاطوال الموجية بين (548-610) نانومتر. و تضمن التوصيف الفيزيائي لجسيمات الذهب النانوية المحظرة حيويًا حيود الاشعة السينية X Ray diffraction والمجهر الالكتروني النافذ Transmission electron microscope (TEM) والمجهر الالكتروني الماسح للأنبعاث المجالي Field Emission Scanning Electronic Microscope (FE-SEM) وفحص مجهر القوى الذرية (AFM) Atomic force microscope وفحص زيتا Zeta potential إذ أظهرت نتائج فحص حيود الاشعة السينية ان جسيمات الذهب النانوية تمتلك تركيب مكعب متمركز الوجه FCC كما أظهرت نتائج فحص TEM أن احجامها تتراوح من (12-187) نانومتر واشكالا مختلفة. كما اثبتت نتائج فحص مجهر القوى الذرية للصور الثنائية والثلاثية الابعاد لجسيمات الذهب النانوية المخلفة حيويًا امتلاكها ابعادا ضمن المقياس النانوي. وظهرت

نتائج فحص زيتا اكتساب جسيمات الذهب النانوية شحنات سطحية سالبة ساعد على عدم تنافرها واستقرارها عند القيم (-8.9, -9.1, -9.4) ملي فولت. كما تم تقييم الفعالية الحيوية المضادة للأورام ضد خط خلايا سرطان الثدي MCF-7 لمحاليل جسيمات الذهب النانوية وتبين ان جسيمات الذهب النانوية المحضرة من الفطر *Penicillium citrinum* isolate MEBPOO16 هي فقط تمتلك نشاط مضادا للسرطان عند التركيز 500 و1000 مايكروغرام /مل بنسبة تثبيط 35% و 30% على التوالي بألية غير معتمدة على تنشيط انزيم الكازيبز 3 وأكدت نتائج التحليل الاحصائي وجود فروق معنوية بين التراكيز المثبطة للخلايا السرطانية عند مستوى معنوية 0.05. كما تم تقييم فعالية جسيمات الذهب النانوية المحضرة من راسح الفطر *Aspergillus fumigatus* strain Zbf-R10 كمضادة اكسدة بطريقة الكسح الجذري لمادة 22,-diphenyl-1-picrylhydrazyl (DPPH) حيث أظهرت النتائج ان جسيمات الذهب النانوية تمتلك اعلى فعالية مضادة للأكسدة بنسبة كسح 71% عند التركيز 800 ميكروغرام / مل.

## المحتويات

رقم الصفحة	الموضوع
أ	الخلاصة (باللغة العربية)
ج	قائمة المحتويات
و	قائمة الجداول
ز	قائمة الأشكال
ك	قائمة المختصرات

الصفحة	العنوان	التسلسل
<b>الفصل الأول: المقدمة</b>		
1	المقدمة Introduction	1-1
3	الهدف من الدراسة The aim of the study	2-1
<b>الفصل الثاني : استعراض المراجع</b>		
4	تقنية النانو Nanotechnology	1-2
6	تاريخ التقنية النانوية	2-2
8	الجسيمات النانوية Nanoparticles	3-2
9	تصنيف الجسيمات النانوية	1-3-2
10	الجسيمات النانوية في النظام البيئي	2-3-2
12	الذهب	4-2
13	التخليق الحيوي لجسيمات الذهب النانوية	5-2
18	الآلية التخليق الحيوي لجسيمات الذهب النانوية	6-2
20	تطبيقات جسيمات الذهب النانوية	7-2
22	الفطريات النباتية الداخلية Endophyte fungi	8-2



24	الفطريات النباتية الداخلية مصدر للجسيمات النانوية	1-8-2
25	The cancer السرطان	9-2
25	Breast cancer سرطان الثدي	1-9-2
26	Treatment of breast cancer علاج سرطان الثدي	2-9-2
29	علاج سرطان الثدي بتقنية النانو	3-9-2
30	الية تثبيت الجسيمات الذهبية النانوية للخلايا السرطانية	10-2
33	جسيمات الذهب النانوية كمضادات اكسدة	11-2
<b>الفصل الثالث: المواد وطرق العمل</b>		
35	Equipments and Apparatus الأجهزة والمعدات المختبرية	1-3
36	الأدوات المستخدمة في هذه الدراسة	2-3
37	المواد الكيميائية والاحيائية	3-3
39	الأوساط الزرعية	4-3
40	خطوات طرائق العمل	5-3
41	جمع العينات	1-5-3
41	عزل فطريات النسيج النباتي الداخلي	2-5-3
42	تنقية وتشخيص الأنواع الفطرية قيد الدراسة	3-5-3
42	التشخيص الجزيئي للفطريات المدروسة	4-5-3
42	استخلاص ال DNA من المستعمرات الفطرية	1-4-5-3
44	الترحيل الكهربائي الهلامي لتحليل جودة DNA	2-4-5-3
44	The primers preparation تحضير البوائى	3-4-5-3
45	تحضير مزيج مكونات تفاعل ال PCR	4-4-5-3
46	تضخيم الدنا بواسطة جهاز التدوير الحراري	5-4-5-3
47	التخليق الحيوي لجزيئات الذهب النانوية من الفطريات المدروسة	5-5-3
47	Preparation of $HauCl_4 \cdot 3H_2O$ تحضير محلول كلوريد الذهب	1-5-5-3

47	تحضير جسيمات الذهب النانوية حيويًا	2-5-5-3
48	التشخيص الفيزيائي لجسيمات الذهب النانوية المخلفة حيويًا	6-5-3
48	التحليل الطيفي للأشعة فوق البنفسجية Ultra violet visible	1-6-5-3
48	حيود الأشعة السينية (XRD) X Ray diffracton	2-6-5-3
49	المجهر الإلكتروني النافذ Transmission electron microscope (TEM)	3-6-5-3
49	المجهر الإلكتروني الماسح للانبعاث المجالي Field emission electron microscope	4-6-5-3
49	مجهر القوة الذرية Atomic force microscope (AFM)	5-6-5-3
49	جهد زيتا Zeta potential	6-6-5-3
49	تحديد الفعالية المضادة للأكسدة لجسيمات الذهب النانوية المخلفة مختبريًا	7-5-3
50	دراسة الفعالية المضادة للسرطان لجسيمات الذهب النانوية المخلفة في المختبر	8-5-3
50	إدامة مزارع الخلايا السرطانية	1-8-5-3
50	فحوصات السمية الخلوية Cytotoxicity assays	2-8-5-3
51	الكشف المناعي عن بروتينات الموت الخلوي المبرمج Caspase <sup>3</sup>	3-8-5-3
52	التحليل الاحصائي	9-5-3
<b>الفصل الرابع: النتائج والمناقشة</b>		
53	العزل والتشخيص	1-4
53	عزل فطريات النسيج الداخلي	1-1-4
53	التشخيص الجزيئي للفطريات المعزولة	2-1-4
55	التخليق الحيوي لجسيمات الذهب النانوية	2-4
59	توصيف جسيمات الذهب النانوية	3-4
59	التحليل الطيفي للأشعة فوق البنفسجية UV-Visible	1-3-4
62	حيود الأشعة السينية XRD	2-3-4
66	المجهر الإلكتروني الماسح للانبعاث المجالي (EDX و FeSem)	3-3-4

68	المجهر الالكتروني النافذ TEM	4-3-4
73	مجهر القوى الذرية AFM	5-3-4
77	جهد زيتا Zeta potential	6-3-4
79	تأثير جسيمات الذهب النانوية المخلفة كمضادات اكسدة	4-4
81	الفعالية المضادة للسرطان لجسيمات الذهب النانوية المخلفة حيويًا ضد خط سرطان الثدي MCF-7	5-4
86	تقنية الكيمياء المناعية النسيجية لاختبار تحفيز Caspase 3	6-4
<b>الفصل الخامس: الاستنتاجات والتوصيات</b>		
88	الاستنتاجات Conclusions	1
89	التوصيات Recommendation	2
90	المصادر العربية	3
91	المصادر الاجنبية	4
	الملاحق	5

## قائمة الجداول

رقم الجدول	عنوان الجدول	الصفحة
1-2	بعض أنواع البكتريا المنتجة للجسيمات النانوية	15
2-2	بعض أنواع الفطريات المنتجة للجسيمات النانوية	16
3-2	بعض أنواع الطحالب المنتجة للجسيمات النانوية	17
1-3	الأجهزة والمعدات المستخدمة	35
2-3	الأدوات المستخدمة في هذه الدراسة	36
3-3	المواد الكيميائية والاحيائية المستخدمة في الدراسة الحالية	37
4-3	الأوساط الزراعية المستخدمة في عزل وتخمر الفطريات	39
5-3	النباتات المستخدمة في الدراسة الحالية	41

45	تسلسل البادئ ITS1 و ITS4 المستخدمة في هذه الدراسة	6-3
45	مكونات مزيج تفاعل ال PCR	7-3
46	الظروف المثلى لتضخيم الحامض النووي المستخلص من الفطريات المعزولة في دراستنا الحالية	8-3
55	التشخيص الجزيئي للفطريات المعزولة من النسيج الداخلي لأوراق النباتات قيد الدراسة	1-4
59	قيم الامتصاصية وشدة الامتصاصية لجسيمات الذهب النانوية المخلفة من الرواشح الفطرية قيد الدراسة	2-4

## قائمة الاشكال

الصفحة	عنوان الشكل	رقم الشكل
5	اهم تطبيقات التقنية النانوية	1
6	المناهج والطرق المختلفة في توليف الجسيمات النانوية	2
7	تطور التقنية النانوية عبر التاريخ	3
8	الدقائق الرئيسية والتجمعات والتكتلات	4
9	أنواع الجسيمات العضوية	5
11	التركيب النانوي المضاد للانعكاس لجناح الفراشة الزجاجي	6
20	الآلية التصنيع الحيوي لجسيمات الذهب النانوية	7
28	أنواع العلاجات المناعية لسرطان الثدي	8
32	الآلية عمل جسيمات الذهب النانوية ضد الخلايا السرطانية	9
40	مخطط يوضح خطة عمل الدراسة البحثية (اعداد الباحثة)	10
54	A حجم ناتج PCR بعد الترحيل الكهربائي على 1.5% هلام الاكاروز، B طفرة الغرز بإضافة نوكليو تيد C عند الموقع 13 زوج قاعدي pb	11
57	التغير اللوني من الأصفر الى البني الداكن لراشح مزرعة	12

	<i>A.fumigatus</i> strain Zbf-R10 الفطر	
57	التغير اللوني من الأصفر الى البنفسجي لراشح مزرعة <i>A.tubingensis</i> strain HRb الفطر	13
58	التغير اللوني من الأصفر الى البني لراشح مزرعة الفطر <i>A.fumigatus</i> isolate AZ-RA123	14
58	التغير اللوني من الأصغر الى البني لراشح مزرعة الفطر <i>P.citrinum</i> isolate MEBPOO1	15
60	طيف الاشعة فوق البنفسجية لراشح مزرعة الفطر <i>A.fumigatus</i> strain Zbf-R10	16
61	طيف الاشعة فوق البنفسجية لراشح مزرعة الفطر <i>A.tubingensis</i> strain HRb	17
61	طيف الاشعة فوق البنفسجية لراشح مزرعة الفطر <i>A.fumigatus</i> isolate AZ-RA123	18
62	طيف الاشعة فوق البنفسجية لراشح مزرعة الفطر <i>P.citrinum</i> isolate MEBPOO1	19
64	نمط حيود الاشعة السينية لجسيمات الذهب النانوية المخلفة من راشح الفطر <i>A.fumigatus</i> strain Zbf-R10	20
64	نمط حيود الاشعة السينية لجسيمات الذهب النانوية المخلفة من راشح الفطر <i>A.tubingensis</i> strain HRb	21
65	نمط حيود الاشعة السينية لجسيمات الذهب النانوية المخلفة من راشح الفطر <i>A.fumigatus</i> isolate AZ-AR123	22
65	نمط حيود الاشعة السينية لجسيمات الذهب النانوية المخلفة من راشح الفطر <i>P.citrinum</i> isolate MEBPOO1	23
67	A صور المجهر الالكتروني FESEM و B edx لجسيمات الذهب النانوية المخلفة من راشح الفطر <i>A.tubingensis</i> strain HRb	24
67	A صور المجهر الالكتروني FESEM و B edx لجسيمات الذهب النانوية المخلفة من راشح الفطر <i>A.fumigatus</i>	25

	isolate AZ-AR123	
68	A صور المجهر الالكتروني FESEM و B edx لجسيمات الذهب النانوية المخلفة من راشح الفطر <i>P.cirinum</i> isolate MEBPOO1	26
69	صور TEM لجسيمات الذهب النانوية لراشح الفطر <i>A.tubingensis</i> strain HRb	27
70	توزيع الحجم لجسيمات الذهب النانوية لراشح الفطر <i>A.tubingensis</i> srtain HRb	28
70	صور TEM لجسيمات الذهب النانوية لراشح الفطر <i>A.fumigatus</i> AZ-AR123	29
71	توزيع الحجم لجسيمات الذهب النانوية لراشح الفطر <i>A.fumigatus</i> AZ-AR123	30
71	صور TEM لجسيمات الذهب النانوية لراشح الفطر <i>P.citrinum</i> isolate MEBPOO1	31
72	توزيع الحجم لجسيمات الذهب النانوية لراشح الفطر <i>P.citrinum</i> isolate MEBPOO1	32
72	صور TEM لجسيمات الذهب النانوية المخلفة من راشح الفطر <i>A.fumigatus</i> srtain Zbf-R10	33
73	توزيع الحجم لجسيمات الذهب النانوية المخلفة من راشح الفطر <i>A.fumigatus</i> srtain Zbf-R10	34
74	صورة ثلاثية الابعاد لجسيمات الذهب النانوية المخلفة من راشح الفطر <i>A.tubingensis</i> srtain HRb	35
74	صورة ثنائية الابعاد لجسيمات الذهب النانوية لراشح الفطر <i>A.tubingensis</i> srtain HRb	36
75	صورة ثلاثية الابعاد لجسيمات الذهب النانوية المخلفة من راشح الفطر <i>A.fumigatus</i> AZ-AR123	37
75	صورة ثنائية الابعاد لجسيمات الذهب النانوية المخلفة من راشح الفطر <i>A.fumigatus</i> AZ-AR123	38
76	صورة ثلاثية الابعاد لجسيمات الذهب النانوية المخلفة من	39

	راشح الفطر <i>P. citrinum</i> isolate MEBPOO1	
76	صورة ثنائية الابعاد لجسيمات الذهب النانوية المخلفة من راشح الفطر <i>P. citrinum</i> isolate MEBPOO1	40
78	جهد زيتا لجسيمات الذهب النانوية لراشح الفطر <i>A.tubingensis</i> srtain HRb	41
78	جهد زيتا لجسيمات الذهب النانوية لراشح الفطر <i>A.fumigatus</i> AZ-AR123	42
79	جهد زيتا لجسيمات الذهب النانوية لراشح الفطر <i>P.</i> <i>citrinum</i> isolate MEBPOO1	43
80	النسبة المئوية للكسح الجذري لحمض الاسكوريك ولجسيمات الذهب النانوية المخلفة من راسح الفطر <i>A.fumigatus</i> srtain Zbf-R10	44
81	فعالية المضادة للاكسدة لحمض الاسكوريك ولجسيمات الذهب النانوية لراشح الفطر- <i>A.fumigatus</i> srtain Zbf- R10 بطريقة DPPH	45
83	النسبة المئوية لحيوية خلايا خط MCF-7 المعرضة لجسيمات الذهب النانوية المخلفة من راسح الفطر <i>A.tubingensis</i> srtain HRb	46
84	النسبة المئوية لحيوية خلايا خط MCF-7 المعرضة لجسيمات الذهب النانوية المخلفة من راسح الفطر <i>A.fumigatus</i> AZ-AR123	47
85	النسبة المئوية لحيوية خلايا MCF-7 المعرضة لجسيمات الذهب النانوية المخلفة من راسح الفطر <i>P. citrinum</i> isolate MEBPOO1	48
87	خلايا خط MCF-7 المعاملة بجسيمات الذهب النانوية لراشح الفطر <i>P. citrinum</i> isolate MEBPOO1 والمصبغة بصبغة ADB	49

87	خلايا خط MCF-7 غير المعاملة بجسيمات الذهب النانوية ومصبغة بصبغة ADB	50
----	--	----

## قائمة المختصرات

الاختصارات	المفتاح
AFM	Atomic Force Microscope
CNT	Carbon nano Tube
CPT	Camptothecin
DAB	Diaminobenzidine
DMSO	Dimethyl Sulphoxide
DPPH	2,2-diphenyl-1-picrylhydrazyl
EDX	Energy Dispersive X-Ray Analysis
ER	Endrogen Receptor
FCC	Face-Centered Cubic
FE-SEM	Field Emission Scanning Electronic Microscope
GCCG	Glutathion disulfide
HER2	Human Epidermal growth factor Receptor
MCF-7	Michigan Cancer Foundation
MTT	Dimethylthiazol-2-yl-2,5 diphenyl tetrazolium bromide
MGYP	Malt Glucose Yeast Peptone
NADPH	Nicotinamide Adenine Dinucleotide phosphate Hydrogen
NCBI	National Center for Biotechnology Information
PBS	Babio Phosphate Buffered Saline
PCR	Polymerase chain reaction
PDA	Potata Dextrose Agar
PDP	Potata Dextrose Proth



PR	Progesteron Receptor
ROS	Reaction Oxygen Species
RPMI-1640	Roswell Park Memorial Insititute
SPR	Surface Plasmon Resonance
TEM	Transmission Electron Microscope
TFTs	Thin-Film transistors
XRD	X-Ray Diffraction

الفصل الأول

المقدمة

Introduction

## 1-المقدمة

يعد سرطان الثدي من المشاكل الصحية الكبرى للنساء في مختلف انحاء العالم فهو اكثر أنواع السرطانات شيوعا التي تم تشخيصها عند النساء وثاني مسببات الوفاة عند النساء بعد سرطان الرئة في الدول المتطورة والسبب الأول للوفيات السرطانية في البلدان النامية عند النساء ويشكل نسبة 29% من جميع السرطانات عند النساء (Siegel *et al.*, 2012) وحسب احصائيات منظمة الصحة العالمية لسنة 2020 تم تقدير حالات سرطان الثدي بـ 2.2 مليون حالة مقارنة ببقية أنواع السرطانات حيث قدرت اعداد سرطان الرئة بـ 2.21 مليون حالة وسرطان البروستات بـ 1.41 مليون حالة (Ferlay *et al.*, 2021).

يتم علاج سرطان الثدي بعد تشخيصه بعدة طرق تقليدية منها الجراحة والعلاج المناعي والعلاج الكيميائي والاشعاعي (Zeh, 2020) ويعتبر العلاج الكيميائي والجراحي هما الخياران العلاجان الاوليان لمرضى السرطان (Xie *et al.*, 2020) وبسبب الاضرار والاعراض الجانبية للعلاجات الكيميائية والاشعاع وتأثيراته على الخلايا السليمة وتطوير مقاومة الادوية والقصور في العلاج ظهرت الحاجة الملحة لتطوير طرق وأساليب جديدة ومن مصادر طبيعية تكون لها فعالية مضادة للسرطان بديلا عن العلاجات التقليدية (Wang *et al.*, 2020; Mansoori *et al.*, 2017). على سبيل المثال تم استخلاص مركبات ثانوية من الفطريات ذات نشاط مضاد للسرطان من هذه المركبات Taxol و Podophyllotoxin و Camptothecine الا ان هذه المواد تواجه عقبات داخل الجسم وظروف يمكن ان تغير هيكلها الطبيعي وتضعف فعاليتها المضادة للسرطان (Kumar *et al.*, 2021; Seca and Pinto, 2018).

تمكن العلماء من ابتكار تقنية جديدة تدعى بالزراعة النسيجية (Tissue culture) التي تعمل على تسهيل معرفة تأثير العلاج التجريبي على أنواع مختلفة من الخلايا السرطانية والطبيعية خارج الجسم *in vitro* وذلك باستخدام خطوط الخلايا السرطانية وخطوط الخلايا الطبيعية ومعرفة مدى تأثيرها السمي Cytotoxic effect على هذه الخلايا (Koch *et al.*, 2021; Taylor, 2014). في الآونة الأخيرة تزايدت أهمية التقنية النانوية وهي التقنية التي تتضمن تصنيع وتطبيقات المواد التي تمتلك ابعاد في حدود 1-100 نانومتر وتكاملت مع العلوم الأخرى وخاصة الصيدلانية مما أدى الى دخولها في مجال التطبيقات

الطبية واهمها علاج السرطان إذ يستخدم فيها الجسيمات النانوية للتشخيص والعلاج وكمضادات اكسدة (Shi, 2021;Madani *et al.*, 2020; Senapati *et al.*, 2018).

تأخذ الجسيمات النانوية المعدنية Mineral nanoparticles مجالاً مهماً في علم المواد بسبب خصائصها الفيزيائية والكيميائية الفريدة التي تختلف عن المواد الحرة (Ealia and Saravanakumar, 2017) ومن اهم الصفات التي تمتلكها الجسيمات النانوية هي زيادة مساحتها السطحية بالنسبة الى الحجم الذي اكسبها خواص حرارية وميكانيكية لها تأثير كبير على التطبيقات الحيوية والصحية على وجه الخصوص (Muddapur *et al.*, 2022).

اتجه العلماء لتخليق الجسيمات النانوية حيويًا بسبب كلفتها القليلة وكونها صديقة للبيئة حيث تكون هذه الطرق خالية من الملوثات مقارنة بالتخليق الكيميائي والفيزيائي التي غالباً ما تستخدم طاقة عالية ومواد كيميائية سامة وهي نقطة مهمة ومصدر قلق كبير للتطبيقات البيولوجية وخاصة الطبية منها (Muddapur *et al.*, 2022; Zadeh *et al.*, 2022). استخدمت المستخلصات النباتية والاحياء المجهرية الدقيقة كالبكتريا والفطريات والخمائر والطحالب والبكتريا الخيطية Actinomycetes في تخليق الجسيمات النانوية المعدنية الوظيفية كالذهب (Au) والفضة (Ag) والبلاتين (Pt) إذ تحتوي المستخلصات الحيوية لهذه الكائنات على الانزيمات التي تقوم باختزال ايونات المعادن الذائبة وتحولها الى بلورات نانوية (Dewan, 2022; Ali and Mohammed., 2021; Kitching *et al.*, 2015) وتعد الفطريات الداخلية Endophyte fungi التي تعيش داخل الانسجة النباتية من دون ان تسبب لها الاضرار مصدر حيوي حديث ومهم لكثير من الايوض الحيوية الفعالة Bioactive metabolite والتي تعد من عوامل الاختزال لأيونات المعادن والتي تقوم باختزالها الى جسيمات نانوية (Sardul *et al.*, 2017).

تعد تقانة تفاعل البلمرة المتسلسل PCR من التقنيات المهمة والتي يعتمد عليها في استهداف وتضخيم منطقة معينة من جينوم الكائن الحي للكشف عن علاقة الترابط بين الجينات الوراثية الموجودة بين الفطريات (Aslam *et al.*, 2017). ان استخدام تقنية تفاعل البوليمر المتسلسل المعروفة PCR في التشخيص الدقيق للفطريات والكائنات الأخرى تشخيصاً جزيئياً أدى إلى القضاء على النتائج غير الدقيقة المعتمدة على الصفات المظهرية (Graeser and Saunte, 2020; Wickes and Wiederhold, 2018). استخدمت هذه

التقنية PCR في تشخيص كثير من أنواع الفطريات في كثير من الأبحاث مثل *pileolaria* و *Aspergillus SPP* و *terebinthi* (Alaei et al., 2012) :ابراهيم، 2021).

تمتلك جسيمات الذهب النانوية تطبيقات في علم الاحياء المجهرية والالكترونيات والطب وكناقل للأدوية كونها مضادة للأكسدة وثابتة في الظروف البيئية و سطح بايلوجي يمكن توظيفه ،ومن اهم هذه التطبيقات هي امتلاكها فعالية مضادة للسرطان وكسح للجذور الحرة ، إذ تؤثر جسيمات الذهب النانوية على الخلايا السرطانية وكذلك على الجذور الحرة بتراكيز معينة ،ومن الجدير بالذكر انها تؤثر على الخلايا السرطانية من دون ان تؤثر على الخلايا الطبيعية وتعمل على قتل الخلايا السرطانية باليات كثيرة منها موت الخلية المبرمج (Patil et al., 2019).

## 2-1- أهداف الدراسة Aims of the study

- 1- عزل فطريات النسيج النباتي الداخلي Endophyte fungi وتشخيصها بالطرق الجزيئية.
- 2- اختبار قدرة الفطريات المعزولة على تخليق جسيمات الذهب النانوية.
- 3- تحديد خصائص جسيمات الذهب النانوية بإستعمال تقنيات التحليل الطيفي للأشعة فوق البنفسجية (UV) وحيود الأشعة السينية (XRD) والمجهر الالكتروني النافذ (TEM) والمجهر الالكتروني الماسح للأنبعاث المجالي (FESEM) و مجهر القوى الذرية (AFM) و جهد زيتا Zeta Potentail .
- 4- استخدام جسيمات الذهب النانوية المحضرة بواسطة فطريات النسيج النباتي الداخلي كمضادات للسرطان تجاه خط سرطان الثدي MCF-7 وكمضادات للأكسدة.
- 5- اختبار فعالية جسيمات الذهب النانوية المحضرة مختبريا في تحفيز انزيم Caspase 3 .

# الفصل الثاني

استعراض المراجع

Literature Review

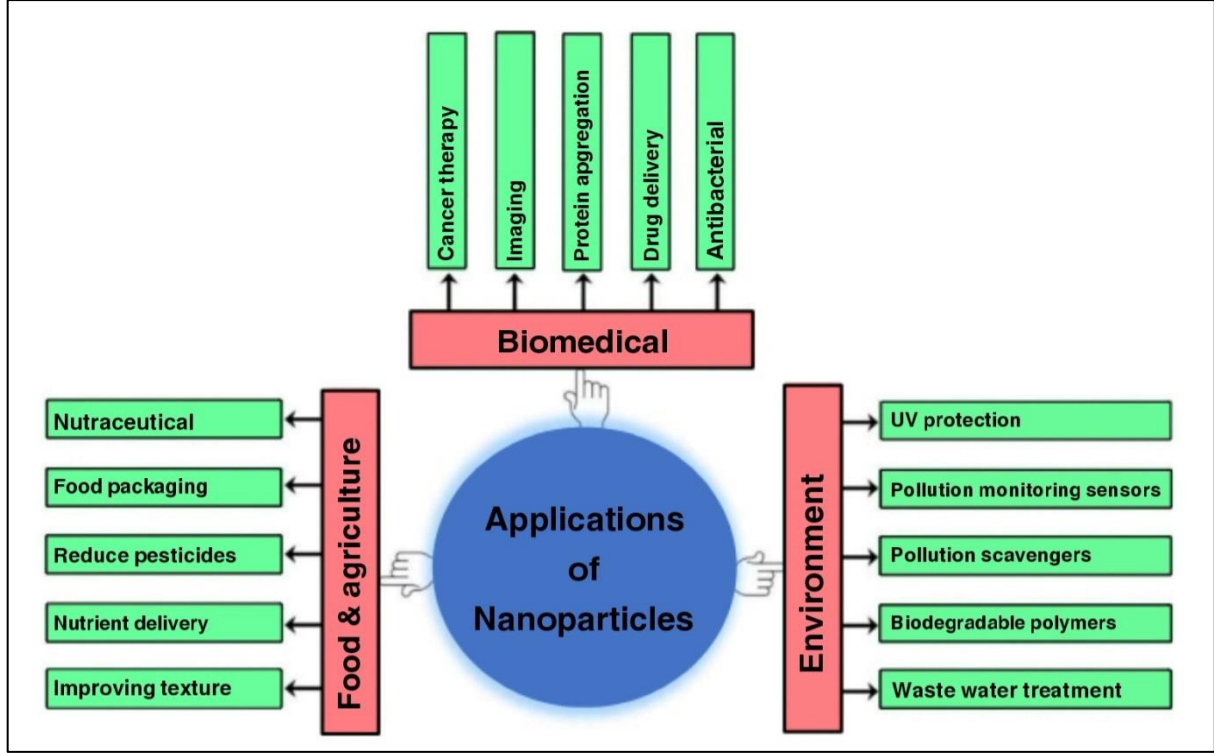
## 2- استعراض المراجع

## 1-2- تقنية النانو Nanotechnology

تقنية النانو هي العلوم المتعددة التخصصات والتعقيد بما في ذلك علم الفيزياء النانوية والكيمياء النانوية والمواد النانوية والالكترونيات النانوية وعلم القياس النانوي وعلم الايونات النانوية وغيرها وتعتبر تقنية النانو مزيجا جديدا من العلوم ومجموعة واسعة من التطبيقات التي تتراوح من انتاج الطاقة الى الإنتاج الصناعي والتطبيقات الطبية والحيوية (Madkour, 2019) شكل (1). والنانو كلمة تعني في اللغة اليونانية نانوس وتعني بعالم الاقزام الخرافي المتناهي في الصغر dwarf أو الشيء الصغير جدا وهي وحدة قياس يرمز لها بالرمز (nm) وتساوي جزء واحد من المليار من المتر  $10^{-9}$  وهذا المقياس اصغر من طول موجة الضوء المرئي واقل بـ 100 الف مرة من سمك شعرة الانسان (Tripathi, 2019) ، ويصف توماس كيني من جامعة ستانفورد حجم الجزيئة النانوية بعدة امثلة منها معدل نمو ظفر الأنسان في ثانية واحدة أو ارتفاع قطرة ماء بعد بسطها على مساحة متر مربع واحد (Parsa, 2011).

تستند تقنية النانو على خاصية وهي كلما صغر حجم الجسيمات النانوية زادت نسبة مساحة السطح الى الحجم وهذه الخاصية تمنحها سرعة في التفاعلات الكيميائية وخصائص فيزيائية متعلقة بقوانين الكم (Rafique et al., 2020). كما أوضح AL Dabbagh (2022)، إن التغييرات التي تحصل في خصائص المواد عند تحولها للمقياس النانوي هي مثل قلة الوزن وزيادة المقاومة الكهربائية وزيادة صلابة المعادن وتحول المواد المعتمدة الى شفافة وتحول المواد من الحالة الصلبة الى السائلة في درجات الحرارة الاعتيادية. استغل العلماء هذه الخصائص في انتاج مواد وأجهزة وأدوات تخدم البشرية لاسيما في حقل الطب الحيوي والصيدلة وتشير التوقعات ان التقنية النانوية في مجال الصيدلة والطب سوف تقوم بأحداث ثورة في مجال إيصال الدواء والتشخيص والتصوير والمجسات الحيوية (Matteucci et al., 2018). وبسبب الاتساع والشمولية والتطور السريع الحاصل في هذا المجال عدت التقنيات النانوية اليوم من اكثر التقنيات المهمة بين العلوم الحديثة مما دفع الدول والمؤسسات البحثية للتنافس واستثمار المال والجهد في أبحاث تطوير التقنية النانوية

مما يسهم في حل كثير من المشاكل الخطيرة التي يعاني منها البشر مثل انتاج مواد جديدة وعلاج الامراض المستعصية وكفاءة الطاقة (Abad-Segura *et al.*, 2020).



شكل (1) اهم تطبيقات التقنية النانوية (Koul *et al.*, 2021)

إن أحد الأهداف الرئيسية لتقنية النانو هو انتاج الجسيمات النانوية بإستعمال أساليب ومناهج بديلة مستدامة وصديقة للبيئة مقارنة بالمناهج المستخدمة سابقا والتي تتميز بشكل عام بالكلفة العالية وتنطوي على استعمال مواد كيميائية خطيرة (Shah *et al.*, 2015). هناك مفهومان يستخدمهما العلماء لتخليق الجسيمات النانوية موضحان في شكل (2)

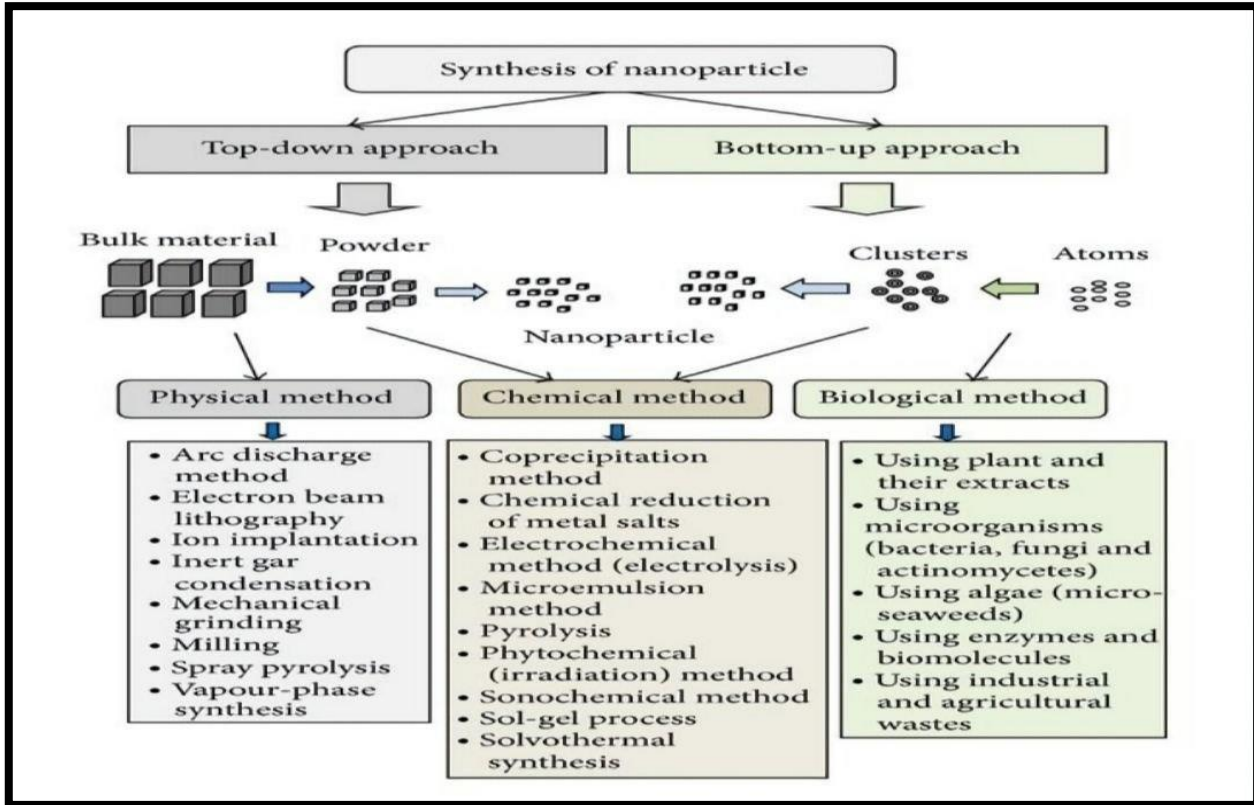
المفهوم الأول: من اعلى الى أسفل Top-Down

في هذا النوع من التخليق الجسيمات النانوية يتم انتاجها عن طريق العمليات الفيزيائية كالإشعاع والليزر والطحن والقطع إذ تتحول المادة من الحجم الكبير الى حجم أصغر وصولا للحجم النانوي (Purohit *et al.*, 2019).



المفهوم الثاني من الأسفل الى الأعلى Bottom-Up

يشمل هذا المفهوم انتاج الجسيمات النانوية عن طريق العمليات الكيميائية والبايولوجية عبر ضم الذرات والجزيئات الأصغر وبناء هياكل نانوية ثم تجميعها لإنتاج الجسم النهائي (Subramani *et al.*, 2019).

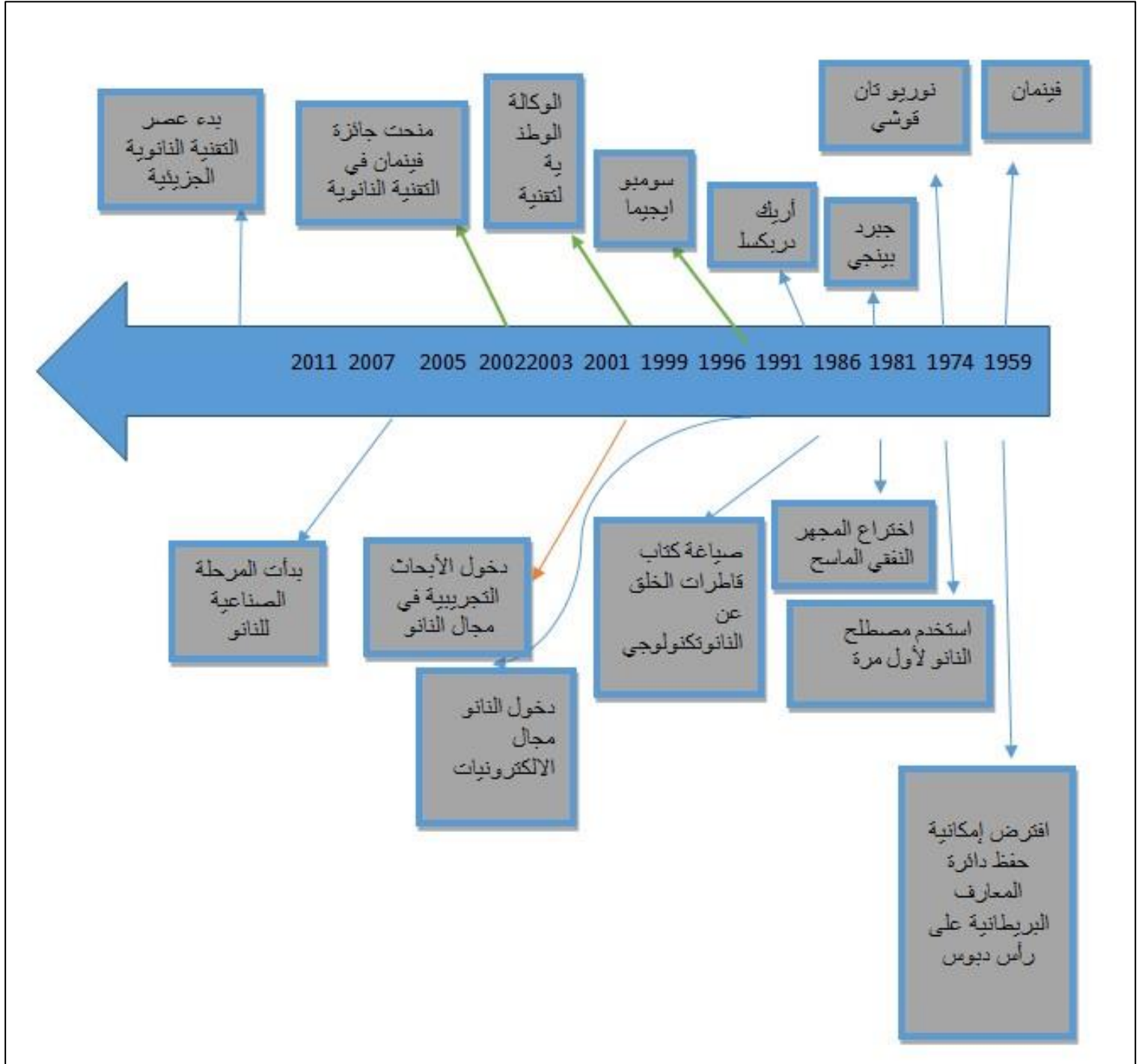


شكل (2) مناهج وطرق تصنيع الجسيمات النانوية (Parveen *et al.*, 2022)

## 2-2- تاريخ التقنية النانوية

أستعمل البشر تقنية النانو منذ الاف السنين من غيران يدرك حقيقة هذه التقنية وخصائصها وتحضيرها فأستخدموا الاحجام الذرية للمواد النانوية في كثير من الصناعات مثل المطاط والزجاج وغيرها (Joy, 2020) كما استخدمت المواد النانوية المعدنية منذ القرن العاشر الميلادي وهذا ما عثر عليه في الاواني الزجاجية المصبوغة والخزفية المطلية

بنانو الذهب والفضة (Patkar et al., 2019). وللوقوف على اهم الاحداث التاريخية التي توالفت في تطور علم النانو ندرج شكل (3) والذي يمثل المراحل التي مرت بها تقنية النانو.



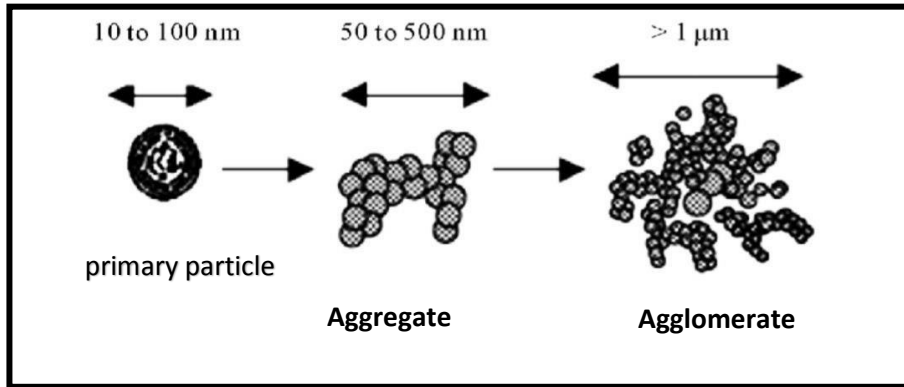
شكل (3) تطور التقنية النانوية عبر التاريخ (Horikoshi and Serpone, 2013)

### 3-2- الجسيمات النانوية Nanoparticles

الجسيمات النانوية مجموعة من الجزيئات او الذرات مرتبطة ببعضها البعض في حجم (قطر) في حدود 1-100 نانومتر في اتجاه واحد على الأقل بتعبير ادق يطلق على الجسيم المعدني metal particle الذي يبلغ قطره 2 نانومتر يسمى الكتلة النانوية nanocluster ويطلق مصطلح بلورة نانوية nanocrystal بالنسبة لقطر أكبر من 2 نانومتر، تتغير خصائص الجسيمات النانوية Nanoparticles البصرية والكهربائية والالكترونية كلما كان الحجم أصغر (Ganguly *et al.*, 2013)

واثبت Rao وآخرون ، (2002) الى احتواء سطح الجسيمات النانوية على الكترولونات محصورة ضمن مجال بسبب صغر حجمها مما يؤدي الى تغير في خصائصها الفيزيائية والكيميائية الشاملة. وأشار Kushwaha وآخرون، (2015) ان الجسيمات النانوية هي اللبنة الأساسية لتقنية النانو وعرفها على انها جسيمات لها ابعاد بقياس 100 نانومتر او اقل ولها خصائص تختلف عن المادة ذات الحجم الكبير على نطاق واسع. وذكر Qu وآخرون، (2018)، ان الجسيمات النانوية تسلك سلوك مختلفا تماما عن المواد الحرة bulk materials بسبب كبر مساحتها السطحية نسبة الى الحجم مما يضعف ترابطها ويزيد فعاليتها.

هناك عاملان لهما تأثير على الخواص المختلفة للجسيمات النانوية وهما عاملا التكتلات aggregates وعامل التجمعات agglomerates إذ يؤثر كلا العاملين على المقاومة الميكانيكية والكثافة والخواص الكهربائية والحرارية والفعالية الكيميائية ( Al-Gebory and Menq, 2018) شكل (4).



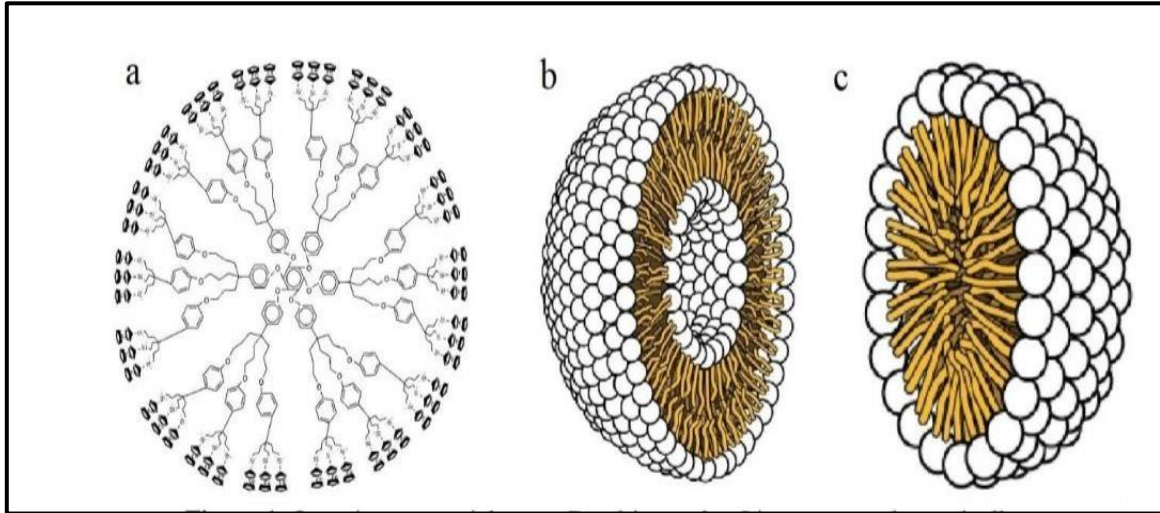
شكل (4) الدقائق الرئيسية والتجمعات والتكتلات (الساعدي، 2021)

### 2-3-1- تصنيف الجسيمات النانوية

تصنف الجسيمات النانوية التي يتم تصنيعها بطرق مختلفة الفيزيائية والكيميائية والحيوية والمستخدمه في المجالات البحثية والتجارية بصورة عامة الى عضوية وغير العضوية والكاربون (Ealia and Saravanakumar, 2017) على النحو الاتي:

#### 1- الجسيمات النانوية العضوية Organic nanoparticles

يعتبر هذا النوع من أكثر أنواع الجسيمات النانوية شيوعا وتشمل الشجيرات dendrimers والمذيلات micelles والجسيمات الشحمية شكل (4) وتتميز بقابليتها على التحلل وعدم سميتها وحساسيتها للضوء والحرارة ونتيجة لهذه الخصائص الفريدة اصبحت ذات استعمال واسع في المجال الطبي الحيوي إذ استعملت كعامل توصيل للأدوية كما يمكن حقنها في أي جزء من الجسم كعامل استهداف (Abdellatif *et al.*, 2021).



شكل (5) أنواع الجسيمات العضوية حيث a الشجيرات و b المذيلات و c الجسيمات الشحمية (Ealia and Saravanakumar, 2017).

#### 2- الجسيمات النانوية غير العضوية Inorganic nanoparticles

هي الجسيمات النانوية التي لا تحتوي على الكربون وتشمل المعادن واكاسيد المعادن، فالمعادن المستخدمة بشكل شائع لتخليق الجسيمات النانوية هي الالمنيوم (Al) والكادميوم (Cd) والذهب (Au) والفضة (Ag) والنحاس (Cu) والكوبلت (Co) والحديد (Fe) والرصاص (Pb)، تتميز الجسيمات النانوية الغير عضوية بخصائص مميزة أهمها

مساحة السطح العالية نسبة الى الحجم وشحنة السطح والهياكل البلورية والاشكال المختلفة مثل الكروية والاسطوانية (Peller *et al.*, 2018). تفضل الجسيمات النانوية الغير عضوية على الجسيمات النانوية العضوية كمنصة يمكن استعمالها في التصوير والعلاج كونها سهلة التعديل وقدرتها العالية في توصيل الادوية واستقرارها (Paul and Sharma, 2020). اما اكاسيد المعادن تشمل اكاسيد الفلز التي يتم تصنيعها لتعديل خصائص الجسيمات النانوية ذات الأساس المعدني مثل أكسيد الحديد ( $Fe_2O_3$ ) واكسيد الالمنيوم ( $Al_2O_3$ ) واكسيد الزنك (ZnO) (Mohammed and Wazir, 2022).

### 3- الكربون الأساس Carbon based

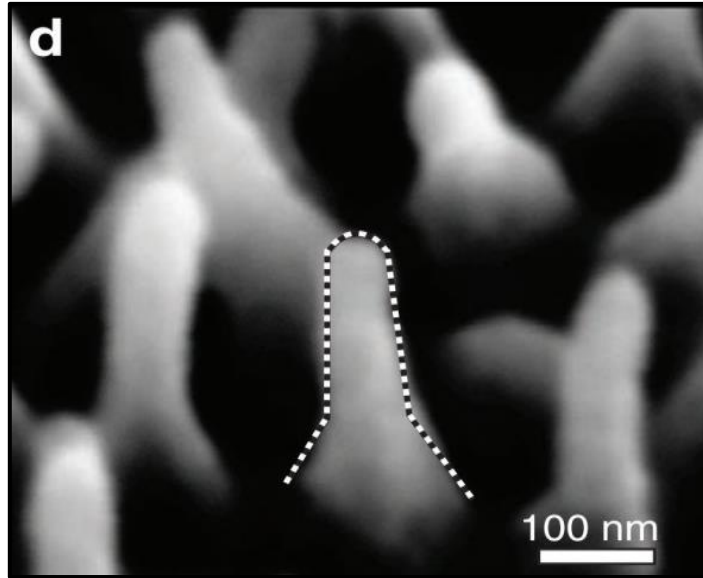
وتتضمن الجسيمات النانوية المصنوعة بالكامل من الكربون ويمكن تصنيفها الى الفوليرين Fullerene ( $C_{60}$ ) والجرافين وانايبب الكربون النانوية (CNT) واليايف الكربون النانوية واسود الكربون carbon black والكربون المنشط carbon activated (Ijaz *et al.*, 2020).

### 2-3-2- الجسيمات النانوية في النظام البيئي

توجد الجسيمات النانوية في جميع انحاء الغلاف الجوي فهي توجد في الهواء والمياه والتربة وفي تركيب اجسام الكائنات الحية على المستوى الجزيئي والكلي. تتشكل الجسيمات النانوية في الطبيعة بفعل تأثير العمليات الفيزيائية والكيميائية والحيوية التي تحدث بشكل طبيعي مثل التعرية والتجوية والثورات البركانية وحرارة الغابات التي تنتج كميات هائلة من الجسيمات النانوية في الغلاف الجوي وتحملها الى الاف الاميال وتعتبر من ملوثات الهواء، من هذه المواد الاكاسيد Oxides والهيدروكسيدات مثل هيدروكسيدات الحديد والالمنيوم والمعادن الطينية مثل سيلكات البوتاسيوم والمغنسيوم والسيليكا (Neyaz *et al.*, 2014; Bessa *et al.*, 2020).

ثبت ان الأنشطة الحيوية وباستعمال عمليات من اسفل الى اعلى تجمع مجموعة من ذرات الكربون لتكون مواد في النظم الحية ذات محتوى نانوي مثل جزيئات البناء ودقائق الهيومك Humic substances والانزيمات والتي تلعب دور مهم في العمليات الكيميائية الحيوية المختلفة كعمليات الشفاء واستقلاب النمو (Barry and growth metabolism) (Sadler, 2013; Xu *et al* 2021)، كذلك تعتبر مكونات الدم هي ضمن المقياس النانوي فالحديد والبروتينات مثل الهيموغلوبين الذي يحمل الاوكسجين عبر مجرى الدم يبلغ قطره تقريبا 5 نانومتر او خمسة أجزاء من البليون من المتر (Mulvihill *et al.*, 2020).

اما في عالم الحيوان تحتوي بعض أجزاء الحيوانات على بنية نانوية مثال على ذلك الاجنحة الشفافة لفراشة الجناح الزجاجي *Greta oto* حيث تمتلك هذا النوع من الفراشات جناح شفاف ذات سلوك مضاد للانعكاس بكل الاتجاهات مما يعطي تمويه بالشفافية وهو ناتج عن عوارض نانوية صغيرة تسمى بالحلمتات النانوية *nanopilli* تغطي هذه الحلمتات المناطق الشفافة من الاجنحة تم الكشف عنها بإستعمال المجهر الالكتروني النافذ (TEM) شكل (6) حيث تكون هذه الاعمدة مرتبة بشكل عشوائي مما يقلل الانعكاس حتى لزوايا الرؤية العالية تجعل من الصعب على الطيور المفترسة اقتناصها ( *Siddique et al., 2015*). مثال اخر هو الصدفة في الرخويات والذي يمثل مركب نانوي حيوي حيث تتكون الصدفة من تناوب صفائح معدنية من كاربونات الكالسيوم مفصولة بطبقات رقيقة من الجزيئات الحيوية فعلى الرغم من ان الصدفة تتكون من مواد ضعيفة الا ان هذا التصميم النانوي الفريد يعطيها قوة ومتانة ومقاومة للصدمات ( *Yadav et al., 2021*). وهناك امثلة أخرى كثيرة مثل شبكة العنكبوت والعتث هذه الأمثلة ليست فقط لفهم الخصائص المذهلة للنظم الحيوية تعطي الهاما للعلماء في التصميم والهندسة ومن مواد جديدة ذات خصائص متقدمة وأيضا في تصميم الات النانو الجزيئية ( *Krajina et al., 2018*).



شكل (6) التركيب النانوي المضاد للانعكاس لجناح الفراشة الزجاجي ( *Siddique et al., 2015*).

## 4-2- الذهب

الذهب عنصر كيميائي برموز Au وهو من العناصر الموجودة بصورة طبيعية رغم العدد الذري المرتفع له الذي يبلغ 79، ويعد فلز نبيل لا يتأثر بأغلب الأحماض ماعدا الماء الملكي والتي تبدي مقاومة عالية للأكسدة والتآكل حتى في درجات الحرارة العالية وهذه المميزات تجعله معدن ثمين ذو خصائص فيزيائية وكيميائية مميزة تختلف عن معظم المعادن الأخرى ( Louis and Pluchery, 2017; Aldrich *et al.*, 2015; Keefe ) (and Rome, 2007).

استخدم الذهب للأغراض العلاجية والجمالية في تشكيل المجوهرات منذ العصور القديمة لكونه غير متفاعل ولا يتحول في الغلاف الجوي ويحافظ على لونه الجذاب ( Yang *et al.*, 2015) حيث استخدم الرومان الذهب في العصور الوسطى وكان كأس *Lycurgus* مثال على ذلك حيث استخدم سبائك الذهب والفضة النانوية في طلي الزجاج مما يظهر لونا مختلفا عند سقوط الضوء عليه، لم يكن يعرف سبب هذا التأثير والاختلاف في الألوان الى ان اثبت مايكل فارادي ولأول مرة ان اللون كان بسبب حجم دقائق جزيئات الذهب والفضة (Mulvaney, 2015).

واستعمل الذهب الغروي *colloidal gold* من قبل الفنانين لعدة قرون بسبب الألوان النابضة بالحياة نتيجة لتفاعلها مع الضوء المرئي وتم البحث عن هذه الخصائص الفريدة واستخدامها في تطبيقات التكنولوجيا العالية مثل المجسات الحسية والخلايا الضوئية والعوامل العلاجية وفي الموصلات الالكترونية (Aldrich, 2015).

يوفر الذهب كمعدن حر فرص قليلة للانتفاع به في الابحاث بسبب خموله الكيميائي ونتيجة للنمو السريع لتقنية النانو في أواخر القرن العشرين أدى الى استخدام الذهب بالمقياس النانوي بسبب خصائصه الفيزيائية والكيميائية والبصرية المثيرة للاهتمام منها الاستقرار الكيميائي والسمية المنخفضة والبساطة في التخليق مما جعل جسيمات الذهب النانوية واحدة من أكثر المواضيع التي تم دراستها ودخولها في جميع التخصصات العلمية والتطبيقات الطبية والحيوية (Kurapov and Bakhtenko, 2018).

واثبت Azad وآخرون، (2020) ان جسيمات الذهب النانوية ساهمت في حل الكثير من المشاكل الأساسية وخاصة في مجال الطب والصيدلة حيث أصبحت منصة لتوصيل

الدواء الموجه وفي العلاج الإشعاعي المعزز بنانو الذهب وكذلك مضاد للفطريات والالتهابات والأكسدة ومضاد للسرطان.

## 5-2- التخليق الحيوي لجسيمات الذهب النانوية

اكتسب تصنيع الجسيمات النانوية اهتماما كبيرا بين الباحثين حيث تمكن العلماء من استخدامها في مختلف المجالات بسبب عدة عوامل بما في ذلك الشكل والحجم ورنين البلازمون السطحي (SPR) (Nagnare and Patil, 2020) و اشار Safaepour وآخرون ، (2009) الى استخدام الجسيمات النانوية في مجال علاج السرطان والعقاقير والاقمشة والكيمياء ومعالجة المياه والتحفيز الضوئي، ولأهمية واتساع تطبيقات الجسيمات النانوية المعدنية قد تصل المبيعات العالمية لهذه المواد الى 50 مليار دولار بحلول عام 2026 (Ovais *et al.*, 2018).

استخدمت الطرق الفيزيائية والكيميائية التقليدية في تصنيع الجسيمات النانوية وعلى الرغم من ان هذه الطرق تستغرق وقت قياسي علاوة على ذلك ان الجسيمات المصنعة بهذه الطرق تمتاز بنقاوتها وتكون موحدة بالشكل والحجم (Speed *et al.*, 2015) الا ان هذه الطرق تكون مكلفة وصعبة ومعقدة نوعا ما وتستخدم فيها حرارة وطاقة عالية إضافة الى استخدام كواشف وعوامل تثبيت ومواد كيميائية سامة كالأمينات الأروماتية Aromatic amines والثالويات thioles الملوثة للبيئة والمسرطنة مما يقيد استخدامها في التطبيقات الطبية والحيوية (Lee *et al.*, 2020; Okamoto *et al.*, 2019).

احتلت جسيمات الذهب النانوية أهمية كبيرة في مجال الطب والصيدلة واستعملت لأغراض التشخيص والعلاج لكن استخدام الطرق الكيميائية والفيزيائية التي تتضمن استخدام مواد كيميائية سامة والتي تلتصق بذرات الذهب كجزيئات تغليف تجعلها غير مرغوبة في مجال التطبيقات الصيدلانية مما دعا الى اكتشاف طرق جديدة موثوقة لتطبيقها في تلك المجالات المهمة (Castillo-Henriquez *et al.*, 2020; Singh *et al.*, 2018b). فكان التخليق الحيوي لجسيمات الذهب النانوية أهمية كبير وبديلا واعدا بأعتبره عملية خضراء وصديقة للبيئة وفعالة وقليلة التكلفة وينطوي على استخدام الجزيئات الحيوية كعوامل اختزال وتغليف التي تلعب دورا في خصائص جسيمات الذهب النانوية من حيث



الشكل والحجم وكونها مواد طبيعية غير سامة للخلايا البشرية يمكن استخدام جسيمات الذهب النانوية لأغراض الطبية والعلاجية ( Bahrulolum *et al.*, 2021; Hammami , 2021 (and Alabdallah , 2021).

تحولت عملية تصنيع الجسيمات النانوية من العمليات الفيزيائية والكيميائية الى العمليات الحيوية وذلك باستعمال المستخلصات النباتية والكائنات الحية الدقيقة microorganism كالبكتريا والبكتريا الخيطية كما في جدول (2-1) والخمائر والفطريات كما في جدول (2-2) والطحالب كما في جدول (2-3) حيث تقوم هذه الكائنات الدقيقة في معالجة المواد السامة مثل النترات والكلوريدات من خلال اختزالها تحت ظروف الاجهاد stress condition وذلك من خلال افرازها مركبات حيوية تقوم بعملية الاختزال والتي تشكل أساس التخليق الحيوي للجسيمات النانوية (Moraga *et al.*, 2017). في هذه العملية يتم استخدام المستخلص الخلوي للكائنات الحية مثل البكتريا والطحالب والفطريات والفطريات الشعاعية كوسط للتفاعل إضافة على احتواءه على عوامل التغليف وبذلك أصبحت المستخلصات المائية مناسبة لتخليق الجسيمات النانوية بسبب طبيعتها الغير السامة وغير المتطايرة فالمستخلص الحيوي هو عبارة عن خليط من أنواع مختلفة من الجزيئات الحيوية مثل البروتينات والكاربوهيدرات والفيتامينات والبوليمرات والمواد الخافضة للتوتر السطحي التي توفر للجسيمات النانوية المصنعة استقرارا عاليا وتشتيتا موحد ( Qureshi *et al.*, 2021;Srinath *et al.*, 2018).

جدول (1-2) بعض أنواع البكتريا المنتجة للجسيمات النانوية

البكتريا المستخدمة	النوع	شكل الجسيمات	حجم الجسيمات (nm)	المصدر
<i>Escherichia coli</i>	CdT e	Round	3-2	Bao <i>et al.</i> , 2010
<i>Rhodopseudomonas sps</i>	Ag	Spherical	10-6	Manisha <i>et al.</i> , 2014
<i>Deinococcus radiodurans</i>	Au	Spherical,irre gular,triangul ar	43.75	Li <i>et al.</i> , 2016
<i>Pseudomonas putida</i>	Au	Spherical	50-10	Hosseini <i>et al.</i> , 2016
<i>Actinobacter</i>	Au	Spherical	13.2	Golinska <i>et al.</i> , 2016
<i>Klebsiella pneumonia</i>	Au	Spherical	15-10	Prema <i>et al.</i> , 2016
<i>Bacillus cereus</i>	Au	Hexagonal, spherical	50-40	Pourali <i>et al.</i> , 2017
<i>Rhodobacter sphaeoides</i>	Au	Spherical	10-3	Italiano <i>et al.</i> , 2018
<i>Bacillus endophyticus</i>	Ag	Spherical	5.1	Gan <i>et al.</i> , 2018
<i>Shewanella loihica</i>	Cu	Spherical	16-10	Lv <i>et al.</i> , 2018
<i>Streptomyces spp</i>	Ag	Spherical	50-20	AL Dhabi <i>et al.</i> , 2018
<i>Bacillus brevis</i>	Ag	Spherical	68-41	Saravanan <i>et al.</i> , 2018
<i>Streptomyces spp</i>	CuO	Spherical	80-78	Hassan <i>et al.</i> , 2019
<i>Bacillus marisflav</i>	Au	Different	30-12	Nadaf and Kanase, 2019
<i>Bacillus siamensis</i>	Ag	Spherical	50-25	Ibrahim <i>et al.</i> , 2019
<i>Enterococcus faecalis</i>	Zno	Spherical	96-16	Kelmani, 2020
<i>Escherichia coli</i>	Ag	Spherical	19-14	Hashim, 2020
<i>Staphylococcus lentus</i>	Ag	Spherical	93-20	Hateet and Ibrahim,

				2021
<i>Lactobacillus gasseri</i>	Ag	Spherical	58.5	Jabbar, Hussein, 2021
<i>Rothia endophytica</i>	Ag	spherical	50-20	Elbahnasawy <i>et al.</i> , 2021
<i>Microbacterium spp</i>	Ag	spherical	44-41	Dewan and Hateet, 2022

جدول (2-2) بعض أنواع الفطريات المنتجة للجسيمات النانوية

المصدر الفطر المستخدم	النوع	شكل الجسيمات	حجم الجسيمات (nm)	
<i>Pencillium verrucosum</i>	Ag	Spherical	24-3	kamalakannan <i>et al.</i> , 2014
<i>Pencillium notatum</i>	Ag	Spherical	40-30	Desai &Datta, 2015
<i>Magnusiomyces ingens</i>	Au	Spherical,triangular and hexagonal	80-10	Zhang <i>et al.</i> , 2016
<i>Aspergillus spp</i>	Au	Spherical	29-4	Shen <i>et al.</i> , 2017
<i>Pleurotus ostreatus</i>	Au	Spherical	30-10	El Domany <i>et al.</i> , 2018
<i>Chaetomium globosum</i>	Au, Ag	Spherical	40-6	Singh <i>et al.</i> , 2018a
<i>Trichoderma harzianum</i>	Au	Sperical	44-32	Tripathi <i>et al.</i> , 2018
<i>Thermoascus thermophilus</i>	Au	Different	10	Molnar <i>et al.</i> , 2018
<i>Fusarium oxysporum</i>	Au	Spherical	25-10	Pourali <i>et al.</i> , 2018
<i>Trichoderma hamatum</i>	Au	Spherical,pentagona l and hexagonal	30-5	Abdel-kareem and Zohri,2018
<i>Fusarium oxysporum</i>	Ag	Oval,spherical	37-21	Ahmed <i>et al.</i> , 2018
<i>Aspergillus niger</i>	Zno	Spherical	69-53	Kalpana <i>et al.</i> , 2018

<i>Trametes trogii</i>	Ag	Ellipsoida	65-5	Kobashigawa <i>et al.</i> , 2019
<i>Pencillium italicum</i>	Ag	Cubic	100-32	Taha <i>et al.</i> , 2019
<i>Fusarium solani</i>	Au	Needle,flower like	45-40	Clarance <i>et al.</i> , 2020
<i>Aspergillus flavus</i>	Au	Triangular,polygona 1	30	Iranmanesh <i>et al.</i> , 2020
<i>Penicillium chrysogenum</i>	Ag	Spherical	48.2	Barabadi <i>et al.</i> , 2022

جدول (3-2) بعض أنواع الطحالب المنتجة للجسيمات النانوية

مصدر الجسيمات	نوع الجسيمات	شكل الجسيمات	حجم الجسيمات (nm)	المصادر
<i>Stoechospermum marginatum</i>	Au	Spherical,hexagonal and triangle	93-18	Rajathi <i>et al.</i> , 2012
<i>Chiorococcum humicola</i>	Ag	Spherical	16	Jena <i>et al.</i> , 2013
<i>Prasiola crispa</i>	Au	Spherical	25-5	Sharma <i>et al.</i> , 2014
<i>Ulva fasciata</i>	Au	Spherical	10	Kumara <i>et al.</i> , 2014
<i>Galaxaura elonata</i>	Au	Triangles,hexagons,rod	77-4	Abdel-Raouf <i>et al.</i> , 2017
<i>Egregia spp</i>	Au	Spherical	5	Colin <i>et al.</i> , 2018

<i>Halymenia dilatata</i>	Au	Triangular,spherical	16	Vinosha <i>et al.</i> , 2019
<i>Dictyosphaerium spp</i>	Au	Spherical	7.9-2.4	Amina <i>et al.</i> , 2021
<i>Nanofrustulum shiloi</i>	Au	Spherical,triangular	55-5	Roychoudhury <i>et al.</i> , 2021
<i>Caulerpa setularioides</i>	Ag	Spherical	48-4	Anjali <i>et al.</i> , 2022
<i>Sargassum horneri</i>	Au	Spherical	21-2.74	Song <i>et al.</i> , 2022

## 2-6- الية التخليق الحيوي لجسيمات الذهب النانوية

هناك الكثير من الدراسات التي تناولت الية التخليق الحيوي لجسيمات الذهب النانوية بإستعمال المستخلصات المائية الحيوية للكائنات الحية المختلفة كالمحالب والبكتريا والنباتات والفطريات لكن الية عملية التخليق الحيوي ليست مفهومة بشكل كامل ( Sunderam *et al.*, 2019). بصورة عامة يتم تخليق جسيمات الذهب النانوية أولا بأختزال ايونات الذهب  $Au^{+3}$  الى ذرات الذهب ( $Au^0$ ) والذي يرتفع تركيزها بسرعة الى مستوى التشبع مما يؤدي الى تصادمها وهي بداية خطوة التنوي nucleation أي تكوين النوى nuclei بعد ذلك تندمج وترتبط تلك النوى nuclei مما يؤدي الى تكوين الجسيمات النانوية شكل (6). (Sunderam *et al.*, 2019; Nur, 2013).

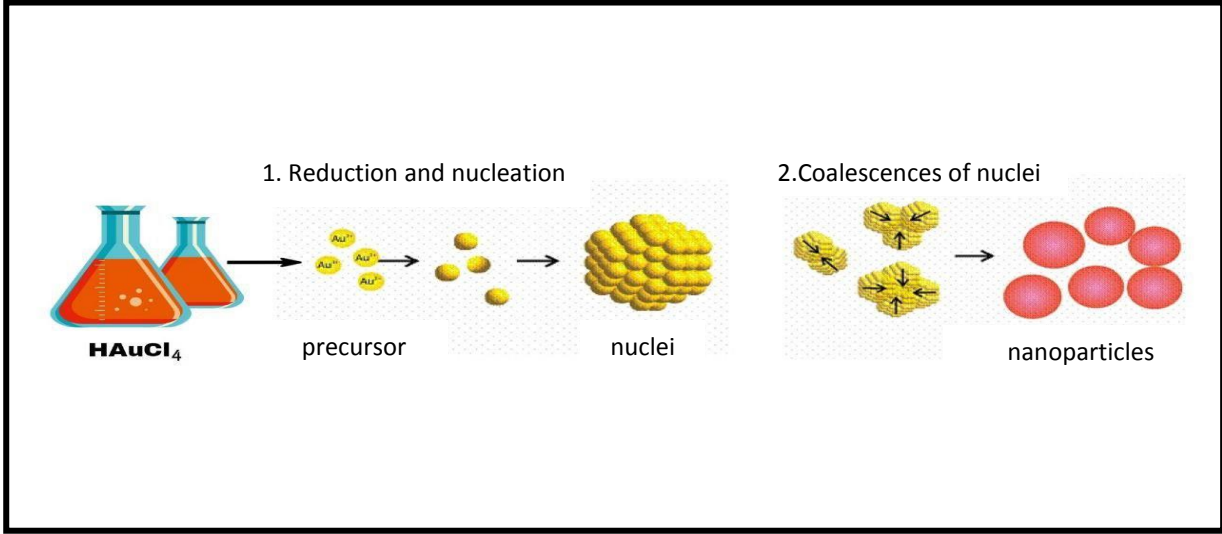
تفضل الفطريات اكثر من غيرها من الاحياء المجهرية في تخليق الجسيمات النانوية الذهبية لأنها تتحمل تراكيز معدنية عالية وقدرتها على ربط المعادن وامتصاصها وسهولة زراعتها ونموها السريع وكذلك افراز كميات كبيرة من الانزيمات خارج الخلية ( Mughal *et al.*, 2021). يتم تخليق الجسيمات النانوية بطريقتين اما داخل الخلايا intracellular او خارج الخلايا extracellular وتعد الطريقة خارج الخلايا اكثر استعمالا في الدراسات والبحوث لان الفطريات تفرز بروتينات الاكسدة والاختزال redox بوفرة خارج الخلايا التي تكون هي المسؤولة عن تحويل ايونات الذهب الذائبة الى الشكل النانوي البلوري غير الذائب

كون هذه الايونات تعتبر سامة للكائنات المجهرية فتعالجها الى مادة اقل سمية وهي الشكل غير الذائب البلوري النانوي (Qin *et al.*, 2020; Castro *et al.*, 2014).

كما اشار Molnar وآخرون (2018) بأن تخليق الجسيمات النانوية خارج الخلايا بواسطة الفطريات هو أكثر تفضيلاً لأنها تتطلب طرق معالجة بسيطة downstream على العكس من التخليق داخل الخلايا التي تتطلب خطوات إضافية لفصل والحصول على الجسيمات النانوية المصنعة داخل الخلايا منها معالجة بالموجات فوق الصوتية أو استعمال المنظفات detergent لتفكيك بروتينات الغشاء الخلوي والكاربوهيدرات السطحية في المحلول المائي بينما في التخليق خارج الخلايا يتم فصل الإفرازات الفطرية ومن ثم استخدامها.

تتكون جزيئات الذهب النانوية خارج الخلايا بتفاعل الكترولستاتيكي بين الإنزيمات الموجودة في جدران الخلايا والأيونات الموجبة لمحلول ملح الذهب  $\text{HAuCl}_4 \cdot 3\text{H}_2\text{O}$  (Vaseghi *et al.*, 2018; Castro *et al.*, 2014)، على سبيل المثال أوضح Niranjana وآخرون، (2015) ان الية تخليق جسيمات الذهب النانوية بواسطة الفطر *Aspergillus alternaria* هي ان انزيم الكلوتاثيون Glutathion reductase المسؤول عن عملية الاختزال بوجود NADPH كعامل مساعد للانزيم ففي وجود الكلوتاثيون تبدأ ايونات الذهب بتكوين الفايثوكيلانين Phytochelatin ثم يختزل ايونات الذهب  $\text{Au}^{+3}$  الى AuNPs.

وأشارت دراسات أخرى منها Ovais وآخرون، (2018) و Javed وآخرون (2020)، على قدرة الخلايا الفطرية على إنتاج مجموعة من البروتينات الحاوية على التربتوفان Tryptophan والتايروسين Tyrosin لها القدرة في تثبيت جسيمات الذهب النانوية حيث يمكن لـ AuNPs ان تتفاعل مع البروتينات عبر مجموعة الأمين الحرة ( $\text{NH}_3$ ) او مجموعة الكاربوكسيل ( $\text{COO}^-$ ) السالبة وتشكل غلاف على الجسيمات النانوية لمنعها من التكتل وتساهم في استقرارها شكل (7).



شكل (7) الية التصنيع الحيوي لجسيمات الذهب النانوية، (Sunderam *et al.*, 2019; Nur, 2013)

## 7-2- تطبيقات جسيمات الذهب النانوية

تتميز جسيمات الذهب النانوية بخصائص بصرية وكهربائية مميزة والقدرة على تكوين معقدات قوية مع الجزيئات الحيوية وهذا ما ساعد في سرعة نمو تطبيقاتها وفي مجالات كثيرة مهمة (Combes, 2021) منها:

### 1- الالكترونيات Electronics

استخدمت جسيمات الذهب النانوية لتصنيع المكونات الالكترونية في تقنيات الطباعة ثلاثية الابعاد باعتبارها طرق صديقة للبيئة وخالية من الملوثات حيث تعطي جسيمات الذهب النانوية تحسينات في كفاءة الأجهزة الالكترونية عند دمجها مع الانابيب الكربونية او البلاستيكية ينتج عنها مقاومة منخفضة وتوصيلية عالية للترانزستورات ذات الاغشية الرقيقة (Cummins *et al.*, 2020) (TFTs) Thin-Film transistors.

## 2- العلاج الضوئي Photodynamic therapy

تم اثبات فعالية جسيمات الذهب النانوية في قتل الخلايا السرطانية بطريقة تحويل الضوء الممتص الى حرارة وهذه الخاصية تفيد في تطوير علاج السرطان غير الجراحي من دون التسبب في أي ضرر للخلايا السليمة (Kalashgrani and Javanmardi, 2022). يتم القضاء على الخلايا السرطانية من خلال تسليط الأشعة تحت الحمراء بطول موجي من 700 الى 800 نانومتر على الخلايا السرطانية المملوءة بجسيمات الذهب النانوية مما يؤدي الى امتصاصها وتحويلها الى حرارة تؤدي الى رفع درجة حرارة الخلايا السرطانية وبالتالي موتها (Gerosa *et al.*, 2020). ان الأشعة تحت الحمراء لها القابلية على اختراق الانسجة الحيوية مما يمكنها ان تصل الى الجسيمات الذهبية وتحويلها الى عوامل تسخين خلية بحجم النانو (Zhang *et al.*, 2017).

## 3- توصيل العامل العلاجي Therapeutic agent delivery

تسمح نسبة المساحة السطحية الكبيرة الى الحجم لجسيمات الذهب النانوية بتغطية سطحها بمئات الجزيئات بما في ذلك عوامل الاستهداف العلاجية، العلاجات والبوليمرات المضادة للتلوث anti-fouling polymers (Du *et al.*, 2018). و تمكن الخصائص الكيميائية السطحية لجسيمات الذهب النانوية من الاقتران بعوامل الاستهداف الجزيئي مثل الاجسام المضادة مما يسمح لهم باستهداف انسجة الورم وتسبب موتها المبرمج بعد ارتباطها بالخلايا السرطانية عبر التعرف على مستضدات الخلايا السرطانية (Subhan *et al.*, 2020; Maghsoudnia *et al.*, 2021).

## 4- المستشعرات Sensors

بسبب الخصائص الفيزيائية المميزة لجسيمات الذهب النانوية دخلت كمكون في أجهزة الاستشعار المتنوعة على سبيل المثال يمكن لجهاز الاستشعار اللوني المعتمد على AuNPs تحديد مدى صلاحية الأطعمة للاستهلاك البشري، واستخدمت أيضا جسيمات الذهب النانوية في أجهزة التحليل الطيفي كركائز في قياس الطاقات الاهتزازية للروابط الكيميائية وتستغل هذه الخاصية أيضا في الكشف عن البروتينات والملوثات والجزيئات الأخرى الغير معروفة وغير مثبتة بملصق molecule label free (Rastogi *et al.*, 2021).



### 5- التصوير والتشخيص Imaging and Diagnosis

استغلت خاصية تشتيت الضوء التي تمتلكها جسيمات الذهب النانوية التي تحولت الى مجموعة من الألوان في تطبيقات التصوير الحيوي إذ تساعد كثافة جسيمات الذهب النانوية وتناثر الألوان المثيرة تحت المجهر المظلم في استخدامها كمجسات للمجهر الإلكتروني النافذ (Turasan *et al.*, 2019) واستخدمت AuNPs في تشخيص امراض القلب والسرطان والعوامل المعدية من خلال الكشف عن المؤشرات الحيوية وفي القياسات المناعية حيث تم تفعيل جسيمات الذهب النانوية بالأجسام المضادة لهرمونات الحمل المميزة anti b-HCG للكشف عن هرمونات b-HCG وهي هرمونات الحمل المميزة ( Pandey and Dahiya, 2016).

### 6- المحفزات Catalyses

تستعمل جزيئات الذهب النانوية كمحفزات لتسريع بعض التفاعلات الكيميائية المهمة مثل تفاعلات الاكسدة الانتقائية او تساهم في التقليل من التفاعل ( Amina and Guo, 2020).

### 2-8- الفطريات النباتية الداخلية Endophytic fungi

هي احياء مجهرية قادرة على العيش في انسجة النباتات المضيضة من دون ان تسبب أي اعراض مرضية (Lata *et al.*, 2018) والفطريات الداخلية تستعمر (تستوطن) في الانسجة الداخلية للنباتات المضيضة تحت طبقة البشرة من غير ان تظهر تأثيرات سلبية عليها (Terna *et al.*, 2022; Ali *et al.*, 2018)، يوجد تنوع هائل للفطريات الداخلية في المجتمعات النباتية إذ يمكنها ان تنمو في الأوراق والسيقان دون ان تسبب امراض ( Hateet, 2020)، وأوضح Chander (2017) ان الغالبية العظمى من الأنواع النباتية ان لم يكن جميعها في النظم البيئية الطبيعية تأوي فطريات نباتية داخلية وانه تم العثور عليها في كل أنواع النباتات التي تم اختبارها وقيمت اعدادها الى اكثر من مليون فطر داخلي نباتي في الطبيعة ، ويعتقد ان اكثر من 105 مليون من الفطريات الداخلية تعيش في 270000 نوع

من النباتات الوعائية لكن عدد الأنواع الموصوفة هو فقط في حدود 70000-100000 نوع

تمكنت الفطريات الداخلية من تأسيس علاقة تكافلية مع النباتات المضيضة حيث يحصل الفطر على العناصر الغذائية والحماية من النبات المضيف بالمقابل يفرز الفطر نواتج ابيضية تتلائم مع المضيف النباتي وتساعدهما على تحمل ظروف الاجهاد الاحيائية وللأحيائية في النظم البيئية (Baron and Rigobelo, 2022). على سبيل المثال الفطر الداخلي *Curvularia protubetata* الذي يعيش داخل انسجة نبات *Lanuginosum* وهو نبات ارضي يعيش في المناطق الاستوائية الحارة فعند معيشة الفطر والنبات بشكل مستقل فلا يمكنهم تحمل درجات حرارة اعلى من 40 م° الا ان المعيشة التكافلية للفطر والنبات تمكنهم من تحمل حرارة تصل الى 65 م° (Dastogeer et al., 2020). ومثال اخر الفطر الداخلي *Fusarium culmarum* الذي يستوطن جميع انسجة نبات *Lymus mollis* عند ارتفاع مستوى الملوحة في موطنهم الأصلي فأن كلا الفطر والنبات يتحملون مستوى ملوحة البحر التي قد تصل الى 300-500 ملي مولاري من كلوريد الصوديوم اما عند نموها بشكل مستقل وغير تكافلي فأن النبات لا ينمو في الملوحة كما ان الفطر يتأخر في نموه (Das and Varma, 2009).

اهتم الكثير من العلماء بدراسة الفطريات الداخلية للنبات كمصدر للأبيض الثانوية إذ تعتبر هذه الأيوض مركبات جديدة ذات نشاط حيوي مهم بعد ان تم اكتشاف مركب Paclitaxel من الفطر الداخلي *Taxomyces andreanae* (Aly et al., 2010) ، حيث تم اكتشاف مركبات ذات نشاط مضاد للبكتيريا ومبيدة للحشرات ومضادة للسرطان ومركبات مشابهة للانسولين (Slama et al., 2021; Hateet, 2017) كما أشار Adeleke and Babalola (2021) ان الفطريات الداخلية تنتج مركبات تعزز حيوية النبات من تحمل الاجهاد وزيادة الكتلة الحية (زيادة النمو) وتقليل استهلاك المياه وذلك بإفراز مواد تساعد في كفاءة امتصاص العناصر الغذائية من قبل النبات إضافة الى افراز مواد هرمونية كالجبرلين والاكسينات Gibberelline, Auxins اللذان يعززان نمو الجذر واستطالة الساق. كما بين الباحثين Fadiji and Babalola (2020) ،

إن الفطريات الداخلية تحمي العديد من النباتات المضيضة لها من مسببات الامراض الفطرية والبكتيرية والفايروسية في ضوء انتاجها للأبيض الثانوية مثل الفيولولات التي تحفز

المقاومة الجهازية systemic resistance او في ضوء عدم قدرة المسببات المرضية من التنافس مع الفطريات الداخلية بالمسافة والمورد، إذ تعمل فطريات النباتات الداخلية على تحفيز نمو النبات المضيف عبر اليات مختلفة مثل تثبيت النتروجين وإذابة المعادن وإنتاج الهرمونات النباتية (Van et al., 2014) كما ان لها القدرة على التطعيم الطبيعي أي تعمل كمنشط مناعي (HarDOim et al., 2015).

وتشير الدراسات التي أجريت على الاحياء المجهرية الداخلية على مدار السنوات الماضية ان الفطريات الداخلية تعيش في بيئة فريدة مختلفة وقد يؤثر التنوع الكبير للفطريات الداخلية على البيئة وعلى توزيع النباتات وعلى وظائف الأعضاء والكيمياء الحيوية للنبات المضيف وعلى الرغم من 100 عام من الأبحاث التي انتجت الاف المقالات والبحوث الا ان أهمية هذه الفطريات ودراستها تتميز بالضعف والقلة تاريخيا (Sharma et al., 2021).

## 2-8-1- الفطريات النباتية الداخلية مصدر للجسيمات النانوية

للفطريات النباتية الداخلية القدرة على انتاج كميات كبيرة من الانزيمات والبروتينات التي توفر حماية للنبات المضيف من ظروف الاجهاد ومن العوامل الممرضة وتمنع من النفاذ السريع لموارد النبات إضافة لمعيشة الفطريات النباتية الداخلية في بيئة خاصة هذه الخصائص تجعلها مناسبة لانتاج الجسيمات النانوية (Purohit et al., 2019). على الرغم من وجود العديد من الدراسات حول الفطريات النباتية الداخلية الا ان هناك مصادر قليلة نسبيا حول تخليق الجسيمات النانوية الذهبية بإستعمال الفطريات الداخلية (Uzma et al., 2018; Misra et al., 2021).

تم تخليق جسيمات الفضة النانوية بإستعمال الفطر *Trichoderma atroviride* المعزول من النسيج الداخلي لنبات *Chiliadenus montanus* وتم اختبار قابلية هذه الجسيمات النانوية ضد مختلف البكتريا السالبة والموجبة لصبغة جرام وكذلك الفطريات المسببة لبعض الامراض للانسان (Abdel-Azeem et al., 2020)، كما أجريت دراسة أخرى من قبل إبراهيم ، (2021) تضمنت تخليق جسيمات الفضة النانوية من الفطريات *Aspergillus terreus* و *A.tubingensis* و *Cladosporium uredicola* المعزولة من أوراق نبات الدفلة، الريحان والسدر بالترتيب وقد ثبت فعالية جسيمات الفضة النانوية التي تم

تخليقها من راسح هذه الفطريات على بعض أنواع البكتريا المرضية التي تم عزلها من المصابين بالحروق والتهاب المجاري البولية .

وفي دراسة قام بها Soltani وآخرون (2022) أظهرت فعالية جسيمات الذهب النانوية المضادة للفطر *Rhizoctonia solani* المسببة لتصلب الانسجة selectia لنبات الأرز حيث تم استخدام الفطر *Phoma spp* كفطر داخلي معزول من الانسجة الوعائية لاشجار الخوخ *Prunus persica* في تخليق جسيمات الذهب النانوية خارج الخلية.

## 9-2- السرطان The cancer

السرطان هو انقسام غير مسيطر عليه لبعض الخلايا مما يسمح لها بالنمو أكثر من الخلايا الأخرى وتكوين كتلة غير طبيعية في انسجة الجسم المتزنة ( Abbas and Rehman, 2018). ان مصطلح سرطان شائع للخلايا التي تنمو وتنتشر الى أجزاء أخرى من الجسم (Peart, 2017).

على الرغم من ان أحد الأسباب الرئيسية لحدوث السرطان هي طفرات تحدث للحامض النووي مع ذلك هناك عاملان رئيسان مسببان للسرطان أحدهما هو العامل الوراثي والصفات المنقولة وراثيا وتقدر نسبته من 5-10 % والعامل الاخر هو ناجم عن أسباب بيئية نتيجة التعرض الى مواد مسرطنة او مزيج من العاملين وتقدر نسبته 90-95% ( Wu et al., 2017; Rao et al., 2018).

## 9-2-1- سرطان الثدي The breast cancer

سرطان الثدي هو المرض الغير متجانس الذي يتصف بالتمايز غير الطبيعي لخلايا النسيج الظهارية للثدي المكونة للورم الخبيث التي تحمل انحرافات تؤدي الى عدم التنظيم لمئات او الاف من الجينات (Testa et al., 2020; Rostamizadeh et al., 2013). يعرف سرطان الثدي على انه سرطان انسجة الثدي ،ويقصد به السرطان الموجود في الثدي أو الذي ينتشر فقط الى الغدد الليمفاوية الابطية (Tufail et al., 2022)، يتطور سرطان الثدي عادة في القنوات و يتطور في الفصصيات او أماكن أخرى شكل (8) (Feng et al., 2018). وهو المرض الأكثر شيوعا ويصيب كلا الجنسين والسبب الثاني للوفاة المرتبطة بالسرطان بين النساء في جميع انحاء العالم (Waks and Winer, 2019)، ان

السبب الرئيسي للوفاة من سرطان الثدي هو الانتشار Metastasis وهو هجرة الخلايا السرطانية الى أماكن بعيدة من الجسم (Riggio *et al.*, 2021).

يتصف سرطان الثدي بميزات نسيجية وجزئية وهي تفعيل Activation مستقبل عامل نمو البشرة Human Epidermal growth factor Receptor (HER2) الذي يشفر بواسطة الجين ERBB2 وتنشيط مستقبلات هرمون الاستروجين والبروجسترون وطفرات في جين BRCA وعلى هذا الأساس يصنف سرطان الثدي على أساس الخصائص الجزيئية والنسيجية أي وفقا لوجود مستقبلات هرمون الاستروجين والبروجسترون وعوامل نمو البشرة HER2 الى خمسة أنواع فرعية من الأورام التي تشمل مستقبلات الهرمونية الإيجابية لسرطان الثدي وهي مستقبلات الاستروجين (ER) Endrogen receptor ومستقبلات البروجسترون (PR) Progesteron receptor والقسم الثاني الأورام التي لاتعبر عن مستقبلات الاستروجين والبروجسترون وعامل نمو البشرة ER,PR,HER2 تسمى الثلاثية السالبة لسرطان الثدي (Dai *et al.*, 2016).

## 2-9-2- علاج سرطان الثدي Treatment of breast cancer

عرف سرطان الثدي منذ العصور القديمة حيث قدمت الحضارات السابقة والتي تعود في الفترة حوالي 3500 قبل الميلاد اوصافا لسرطان الثدي واستخدموا علاجات متعددة كالأفيون ومختلف الزيوت النباتية لغرض العلاج او التخفيف من اعراض المرض وتوالت المحاولات في إيجاد حلول لهذا المرض الى ان تطور علاج سرطان الثدي وذلك بإستعمال الجراحة في القرن الثامن عشر لاستئصال الورم الخبيث (Lukong, 2017). استمر العلماء والباحثين خلال السنين الخمسون الماضية في التقصي عن طرق وعلاجات فعالة ساهمت في إطالة عمر المريض لكن دون علاج شافي تماما خصوصا في حالة انتشار الورم الى أجزاء أخرى كالدماغ والكبد والعظام (Chen *et al.*, 2017) من العلاجات الشائعة المستخدمة هي:

- 1- **العلاج الجراحي:** يفضل استخدام خيار استئصال الورم في حالة المرضى الذين يعانون من سرطان الثدي الاولي أي المشخص في وقت مبكر (Xie *et al.*, 2017) لكن يمكن للورم من العودة مرة أخرى بعد سنوات نتيجة لبقاء خلية او عدة خلايا سرطانية تسبب عودة الورم من جديد، كما ان استئصال الورم يعتبر كمسكن لبعض الاعراض ولا يفضل في حالة الورم المنتشر الى أجزاء أخرى من الجسم (Dare *et al.*, 2015).

2- **العلاج الإشعاعي:** يستخدم العلاج الإشعاعي أيضا في حالة سرطان الثدي الغير منتشر حيث يتسبب الإشعاع في موت الخلايا السرطانية المكونة للورم نتيجة تلف المادة الوراثية للخلايا (Baskar *et al.*, 2012). كذلك يستخدم الإشعاع لعلاج سرطان الثدي المنتشر الى أماكن أخرى في الجسم مثل العظام والدماغ والأنسجة الرخوة إذ يساعد الإشعاع على التخفيف من أعراض سرطان الثدي المنتشر، ويعطى الإشعاع على شكل جرعة مختلفة الشدة وحسب حالة المريض من حيث شدة وموقع انتشار المرض وعمر المريض والعمر المتوقع لبقائه على قيد الحياة فعلى سبيل المثال وحسب تجارب أجريت على مجموعة من المرضى تكون جرعة واحدة مكونة من 80Gy تكون كافية في حالة انتشار الورم لهؤلاء المرضى في العظم (Chow *et al.*, 2014).

على الرغم من ان الإشعاع يعمل على تقليل حجم الورم وبالتالي عدم الضغط على التراكيب المحيطة به الا ان من سلبياته انه لا يميز بين الخلية السرطانية والخلايا السليمة فهو يقتل كلا النوعين كما انه يتسبب ببعض الآثار الجانبية المؤقتة او الدائمة مثل تهيج وتحسس الجلد في المنطقة المعرضة للإشعاع، صعوبة في البلع والتنفس وتساقط الشعر ( So *et al.*, 2021).

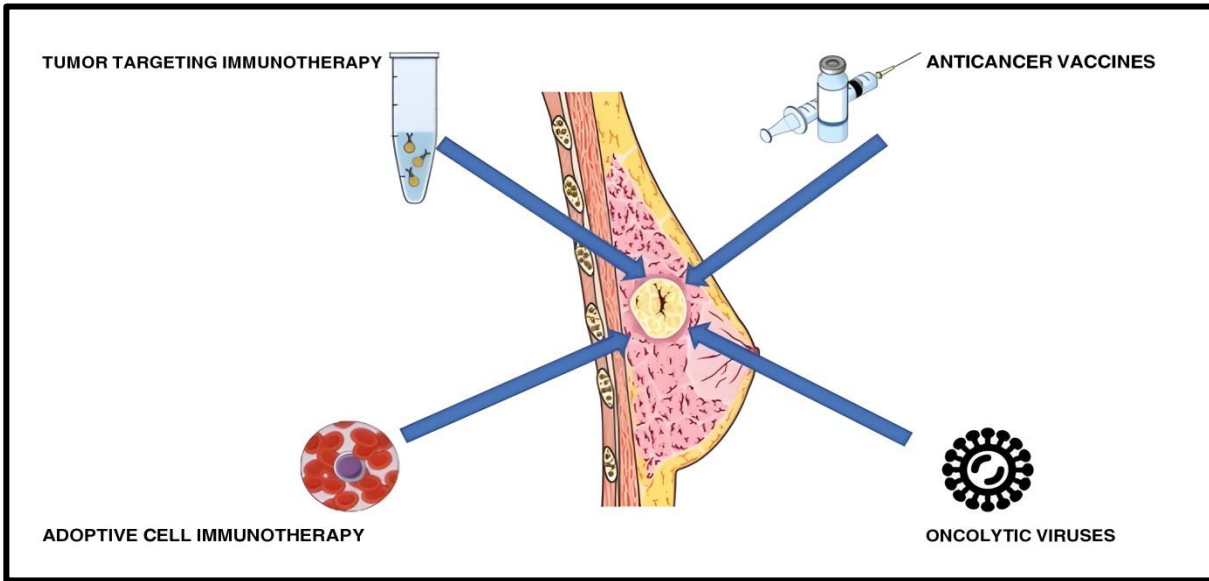
3- **العلاجات الجهازية:** يستخدم هذا النوع من العلاج في حالة سرطان الثدي الاولي أي الغير منتشر الى أجزاء أخرى من الجسم وبدرجة اقل في حالة سرطان الثدي المنتشر وهذا العلاج يستهدف الغدد الصماء أي يعتبر علاج هرموني لسرطان الثدي حيث يعتمد العلاج على المستقبلات الهرمونية الإيجابية الموجودة في الخلايا السرطانية وذلك بمنع ارتباط هرمونات الاندروجين والبروجسترون بمستقبلاتها او تعمل على تخفيض انتاج الجسم لهرمونات الاندروجين والبروجسترون (Burstein *et al.*, 2021).

على الرغم من ان العلاجات الجهازية تستخدم كبديل للعلاج الجراحي الا انها تتضمن بعض الآثار السلبية منها عدم استجابة الغدد الصماء لهذا العلاج أي مقاومة الغدد للعلاج وفي بعض الحالات تتسبب العلاجات الجهازية في جلطات دموية، هشاشة العظام وامراض القلب وغيرها (Asghari *et al.*, 2022; Jurrius *et al.*, 2020).

4- **العلاج الكيميائي:** يستخدم العلاج الكيميائي في حالة سرطان الثدي المنتشر ER الموجب وHER2 الموجب والسالب الثلاثي وفي بعض الحالات يستخدم مع العلاجات الجهازية لضمان تقليص او إزالة الورم الخبيث. يؤثر العلاج الكيميائي على الخلايا الطبيعية السليمة

أيضا ويسبب طفرات في مادتها الوراثية مما يؤدي الى حدوث سرطانات من أنواع أخرى إضافة الى ذلك عدم قدرة بعض الدول في توفير بعض العلاجات الكيماوية بسبب تكلفتها المادية الكبيرة (Costa et al., 2020).

5- **العلاج المناعي**: يعتبر من العلاجات الفعالة في سرطان الثدي المنتشر السالب الثلاثي ويستخدم بمشاركة العلاج الكيماوي ويعتمد في عمله على تقوية الاستجابة المناعية ضد أورام سرطان الثدي. تم تطوير طرق مختلفة كعلاج مناعي مضاد لسرطان الثدي ويشمل العلاج المناعي الذي يستهدف الأورام، الفيروسات الحالة للأورام واللقاحات المضادة للسرطان شكل (8) (Garcia-Aranda et al., 2018). حققت العلاجات نجاحا كبيرا وثبتت فعاليتها ضد الورم الاولي والورم المتقدم (المنتشر) وأعطى نتائج وذلك بمحاصرة الورم ومنع انتشاره وزيادة معدل عمر المرضى المتوقع الا ان كلفة العلاج العالية إضافة الى تأثيره على مرضى سرطان الجلد المناعي الشديد والاستجابة القليلة في حالة استخدامه بدون العلاج الكيماوي (Garcia-Aranda and Redondo, 2019).



شكل (8) أنواع العلاجات المناعية لسرطان الثدي ( Garcia-Aranda and Redondo, ) (2019)

6- **العلاج الجيني**: يستخدم العلاج الجيني في حالة سرطان الثدي الاولي والمنتشر والهدف من العلاج هو كبت او تعديل التعبير الجيني لبعض البروتينات التي تساهم في تنظيم نمو وانقسام وهجرة الخلايا والتي يلاحظ وجودها بشكل مفرط وبنسبة عالية في سرطان الثدي الاولي والمنتشر (Cheng et al., 2012). تتمثل سلبيات العلاج الجيني في صعوبة معالجة كبت الجين في الخلايا الهدف وتتطلب هذه العملية استخدام فيروسات

للتعرف على الخلايا السرطانية وحمل المادة الجينية الى جينات الخلايا المكونة للورم الخبيث (Doloff and Waxman, 2014).

### 2-9-3- علاج سرطان الثدي بتقنية النانو

على الرغم من النجاح والنتائج الجيدة التي تم تحقيقها في السنوات الأخيرة في معالجة سرطان الثدي الا انه يستعصي الشفاء تقريبا في جميع المرضى المصابين به وتستخدم طرق الجراحة والاشعاع عادة للتسكين فقط في المرض المنتشر لذلك هناك حاجة الى علاجات أكثر وأفضل للتقليل من السمية والاثار الجانبية التي تسببها العلاجات التقليدية والتقليل من تكلفة العلاجات وبقاء المريض على قيد الحياة (Waks and Winer, 2019).

بدأت بحوث التقنية النانوية الدخول في مجال الطب والصيدلة لارتباطها بصحة الانسان وفي مواجهة الامراض الأكثر خطورة وهي الامراض السرطانية فأصبحت المواد النانوية علاجا بديلا عن العلاجات الكيميائية بسبب ما تمتلكه من خواص حرارية وميكانيكية (Muddapur et al., 2022; Wang et al., 2013). وقد ساعد ابتكار تقنية الزراعة النسيجية في اختبار فعالية الجسيمات النانوية على الأورام الخبيثة حيث تعتبر تقنيات زرع الخلايا الحيوانية خارج الجسم هي أحد استعمالات التكنولوجيا الحيوية ، بالنسبة للكائن الحي تتضمن هذه العملية ادخال قطع نسيج كاملة أو مجموعة من الخلايا المتميزة أنزيميا في الجسم حيث يتم اختبار تأثير العلاجات التجريبية على أنواع الخلايا المختلفة لأنها تحتوي على غالبية العناصر الغذائية اللازمة لتكاثر الخلايا السرطانية خارج الجسم الحي مع التمكن من التحكم وإدارة الظروف التي تؤدي الى نمو الخلايا السرطانية إضافة الى القدرة في التحكم بالمدة الزمنية التي يتعرض لها مختلف الخلايا السرطانية المزروعة الى المستحضر (Antoni et al., 2015).

فعلى سبيل المثال كان العلاج الكيماوي الكامبتوثيسين (Cpt) Camptothecin يستعمل في علاج سرطان الثدي حيث يعمل على تثبيط عمل انزيم التوبوايزوميريز النووي DNA Topoisomerase حيث يتفاعل الاثنين في موقع nucleophilic مما يؤدي الى تفكك (CPT) مكونا اللاكتون وبما ان اللاكتون ضعيف الذوبان في الماء وغير مستقر عند الاس الهيدروجيني للجسم وسميته الشديدة منع من استعماله في التطبيقات السريرية لسرطان الثدي (Rajan et al., 2017; Berrada et al., 2005) فتم تحسين فعالية CPT وتقليل من سميته وذلك بتغليفه من الداخل encapsulation بجسيمات شحمية نانوية صلبة لا تذوب



في المذيبات العضوية فكان التأثير السمي للعلاج منخفض واكثر فعالية لخلايا خط سرطان الثدي مقارنة بالعلاج الكيماوي المتمثل ب CPT الحر (Chi et al., 2020).  
تعد جسيمات الذهب النانوية المصنعة حيويًا ادوية جديدة لعلاج سرطان الثدي بسبب سميتها المنخفضة وتوافقها الحيوي وذات امتصاصية عالية من قبل الخلايا لذلك استخدمت على نطاق واسع في مجال الصحة وخاصة في علاج وتشخيص السرطان (Mikhailova, 2021; Peng and Liang, 2019). في دراسة Munawer وآخرون، (2020) استخدمت جسيمات الذهب النانوية المخلفة من المستخلص المائي للفطر الداخلي *Cladosporium spp* المعزول من نبات *Commiphora wightii* وظهرت فعالية كبيرة ضد خط سرطان الثدي McF-7. وفي دراسة Clarence وآخرون، (2020) اثبتت جسيمات الذهب النانوية التي صنعت من مستخلص الفطر الداخلي *Fusarium solani* فعالية مضادة لخط سرطان الثدي McF-7 بطريقة فحص MTT في المختبر (in vitro).

## 10-2- الية تثبيط جسيمات الذهب النانوية للخلايا السرطانية

على الرغم من ان الية تأثير جسيمات الذهب النانوية على الخلايا السرطانية غير كاملة الوضوح لكن اظهر كثير من الباحثين ان جسيمات الذهب النانوية يمكنها النجاح في مهاجمة الخلايا السرطانية (Haume et al., 2016). وأشار Lin وآخرون، (2021) ان سمية جسيمات الذهب النانوية للخلايا السرطانية تكون بأليات مختلفة منها انتاج الجذور الحرة، اكسدة الكلوتاثيون، تعطيل دورة الخلية، تنشيط بروتين الكازيبز 3 Caspase وتنخر الخلايا السرطانية وبرمجة موت الخلية شكل (9).

يعد موت الخلية المبرمج Apoptosis من اهم الاليات المؤثرة المضادة للأورام التي تسببها جسيمات الذهب النانوية بسبب نفوذها السهل عبر الحواجز الخلوية والفتحة العالية للجزيئات الحيوية المختلفة يتم تمييز الخلايا الميتة بهذه الطريقة عن طريق التغيرات الشكلية منها انكماش الخلايا، تفتيت النوى وانتشار واسع للغشاء البلازمي مما يؤدي في النهاية الى موت الخلايا ثم تقوم الخلايا البلعمة الكبيرة بابتلاع الخلايا الميتة المتبقية (Yang et al., 2019). على سبيل المثال بين Parveen وآخرون، (2022) فعالية جسيمات الذهب النانوية على خط سرطان عنق الرحم Hela cell وسرطان استسقاء ايرليش Ehrlich's ascites carcinoma وخط سرطان الثدي McF-7 وقدرتها على اختراق غشاء الخلية بكفاءة مما سبب الانكماش والتحبب كمتغيرات مظهرية كما اظهر فحص MTT ان التأثير السام

لجسيمات الذهب النانوية على الخلايا السرطانية يعتمد على التركيز. كما أشار Liu وآخرون، (2019) ان جسيمات الذهب النانوية كانت مسؤولة عن موت الخلية المبرمج لاثنتين من خطوط خلايا سرطان الكلى البشري نتيجة نفاذية غشاء الماييتوكوندريا مما أدى الى اختلال وظائفها وموت الخلية المبرمج. كما أشار Gadekar وآخرون ، (2021) ان جسيمات الذهب النانوية كانت سامة لخط سرطان الكبد Hep2 وكان موت الخلية المبرمج مسؤولاً عن زوال خلايا الكبد المصابة.

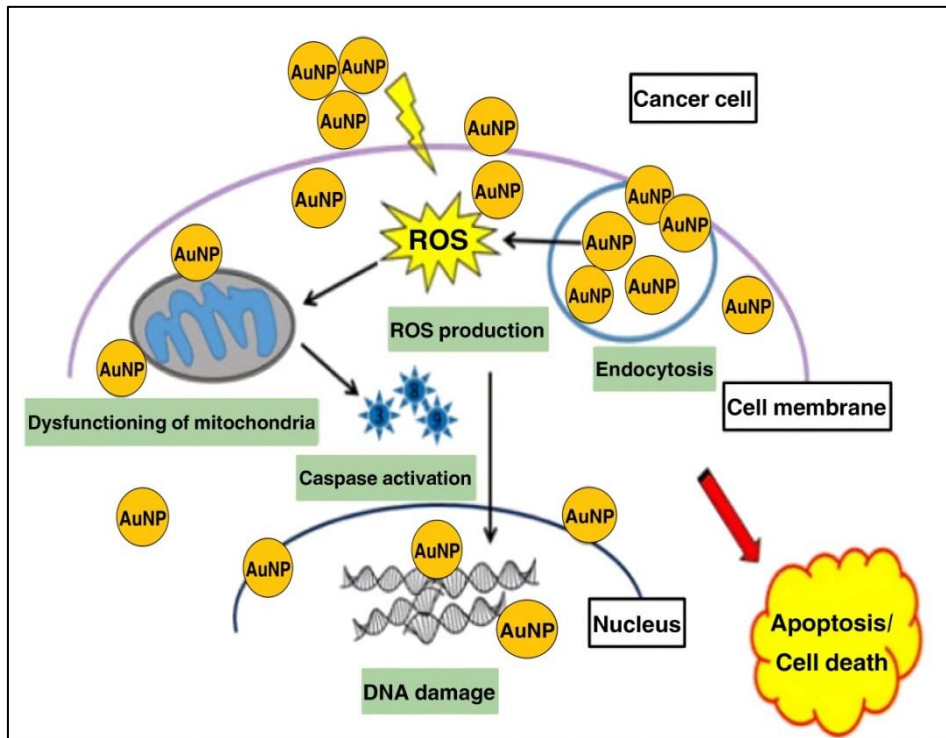
الآلية الأخرى التي اقترحت وتعمل كمضاد للسرطان هي تكوين أنواع الاوكسجين التفاعلية Reaction oxygen species (ROS) او ما تسمى بالجذور الحرة داخل الخلايا السرطانية مما يؤدي الى دخول الخلية السرطانية حالة اجهاد تأكسدي والذي يسبب تلف المادة الوراثية والاعشية الحيوية وتنتهي بموت الخلية المبرمج (Kumer *et al.*, 2017). تعمل الجذور الحرة على اكسدة الكلوتاثيون (GSH) الذي يعمل كمضاد اكسدة حيث يحمي الخلية من الجذور الحرة وتحوله الى الكلوتاثيون ثنائي الكبريت Glutathion disulfide (GSSG) وتنتج عن ذلك تحفيز انزيم Giutathion reductase بسبب ارتفاع الجهد التأكسدي في الخلية التي تسببه الجذور الحرة ويقوم بأختزال الكلوتاثيون المتأكسد (Sathishkumar *et al.*, 2015). تعد النسبة بين GSH و GSSG من اهم المؤشرات على ارتفاع الجهد التأكسدي فقد لوحظ انخفاض مستوى GSH في الخلايا السرطانية المعالجة بجسيمات الذهب النانوية بالتالي تكون زيادة توليد الجذور الحرة وأكسدة الكلوتاثيون هي واحدة من نشاطات جسيمات الذهب النانوية المضادة للسرطان (Lee *et al.*, 2019).

و بينت دراسة Ke وآخرون، (2019) أدى تعرض خلايا خط سرطان عنق الرحم Hela cell الى جسيمات الذهب النانوية الى سمية هذه الخلايا من خلال توليد ROS مما سبب احداث ضرر في مسار الماييتوكوندريا وبالتالي موت الخلايا المبرمج. كما بين Aguilar وآخرون، (2021) ان جسيمات الذهب النانوية يمكنها ان تحفز السمية الخلوية من خلال توليد ROS مما سبب احداث اضرار في المكونات الخلوية من خلال الاجهاد التأكسدي المتكون داخل الخلايا السرطانية.

وكما أشارت دراسات أخرى منها Ganeshkumer وآخرون، (2013) و Patra وآخرون، (2015) و Vemuri وآخرون، (2019) ان تراكم جسيمات الذهب النانوية في الخلايا السرطانية المعالجة في طور G0 (طور السكون) و طور G1 (الطور الأول من دورة الخلية) و طور S (الطور الثاني من دورة الخلية) يمكن ان يلعب دورا في تنظيم دورة

الخلية ودورا في تحريض موت الخلية المبرمج، وهذا ما وجد في خط خلايا سرطان الثدي McF-7 التي عولجت بجسيمات الذهب النانوية والتي تشير النتائج الى كفاءة هذه الجسيمات النانوية في احداث توقف الخلية في مختلف مراحل دورة الخلية.

يعد الكازبيز Caspase هو احد البروتينات التي تسبب تحلل بروتينات الخلايا وتكون مسؤولة عن موت الخلية المبرمج نتيجة لعوامل عديدة منها النمو والتخلص من الخلايا غير المرغوب فيها او للتوازن الطبيعي (Durairajanavagam *et al.*, 2015). اشارت دراسة Dam واخرون، (2014) ان جسيمات الذهب النانوية تساهم في مضاعفة نشاط Caspase3 وتسبب انخفاض حيوية الخلايا الى %40. كما بينت دراسة Ahamed واخرون، (2016) ان جسيمات الذهب النانوية شديدة السمية ضد خلايا سرطان الثدي البشري وتسبب موت الخلايا السرطانية نتيجة لتعزيز نشاط Caspase3 و Caspase9 .



شكل (9) الية عمل جسيمات الذهب النانوية ضد الخلايا السرطانية ( Vinay *et al.*, )

(2021)

## 11-2- جسيمات الذهب النانوية كمضادات اكسدة

تحدث داخل المحيط الخلوي عمليات أساسية منها اكسدة الغذاء للحصول على الطاقة وينتج عن هذه الفعاليات الايضية ما تسمى بالجذور الحرة وهي نوع جزيئي قادر على الوجود بشكل مستقل وحاوي على الكترون مفرد من أهم أنواع الجذور الحرة هي أنواع الاوكسجين التفاعلية (ROS) والهيدروكسيل ( $OH^\circ$ ) والاكسجين المفرد ( $O^\circ$ ) والاكسجين الفائق (جندل، 2015) التي لها دور أساسي في الايعازات الخلوية وتكاثر الخلايا وموت الخلايا المبرمج (Liu et al., 2019). تسبب الجذور الحرة اكسدة الخلايا وتحلل الجزيئات الحيوية وتلف الحامض النووي فتعمل مضادات الاكسدة على تثبيط نشاط الجذور الحرة وذلك بالتفاعل معها بطريقة مباشرة أو غير مباشرة بواسطة الزيادة في التعبير عن انزيمات مضادات الاكسدة للتقليل من اضرار الاكسدة داخل الخلايا (Demoranville., 2021; Juan et al., 2021).

هناك الكثير من العوامل التي تسبب خلل في التوازن بين انتاج الجذور الحرة وعمل مضادات الاكسدة منها التعرض الى الاشعاع والملوثات واستخدام بعض الادوية وكثرة تناول الأطعمة المحتوية على المواد الحافظة مما يسبب زيادة الاجهاد التأكسدي على نظام مضادات الاكسدة في جسم الكائن الحي مما يساهم في في نشأة كثير من الامراض منها تصلب الشرايين والشيخوخة والامراض العصبية والسرطان (Netala et al., 2018; Umeno et al., 2017).

اثبتت دراسات كثيرة على إمكانية استخدام جسيمات الذهب النانوية كمضادات اكسدة كونها مركبات غير سامة وامنة وتم تقدير نشاط جسيمات الذهب النانوية وقدرتها على كسح الجذور الحرة بإستعمال تحليل Diphenyl-2-picrylhydrazyl redical (DPPH)، في دراسة Joshi وآخرون، (2017) تميزت جسيمات الذهب النانوية التي تم تصنيعها بإستعمال الفطر الداخلي *Cladosporium cladosporiodes* المعزول من الطحالب البحرية نشاطا وفعالية كبيرة كمضادات اكسدة. كما اظهر نشاط جسيمات الذهب النانوية المخلقة من مستخلص فطر *Aspergillus terreus* فعالية جيدة كمضادات اكسدة (Balakumaran et al., 2022). و اثبتت معظم الدراسات ان الجزيئات الحيوية التي تغلف سطح جسيمات الذهب النانوية تزيد من نشاط الجسيمات كمضادات اكسدة خاصة Flavins و Polyphenol و Tannins كون نفسها هي مضادات اكسدة مما يعزز تأثير فعالية

الجسيمات النانوية ضد الجذور الحرة ( Sana *et al.*, 2022; Baldwin and Booth, 2022; Sutan *et al.*, 2018, 2021).

الفصل الثالث  
المواد وطرائق  
العمل

Material and method

### 1-3 الأجهزة والمعدات المختبرية Equipment and Apparatus

جدول (1-3) الأجهزة المستخدمة في الدراسة الحالية.

المنشأ	الشركة المصنعة	الجهاز	ت
Korea	Shownic	Microwave مسخن	1
Japan	Labcco	Vortex المازج الدوار	2
Poland	Vistal	Refrigerator ثلاجة	3
Japan	Shimadzu	UV-visible جهاز الأشعة فوق البنفسجية spectroscop	4
Belgium	Consort	Electrophoresis جهاز الترحيل الكهربائي	5
Germnay	GFR	Water distillatory جهاز التقطير	6
Germnay	Hittich	Centerifuge جهاز الطرد المركزي	7
Germnay	Heidolph	Hot plate الصفيحة الحرارية الهزازة الممغنطة with magnetic stirrer	8
France	Vilberlourmat	Gel system جهاز تصوير الهلام documentation	9
Korea	Human Lab	Incubator الحاضنة	10
China	Zenith lab	Shaking Incubator الحاضنة الهزازة	11
Germnay	Memmert	Water path الحمام المائي	12
Germnay	Memmert	Oven فرن كهربائي	13
France	Lab Tech	Biosafety كابينة الزرع	14
Japan	Olympus	Light Microscop مجهر ضوئي	15
Germnay	Sartorius	Sensitive Balance الميزان الحساس	16
UK	Prime	Thermo cycler المدور او المضخم الحراري	17
Japan	Hirayama	Autoclave المؤصدة	18

USA	Knflaboport	Vaccum pump مضخة ضغط	19
Holland	Phillips	X-Ray diffraction جهاز حيود الاشعة السينية	20
Russia	NT-MDT	Atomic force مجهر القوة الذرية microscope(AFM)	21
Belgium	Cypress Diagnostics	CO <sub>2</sub> حاضنة مع ثنائي أوكسيد الكربون incubator	22
USA	Thermo Fisher Scientific	Microtiter reader قارئت الالواح الدقيقة	23
Korea	K & K Scientific Supplier	Laminar flow hood حجرة التدفق الصفحي	24

### 2-3 الأدوات المستخدمة في هذه الدراسة موضحة في الجدول (3-2)

جدول (2-3) يوضح الأدوات المستخدمة في الدراسة الحالية.

ت	الأدوات	الشركة المصنعة	المنشأ
1	اطباق بتري Dishes	Bio zek medical	Holland
2	انابيب اختبار Test tube	ALS	Canada
3	أوراق ترشيح Filter paper	Watman No.1	UK
4	ابندروف Epindroff	Bio neer	Korea
5	الثاقب الفليني Cork borer	Brand-w	Germany
6	قناني محكمة الغطاء Screw cap bottles	Pyrex	England
7	ماصات 0.5- Micropipettes 10μL, 10-100μL, 100-	Dragon	China



		1000μL	
Malaysia	Broche	Gloves كفوف	8
India	Superestar	شرائح زجاجية وغطاء الشريحة Slides and cover slides	9
USA	General	Beaker بيكرات مختلفة الاحجام	10
Germnay	Iso Lab	Flask دوارق مختلفة الاحجام	11
India	Superestar	Disposable طبية Syringes	12
India	Himedia	Standard wire الناقل الزرعي loop	13
England	Gallenkamp	Benzen burner مصباح بنزن	14
USA	Thermo Fisher Scientific	Cell culture صفائح زرع الخلايا plate	15

### 3-3 المواد الكيميائية والاحيائية Biological and chemical materiales

المواد الكيميائية والاحيائية المستخدمة في هذه الدراسة موضحة في الجدول (3-3)

جدول (3-3) يمثل المواد الكيميائية والاحيائية المستخدمة في الدراسة الحالية

المنشأ	الشركة المصنعة	اسم المادة	ت
Chile	KR	Agar اكار	1
Spain	RBL	Absolute ethanol ايثانول مطلق	2

Korea	Bioneer	Primers	بادئات 3
Australia	Ajax	الايونات منزوع Didionzation water	ماء 4
Canada	Bio basic	Agarose	اكاروز 5
England	BDH	Pepton	بيتون 6
Indonosia	INF	كلورامفينيكول chloramphenicol	7
UK	Glentham	رباعي كلورات الهيدروجين ثلاثي Hydrogen (III) tetrachloroaurate trihydrate	الهيدرات 8
Korea	Bio neer	Master mix	مزيج التفاعل 9
Korea	Bio neer	اللاكتوفينول القطنية Lactophenol-cotton blue stain	صبغة 10
England	BDH	glucose	كلوكوز 11
العراق	أربيل	هيبوكلورات الصوديوم 5%	12
England	BDH	Ethanol 70% %70	كحول اثيلي 13
USA	Santa Cruz	DMF	16

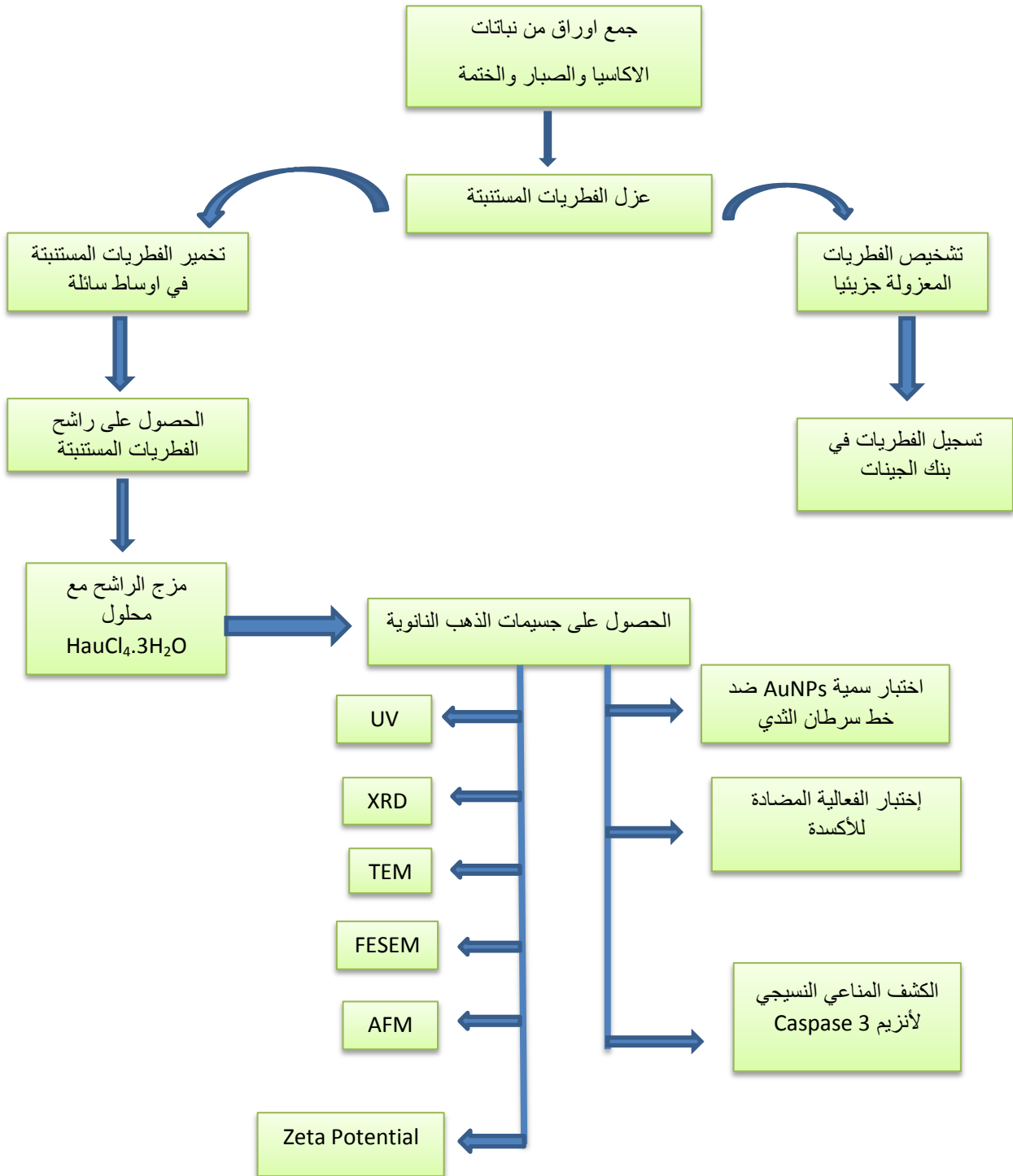
USA	Gibco	RPMI 1640	17
USA	Sigma	MTT stain	18
USA	Gibco	Fetal bovine serum	19

### 4-3 الأوساط الزرعية

جدول (4-3) يوضح الأوساط الزرعية والتخميرية المستخدمة في الدراسة الحالية.

الشركة المصنعة	طريقة التحضير	الأوساط الزرعية المستخدمة	ت
Hi media	حضر حسب تعليمات الشركة المصنعة	وسط اكار الدكستروز البطاطس Potata dextrose agar medium	1
Hi media	حضر حسب تعليمات الشركة المصنعة	وسط مرق الدكستروز البطاطس	2
Hi media	حضر حسب تعليمات الشركة المصنعة	Malt agar وسط اكار الشعير	3
	حضر بإذابة Malt extract(3g) Yeast extract (3g) Glucose (10) Pepton (5g) Dw 1000 ml	Malt Glucose Pepton Yeast(MGPY)	4

5-3- خطوات طرائق العمل



شكل (10) مخطط يوضح خطة عمل الدراسة البحثية (اعداد الباحثة)

### 3-5-1- جمع العينات

تم جمع العينات النباتية لأوراق النباتات ومن الأماكن المذكورة امامها للمدة من تشرين الثاني 2021 الى كانون الثاني 2022 كما موضح في جدول (3-5).

جدول (3-5) أسماء النباتات المستخدمة في هذه الدراسة

ت	اسم النبات	الاسم العلمي	منطقة العزل
1	الختمة	<i>Althea rosea</i>	حديقة منزلية
2	الصبار	<i>Opuntia ficus-indica</i>	حديقة منزلية
3	الاكاسيا	<i>Sanna surattensis</i>	حديقة كلية الصيدلة

### 3-5-2 عزل فطريات النسيج النباتي الداخلي Endophyte Fungi:

اعتمدت طريقة تعقيم السطح في عزل الفطريات من النسيج الداخلي للنبات حسب طريقة (Greenfield et al., 2015) والتي تضمنت الخطوات التالية:

- 1- غسل أوراق العينات النباتية بماء الحنفية الجاري.
- 2- تقطيع الأوراق الى قطع صغيرة بقطر 6 ملم تقريبا .
- 4- وضع القطع الصغيرة في محلول الكحول الايثيلي بتركيز %75 لمدة دقيقتين.
- 4- غمرها في محلول هيبوكلورات الصوديوم (NaClO) بتركيز %5 لمدة 3 دقائق.
- 5- غطست بالكحول الأيثيلي بتركيز %75 لمدة 30 ثانية.
- 6- غسلت بعد ذلك بماء منزوع الايونات المعقم.
- 7- جففت القطع النباتية المقطعة بواسطة أوراق ترشيح وفي ظروف معقمة.
- 8- وضعت الأجزاء الورقية على اطباق بتري حاوية على وسط اكار دكستروز البطاطا الحاوي على الكلورمفينكول.
- 9- حضنت بدرجة حرارة 27 م° لمدة (5-7) أيام وبمعدل ثلاث مكررات.

### 3-5-3- تنقية وتشخيص الأنواع الفطرية قيد الدراسة:

تم تنقية الأنواع الفطرية النامية وذلك بنقلها على وسط اكار الدكستروز البطاطا و اكار الشعير المحضر مسبقا والخالي من الكلورمفينكول وحضنها لمدة أسبوع بدرجة 27 م° ثم نقلت أجزاء من المستعمرات النقية المعزولة الى أوساط مائلة وحضنت بدرجة 27 م° لمدة (5-7) أيام بعد ذلك نقلت الأوساط المائلة الى الثلجة بدرجة حرارة 4 م° لغرض الحفظ. تم تشخيص الأنواع الفطرية اوليا تحت المجهر الضوئي وذلك بتحضير شرائح زجاجية Slids مصبوغة بصبغة Lacto phenol cotton blue.

### 3-5-4- التشخيص الجزيئي للفطريات المدروسة:

#### 3-5-4-1 استخلاص الحامض النووي منقوص الاوكسجين DNA من المستعمرات الفطرية

تم العمل باستخلاص الحامض النووي المنقوص الاوكسجين DNA للفطريات المعزولة والتي تم تنشيطها بعمر 5-7 أيام تبعا لخطوات الشركة المصنعة للعدة FavorPrep Fungi/Yeast Genomic DNA Extraction Mini Kit (Cat.No.: FAFYG 001 وكما يلي :

- 1- نقل جزء قليل جدا من المزرعة الفطرية إلى أنبوب طرد دقيق سعة 1.5 مل.
- 2- إضافة 1 مل من محلول FA Buffer الى الخلايا وأعادته تعليق الخلايا resuspend بإستعمال الماصة micropipette ووضع المعلق في جهاز الطرد المركزي ( 5000 rpm for 2 min) لإكمال التخلص من الراشح تماما.
- 3- إعادة تعليق الخلايا بإضافة 550µl من محلول FB Buffer ثم إضافة محلول Lyticase مع الخلط الجيد بإستعمال جهاز الدوامات Vortexing ثم حضنت لمدة نصف ساعة بدرجة 37 م° بعدها وضعت في جهاز الطرد المركزي ( 5000 rpm for 10 min) لغرض اكمال التخلص من الراشح تماما. هناك تحذير عند اجراء الخطوات التي تشمل استخدام محلول Lyticase و FB Buffer لانها تحتوي على مواد خطيرة على صحة الانسان يجب اجراء هذه الخطوات داخل كابينة كيميائية ساحبة للدخان.

- 4- إضافة 350 µl من محلول TG1 Buffer وخلطه جيدا بواسطة الماصة micropipette ثم تنقل العينة الى bead tube ويمزج جيدا بواسطة جهاز المزج plus- vortex لمدة 5 دقائق.
- 5- إضافة 20µl من محلول انزيم البروتينيز Proteinase k ثم يخلط بجهاز الرج vortex ثم تحضن العينة لمدة 15 دقيقة عند 55 م° مع اجراء عملية المزج بعد كل خمس دقائق حضن لمدة 20 ثانية.
- 6- توضع الخلايا المعلقة في جهاز الطرد المركزي (5000 rpm for 1 min) ثم تنقل 200 مايكرو لتر من المعلق الى أنبوب جديد نوع microcenterfuge tube سعة 1.5 مل.
- 7- إضافة 200 مايكرو لتر من محلول TG2 Buffer ويخلط جيدا بواسطة الماصة micropipette.
- 8- إضافة 200 مايكرو لتر من الايثانول (96-100%) ويخلط جيدا بواسطة جهاز الرج Plus-vertexing لمدة 10 ثواني.
- 9- وضع خليط العينة في عمود تجميع صغير TG min ثم طرد مركزي ( 14000 rpm for 30 sec) ثم نضع TG min في أنبوب تجميع جديد.
- 10- إضافة 400 مايكرو لتر من محلول WI Buffer مع إضافة الايثانول للمحلول ثم يوضع في جهاز الطرد المركزي (14000 rpm fr 30 sec) والتخلص من السائل المتدفق ثم يفرغ في عمود تجميع جديد TG min مرة أخرى.
- 11- إضافة 750 مايكرو لتر من محلول wash Buffer الى عمود TG-min ووضعه في جهاز الطرد المركزي (14000 rpm for 30 sec) وتجاهل التدفق ثم تنقل الى انابيب جديدة ذات اغطية تدعى collection tube.
- 12- يوضع مرة أخرى في جهاز الطرد المركزي بسرعة 14000 دورة في الدقيقة لمدة 3 دقائق لتجفيف العمود.
- 13- يوضع عمود TG الصغير في أنبوب شطف.
- 14- إضافة 100-50 مايكرو لتر من محلول Elution Buffer للغسل او dd H<sub>2</sub>O الى منتصف غشاء عمود TG min وتوضع بشكل عمودي لمدة 3 دقائق.

15- يوضع في جهاز الطرد المركزي بأقصى سرعة 14000 دورة في الدقيقة لمدة دقيقة واحدة لاستخراج الحمض النووي الكلي ويخزن في درجة حرارة 4 م° او -20 م°.

### 3-4-5-2-الترحيل الكهربائي الهلامي لتحليل جودة الحامض النووي منقوص

#### الاوكسجين DNA

1-يحضر محلول الاكاروز بإذابة 1 غم من مسحوق الاكاروز في 100 مل من TBE X1 في دورق 100 مل ونذيب المسوق بإستعمال جهاز microwave حتى يصبح المحلول صافيا.

2- يبرد المحلول الى درجة حوالي (50-55) م°.

3- إضافة صبغة Ethidium bromide الحمراء حوالي 3 مايكروليتر الى الهلام الدافئ.

4- توضع الامشاط في قالب الترحيل الكهربائي لعمل حفر ونصب محلول الاكاروز في القالب

5- يترك الاكاروز الهلامي يتجمد في درجة حرارة الغرفة ومن ثم نرفع المشط بعناية ويوضع القالب في حجرة جهاز الترحيل الكهربائي ويملى بمحلول TBE x1 .

6- يتم خلط عينات الحامض النووي 5 مايكروليتر مع 3 مايكروليتر من صبغة Bromo phenol blue ويوضع المزيج في حفر الاكاروز بنسبة 0.5 .

7- تربط اقطاب جهاز الترحيل الحاوي على جل الاكاروز عند 70 فولت و65 امبير لمدة ساعة واحدة ونلاحظ تحرك الصبغة بعدها يفحص الحامض النووي في جهاز الاشعة فوق البنفسجية حيث تمت مشاهدته تحت ضوء UV trans illuminator وتم تصوير الحامض النووي بواسطة كاميرا.

### 3-4-5-3 تحضير البودائ The primers preparation

تم إذابة البودائ المجففة بالتجميد وحسب تعليمات الشركة المصنعة في 150 مايكروليتر من الماء المقطر ddH<sub>2</sub>O ليصبح التركيز النهائي 100 pmol/μl والاحتفاظ به في درجة حرارة -20 كمحلول stock للاستخدام. تم اخذ 10 مايكروليتر من محلول Stock واضافة اليه 90 مايكروليتر من الماء المقطر ddH<sub>2</sub>O ليصبح الحجم النهائي 100 مايكروليتر لكل من البادئ الامامي (Forward) والبادئ الثاني (Reverse).



جدول (6-3) يوضح تسلسل البوادي المستخدمة في هذه الدراسة.

Primer	Primer sequences	TM C°	GC	Size of product(pb)
ITS1( F)	5-TCCGTAGGTGAACCTGCGG-3	60.3	50%	550-650
ITS4(R)	5-TCCTCCGCTTATTGATATGC-3	57.8	41%	

### 4-4-5-3 تحضير مزيج مكونات تفاعل ال PCR

تم اجراء تضخيم الحامض النووي المستخلص حسب طريقة Aswad واخرون، (2021) باستخدام البوادي الموضحة في الجدول (6-3) وحسب الاضافات الموضحة في جدول (7-3) وبرنامج التضخيم في الجدول (8-3).  
جدول (7-3) تحضير مزيج تفاعل ال PCR :

Components	25 µL (Final volume)
Distill water	16.5µl
Forward primer	10 picomols/µl (1µl)
Reverse primer	10 picomols/µl (1µl)
DNA	1.5µl
Taq PCR PreMix	5µl

### 3-5-4-5- تضخيم الدنا بواسطة جهاز التدوير الحراري

بعد تحضير خليط تفاعل البلمرة المتسلسل PCR الذي حضر حسب الجدول (7-3) وضعت العينات داخل جهاز التدوير الحراري thermal cycle وحسب البرمجة الخاصة بالفطريات وكما موضحة بالجدول (8-3) .

وبعد اكتمال تضخيم الـ DNA نقلت العينات الى جهاز الترحيل الكهربائي ومن ثم فحص الحامض النووي بعد انتهاء الترحيل الكهربائي في جهاز الـ UV وصورت النتائج بالكاميرا ثم تم ارسال العينات الحاوية على المادة الوراثية الى معهد Macrogen في كوريا لغرض معرفة تتابع القواعد النروجينية ومطابقتها مع العزلات في بنك الجينات NCBI.

جدول (8-3) الظروف المثلى لتضخيم الحامض النووي المستخلص من الفطريات النبات الداخلية

NO.	Phase	Tm (C°)	Time	NO.of cycle
1-	Initial Denaturation	95	5 min	1 cycle
2-	Denaturation-2	95	45 sec	35 cycle
3-	Annealing	52	1 min	
4-	Extension-1	72	1 min	
5-	Extension-2	72	5 min	1 cycle

## 3-5-5-5- التخليق الحيوي لجزيئات الذهب النانوية من الفطريات المدروسة

## Preparation of محلول كلوريد الذهب 1-5-5-3



تم إذابة 0.078766 g من كلوريد الذهب في 100 مل من الماء المنزوع الايونات حسب قانون المولارية وفي ظروف معتمدة للحصول على محلول كلوريد الذهب بتركيز 2mM جاهز للاستخدام.

## 3-5-5-3 تحضير جسيمات الذهب النانوية حيويًا:

تم تخليق جسيمات الذهب النانوية من مستخلص الفطريات المستنبتة باتباع الطريقة الموصوفة من قبل (Cupta and Chundawat, 2020) حيث تم تخمير الفطريات المستنبتة في وسط MGYP او PDP لمدة (7-10) أيام في درجة حرارة 27 م° في حاضنة هزازة بمعدل 120 دورة بالدقيقة وذلك بأخذ ثلاث أقراص من المزرعة الفطرية النامية وبقطر 6 ملم لكل عذلة ووضعها في فلاسكات زجاجية سعة 1000 مل حاوية على 250 مل من الأوساط الزرعية السائلة وتم عمل مكررين لكل فطر وبعد نمو الحصيصة الفطرية تم فصل الكتلة الحيوية الفطرية بإستعمال ورق ترشيح معقم نوع Watman paper NO.1 وتحت ظروف معقمة وكذلك جهاز الطرد المركزي وتم غسلها بماء منزوع الايونات معقم جيدا لإزالة بقايا الوسط الزرعى من الخيوط الفطرية. واضيف 100 مل من الماء المنزوع الايونات المعقم لكل 10 غرام من الكتلة الفطرية ووضع في قناني سعة 400 مل وحضنت في حاضنة هزازة بمعدل 120 دورة في الدقيقة وبدرجة حرارة 27-28 م° وفي الظلام لمدة ثلاثة أيام ،بعدها تم فصل الراشح عن الخيوط الفطرية بإستعمال جهاز Vacum device واضيف 100 مل من محلول كلوريد الذهب لكل 100 مل من الراشح الفطري بالتدريج وفي ظروف معتمدة للوصول الى تركيز 1 ملي مولاري لخليط التفاعل. بعد الحصول على التغير اللوني نحصل على جسيمات الذهب النانوية كمسحوق وذلك بوضع محلول جسيمات الذهب النانوية في جهاز الطرد المركزي عند 10000 دورة في الدقيقة لمدة 15 دقيقة وكررت العملية عدة مرات مع إضافة الماء المنزوع الايونات المعقم في كل مرة لحين الحصول على جسيمات نانوية نقية جففت الجسيمات النانوية المخلفة حيويًا عند درجة حرارة الغرفة وفي ظروف معقمة ومعتمدة

### 3-5-6- التشخيص الفيزيائي لجسيمات الذهب النانوية المصنعة حيويًا

استخدمت بعض التقانات الفيزيائية في دراسة خصائص جسيمات الذهب النانوية كالشكل و التركيب البلوري والحجم والتضاريس وهي:

#### 3-5-6-1 التحليل الطيفي للأشعة فوق البنفسجية Ultra violate visible

بعد حصول التغيير اللوني للوسط الذي يحتوي الراشح الفطري مع محلول كلوريد الذهب تم نقل 2 مل من خليط التفاعل للتأكد من تكون الجسيمات الذهبية النانوية الى جهاز التحليل الطيفي UV-1800 وعند الاطوال الموجية ما بين (200-800) نانومتر واستعمل الماء المنزوع الايونات كمحلول blank (Manjunath *et al.*, 2017).

#### 3-5-6-2 حيود الأشعة السينية XR diffraction

. تم تحليل جسيمات الذهب بواسطة حيود الأشعة السينية (XRD) بإستعمال مصدر اشعاع CU-KA بواسطة جهاز X`Pert High عند طول موجي ( $\lambda = 1.54060$ ). تم قياس الحجم البلوري للجسيمات النانوية المخلفة حيويًا بإستعمال معادلة شيرر (Narayanan and Sakthivel, 2011).

$$D = 0.94\lambda \ \beta \ \cos\theta$$

D: تمثل معدل الحجم البلوري للجسيمات المخلفة

$\lambda$ : الطول الموجي للأشعة السينية

$\beta$ : تمثل عرض القمة عند منتصف الارتفاع

$\theta$ : هي الزاوية التي يحصل عندها الحيود

### 3-5-6-3 المجهر الالكتروني النافذ Transmission electron microscope(TEM)

تم تحديد شكل وحجم جسيمات الذهب النانوية عن طريق الفحص بالمجهر الالكتروني النافذ وفقا لقوى التكبير في هذا المجهر .

### 3-5-6-4 المجهر الالكتروني الماسح للأنبعاث المجالي Field emission electron microscope

يعتمد هذا المجهر تقنية جديدة في توليد الالكترونات مما تعطيه دقة أكبر وقوة تكبير تصل الى 500000 مرة وبذلك يمكن لهذا النوع من المجاهر إعطاء صورة وتحليل مكونات لسطوح المواد النانوية بدقة أكبر.

### 3-5-6-5 مجهر القوة الذرية Atomic force microscope (AFM)

يعطي هذا النوع من المجاهر صورة ثلاثية الابعاد لشكل العينة ويقيس تضاريس جسيمات الذهب النانوية.

### 3-5-6-6 جهد زيتا Zeta Potential

يستخدم تحليل زيتا لمعرفة مدى تجاذب وتنافر الجسيمات المحضرة في محلولها الغروي وهو مقياس لتشتت الجزيئات واستقرارها.

### 3-5-7-7 تحديد الفعالية المضادة للأكسدة لجسيمات الذهب النانوية

تم قياس النشاط المضاد للأكسدة في المختبر لجسيمات الذهب النانوية بإستعمال طريقة فحص الجذور الحرة DPPH (Chang *et al.*, 2021). إذ حضرت تراكيز (100,200,400,800) مايكرو غرام/مل من جسيمات الذهب النانوية في محلول Dimethyl sulphoxide (DMSO) ثم أضيف 1 مللتر من كل تراكيز الى 1مليلتر من مادة DPPH (0.004 ملي غرام في 100 مل من الميثانول). كما حضرت نفس هذه التراكيز لمحلول حامض الاسكوربك كعامل سيطرة موجب و اضيفت الى محلول DPPH ، كما تم مزج DPPH+DMSO كعامل سيطرة سالب ثم وضعت المخاليط في مكان مظلم لمدة 30 دقيقة .تم قياس امتصاصية المخاليط بإستعمال جهاز المطياف الضوئي UV

spectroscopy عند طول موجي 517 نانومتر. تم حساب نشاط الكسح الجذري بتطبيق المعادلة التالية :

$$\% \text{Scavenging of DPPH} = [(A_0 - A_1) / A_0] \times 100$$

حيث  $A_0$  يمثل مقدار امتصاصية لعامل السيطرة السالب  
و  $A_1$  يمثل امتصاصية جسيمات الذهب النانوية

### 3-5-8- دراسة الفعالية المضادة للسرطان لجسيمات الذهب النانوية المخلفة

في المختبر

#### 3-5-8-1- أدامة مزارع الخلايا السرطانية

تم الحصول على خلايا سرطان الثدي من وحدة بنك التكنولوجيا الحيوي من محافظة البصرة في العراق وحفظت في RPMI-1640 مكملة بنسبة 10% من مصم الابقار الجنينية و 100 وحدة / مل من البنسلين و 100 غم / مل Streptomycin. تم تمرير الخلايا مرتين الى ثلاث مرات في الأسبوع عندما تكون الخلايا قد شكلت طبقة خلوية واحدة وشغلت نسبة 70% من مساحة الطبق وحضنت عند 37م° و 5% CO<sub>2</sub> (Al-Ali et al., 2022).

#### 3-5-8-2- فحوصات السمية الخلوية Cytotoxicity assays

لتحديد التأثير السام لجسيمات الذهب النانوية على خط سرطان الثدي McF-7 تم اجراء فحص MTT على الخلايا في صفيحة تحتوي على 96 حفرة. تم زرع خطوط الخلايا السرطانية McF-7\*10<sup>4</sup> خلية في كل حفرة (Falih et al., 2022). بعد 24 ساعة تم معاملة الخلايا بجسيمات الذهب النانوية بتركيز (1000,500,250) مايكرو غرام / مل لكل عينة. تم قياس نسبة الخلايا الحية بعد 72 ساعة من المعاملة عن طريق إزالة الوسط واضافة 28 مايكرو لتر من 2 ملغرام / مل من محلول MTT وحضنت الخلايا لمدة 2 ساعة عند 37 م° بعد إزالة محلول MTT. تم إذابة البلورات المتبقية من الحفر بإضافة 100 مايكرو لتر من Dimethyl sulphoxide (DMSO) بعدها حضنت لمدة 15 دقيقة عند 37 م° مع الاهتزاز (Al-Shammari et al., 2019). تم تحديد امتصاصية الخلايا بواسطة قارئ

الالواح الدقيقة عند طول موجي 620 نانومتر. تم اجراء الفحص بأربع مكررات (Sangour *et al.*, 2021). تم حساب معدل تثبيط نمو الخلايا (النسبة المئوية للسمية الخلوية) بتطبيق المعادلة التالية :

$$\text{Proliferation rate as (PR)} = B/A * 100$$

A تعني الكثافة البصرية للحفر المعالجة، B هي الكثافة البصرية للحفر الغير معالجة

$$\text{IR} = 100 - \text{PR} \quad (\text{Sangour } et al., 2021).$$

### 3-8-5-3- الكشف المناعي عن بروتينات الموت الخلوي المبرمج caspase

#### 3

لغرض إجراء الكشف المناعي عن بروتينات الموت الخلوي المبرمج caspase 3 تم اجراء الخطوات التالية حسب طريقة (Eckle *et al.*, 2004):-

- 1 - زرعت الخلايا على سلايد جارج charge وبعد 24 ساعة عند تشكيلها لطبقة واحدة متكاملة بنسبة 80-90%، عرضت لمادة بيثا كلوكان بتركيز 700 مايكروغرام / مل.
- 2 - ثبتت الخلايا بواسطة الالاسيتون البارد لمدة نصف ساعة.
- 3- وضعت المقاطع با- 1% H<sub>2</sub>O<sub>2</sub> لمدة 5 دقائق لتثبيط فعالية إنزيم peroxidase، ثم غسلت المقاطع بواسطة PBS لمدة 5 دقائق.
- 4- وضعت في محلول Reagent Blocking بتركيز 4 مايكرو غرام/مل لمدة ساعة واحدة.
- 5- بعد إزالة مادة reagent blocking من الشرائح، حضنت بـ primary antibody .
- 6- غسلت الشرائح بـ Phosphate buffer saline (PBS) لمدة 5 دقائق.
- 7- عرضت المقاطع للـ secondary antibody المخفف بـ blocking بنسبة 1-25 لمدة ساعة واحدة.
- 8 - غسلت المقاطع بـ PBS لمدة 5 دقائق ثلاث مرات .
- 9- غسلت المقاطع بالماء المقطر.

- 10-حضنت بصبغة الهيماتوكسيلين لمدة 5 ثواني.
- 11- مررت بسلسلة تصاعدية من الكحول الايثيلي (70%- 90%- 100%) لمدة دقيقتين لكل مرحلة.
- 12- مررت المقاطع بالزايلين لمدة دقيقة.
- 13- وضع غطاء الشريحة على الشرائح وحمل بواسطة الكندا بلسم.
- 14- فجصت الشرائح وصورت بواسطة المجهر الضوئي الاعتيادي نوع Leica.

### 3-5-9- التحليل الاحصائي

اجري التحليل الاحصائي للبيانات بطريقة تحليل البيانات بإستعمال البرنامج الاحصائي GINSTAT إذ أجريت مقارنات بين المتوسطات الحسابية وفقا لاختبار اقل فرق معنوي المعدل (LSD) عند مستوى احتمال (0.05) وحسب (الراوي وخلف الله، 1980).



# الفصل الرابع النتائج والمناقشة

Results and

Discussion

## 1- العزل والتشخيص

## 1-1-4 عزل فطريات النسيج النباتي الداخلي

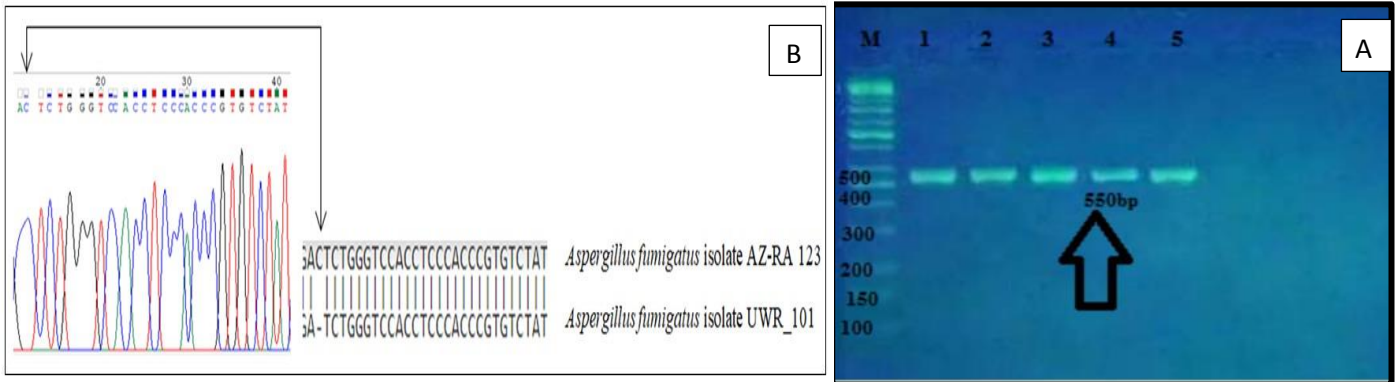
خلال الدراسة الحالية تم عزل أربعة أنواع من الفطريات من داخل النسيج النباتي لأوراق ثلاثة نباتات بطريقة تعقيم السطح وتم تشخيصها جزيئياً، حيث تم عزل الفطر *Penicillium citrinum* isolate MEBPOO16 من أوراق نبات الختمة والفطر *Aspergillus fumigatus* isolate AZ-AR123 من أوراق نبات الصبار أما نبات الاكاسيا فقد تم عزل نوعين من الفطريات من أوراقه هي *Aspergillus fumigatus* strain Zbf-R10 و *Aspergillus tubingensis* strain HRb. أشارت دراسات عديدة منها دراسة Bolivar-Anillo وآخرون (2020)، أن هناك أكثر من 300000 نوع من النباتات البرية التي تم فحصها تحتوي في انسجتها الداخلية كائنات مجهرية وهذه الأحياء تمثل مخزوناً كبيراً من الموارد الحيوية بما في ذلك المركبات الفعالة حيويًا والتي لها تطبيقات محتملة للزراعة والصناعة والطب ومكافحة العوامل الممرضة وبهذا يمكن أن تصيف هذه الكائنات سمات مفيدة ومتنوعة على النباتات المضيفة لها. فهناك دراسات كثيرة أشارت إلى عزل أنواع مختلفة من الفطريات من داخل النسيج النباتي منها دراسة Hateet (2017)، إذ تم عزل الفطر *Trichoderma spp* من أوراق نبات *Ocimum basilicum* ودراسة العزاوي، (2022) إذ تم عزل مجموعة من الفطريات تعود إلى شعبة Ascomycota من أوراق نبات *Moringa oleifera* وكان الفطر السائد فيها هو فطر *Aspergillus flavus*.

## 2-1-4- التشخيص الجزيئي للفطريات المعزولة

بعد تأكيد تضخيم الحامض النووي بإستعمال تقنية PCR وبأحجام 550 زوج قاعدي (Base pairs, bp) وبإستعمال البادئات (ITS1, ITS4) شكل (A11) تم بعد ذلك إرسال 20 مايكروليتر من نواتج الحامض النووي PCR product و50 مايكروليتر من البادئ الامامي ITS1 إلى شركة مايكروجين واجري بحث Homology بإستعمال أداة البحث عن التتابع المحلي الأساسية (BLAST) Basic local Alignment Search Tool، حيث أظهرت نتائج تحليل القواعد النيتروجينية عند مقارنتها مع البيانات المتوفرة في المركز

الوطني لمعلومات التكنولوجيا الحيوية (NCBI) تشخيص اربعة أنواع من الفطريات التي تم عزلها من الانسجة الداخلية لأوراق النباتات قيد الدراسة كما في الجدول (1-4).

اتضح ان عذلة الفطر *Aspergillus fumigatus* isolate UWR 101 عذلة جديدة وذلك لوجود طفرة غرز Insertion mutation لأضافة نوكلوتيد C عند الموقع 13 زوج قاعدي شكل (B11). حيث بلغت نسبة التشابه الوراثي 99% مع عذلة الفطر *Aspergillus fumigatus* No, وتم تسجيلها في مركز NCBI تحت رقم ادخال OP288118. كما تم التشخيص الجزيئي لأنواع الفطريات قيد الدراسة هي *Penicillium Aspergillus fumigatus* strain Zbf-R10 و *citrinum* isolate MEBPOO16 و *Aspergillus tubingensis* strain HRb و بلغت نسبة التطابق 100% لهذه الفطريات مع العزلات المتواجدة في بنك الجينات.



شكل (11) A حجم ناتج PCR بعد الترحيل الكهربائي على 1.5% هلام الاكاروز، B طفرة الغرز بإضافة نوكلوتيد C عند الموقع 13 زوج قاعدي pb

جدول (1-4) التشخيص الجزيئي للفطريات المعزولة من داخل النسيج النباتي لاوراق بعض النباتات قيد الدراسة

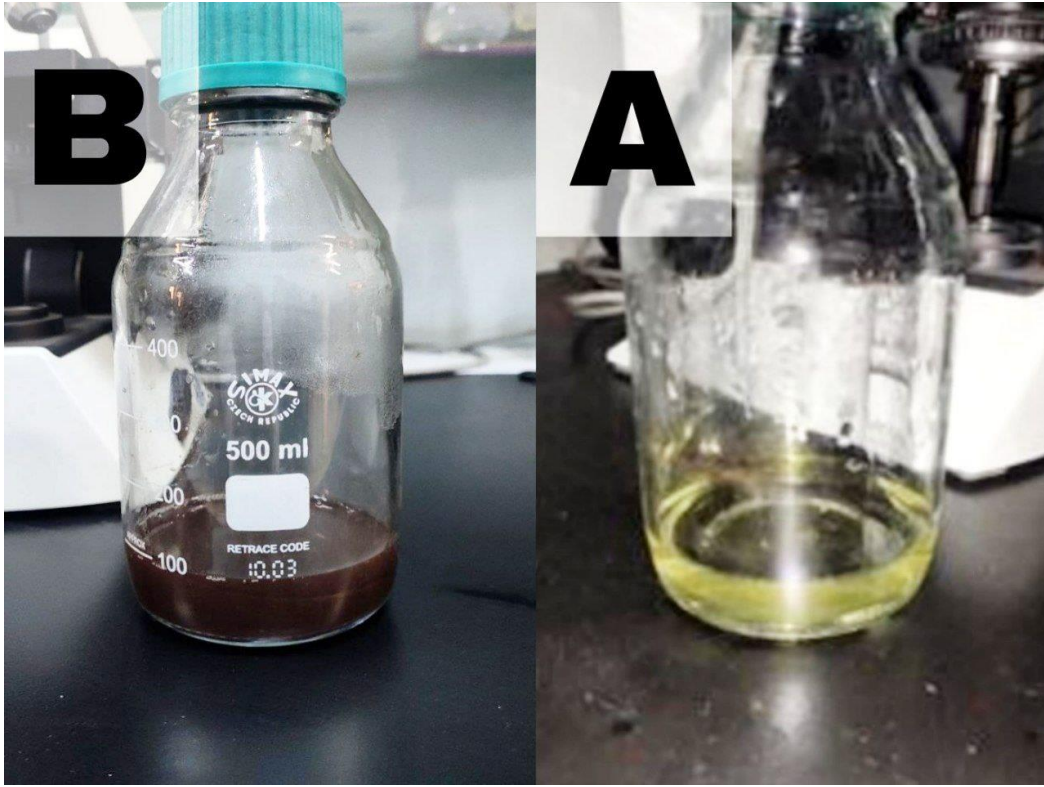
اسم السلالة الفطرية	نسبة التطابق	Accession	اسم السلالة الجديدة بعد تسجيلها في بنك الجينات	رقم العزلة
<i>Penicillium citrinum</i> isolate MEBPOO1	%100	MT597829.1		1
<i>Aspergillus fumigatus</i> strain Zbf-R10	%100	KX064986.1		2
<i>Aspergillus fumigatus</i> isolate UWR 101	%99	OP288118	<i>Aspergillus fumigatus</i> isolate AZ-RA123	3
<i>Aspergillus tubingensis</i> strain HRb	%100	KU243047.1		4

#### 2-4- التخليق الحيوي لجسيمات الذهب النانوية

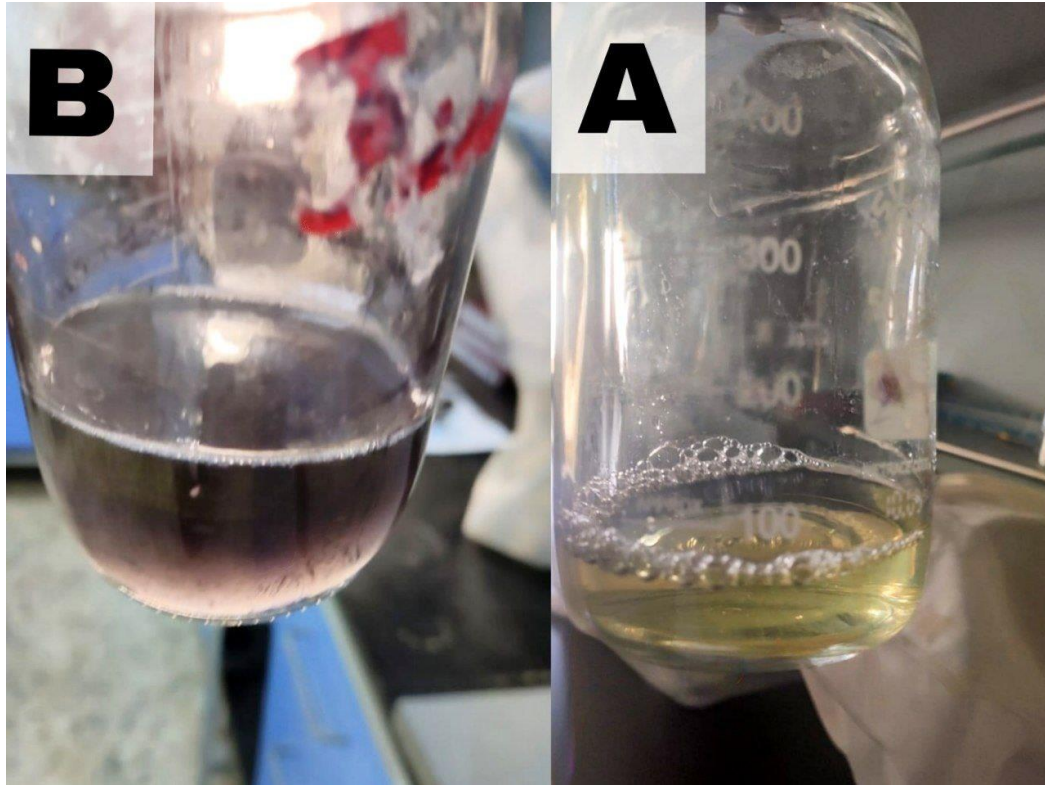
بعد انماء الفطريات المعزولة من النسيج الداخلي للنباتات المختبرة في الأوساط التخمرية (MGYP و PDP) والحصول على رواشح المزارع الفطرية الخالية من الخلايا free cell extract تم استخدام هذه الرواشح الفطرية الأربعة والمشخصة جزيئيا في التصنيع الحيوي لجسيمات الذهب النانوية واطهرت جميعها قابليتها على تكوين جسيمات الذهب النانوية في درجات حرارة وفترات مختلفة. بعد مزج المستخلص الفطري الخالي من الخلايا مع محلول كلوريد الذهب الرباعي ( $\text{HauCl}_4 \cdot 3\text{H}_2\text{O}$ ) أظهرت النتائج حدوث تغير لوني لمزيج التفاعل مما يؤكد حدوث تفاعل اختزال لأيونات الذهب بواسطة المركبات الثانوية الفعالة الموجودة في الراشح أدى الى تكوين جسيمات نانوية إذ يعتبر التغير اللوني من الأصفر الى البنفسجي او البني او البني الداكن او الأحمر مؤشر وكشف ابتدائي بالمشاهدة البصرية عن عملية الاختزال الحيوي المسؤولة عن ظهور التغير اللوني في خليط التفاعل (Hassan et al., 2022; Desai et al., 2021). حيث اظهر راشح الفطر

البني الداكن بعد مرور 24 ساعة وعند 27 م° شكل (12). فيما اظهر راشح مزرعة الفطر *Aspergillus fumigatus* strain Zbf-R10 تغير لوني لمحلول التفاعل من الأصفر الى البني الداكن بعد مرور 24 ساعة وعند 27 م° شكل (12). فيما اظهر راشح مزرعة الفطر *Aspergillus tubingensis* strain HRb تغير لوني من الأصفر الى البنفسجي عند درجة حرارة الغرفة وبعد أسبوعين من عملية المزج شكل (13). كما اظهر راشح الفطر *A.fumigatus* isolate AZ-RA123 تغير لوني الى البني بعد ان كان اصفر اللون بعد 7 أيام وعند درجة حرارة 27 م° شكل (14). اما راشح الفطر *P.citrinum* isolate MEBPOO16 اظهر تغير لوني من الأصفر الى البني بعد 24 ساعة من مزج الراشح مع محلول كلوريد الذهب وعند درجة حرارة 27 م° شكل (15).

أكدت دراسات عديدة ان التغيرات اللونية بعد مزج راشح الفطريات مع محلول ملح الذهب المعدني يحصل بسبب اثاره الرنين السطحي للبلازمون Surface plasmon resonance (SPR) نتيجة حدوث عملية الاختزال لايونات الذهب وتحدث هذه الظاهرة في كثير من المعادن ومنها الذهب والتي تتفق مع دراسات ( Yuan et al., 2019; Amendola et al., 2017; Roy et al., 2016; Niranjana et al., 2015). وبينت دراسات عديدة ان تغير ظروف التفاعل كدرجة الحرارة ومدة الحضانه وتركيز المحلول يؤثر على سرعة التفاعل وشكل الجسيمات النانوية المتكونة ( Singh et al., 2018b; Tao et al., 2008) يفضل التخليق الحيوي لجسيمات الذهب النانوية خارج الخلايا Extracellular كون ان الغشاء والجدار الخلوي للفطريات يمتاز بكونه سميكاً وقوياً نوعاً ما مما يصعب اختراقه من قبل ايونات الذهب  $Au^{+3}$  وحتى ان دخل الى الخلية وتحول الى جسيمات نانوية يجب ان يكون تركيز ايونات الذهب عالي لينتشر داخل الخلايا ( Ronavari et al., 2021).

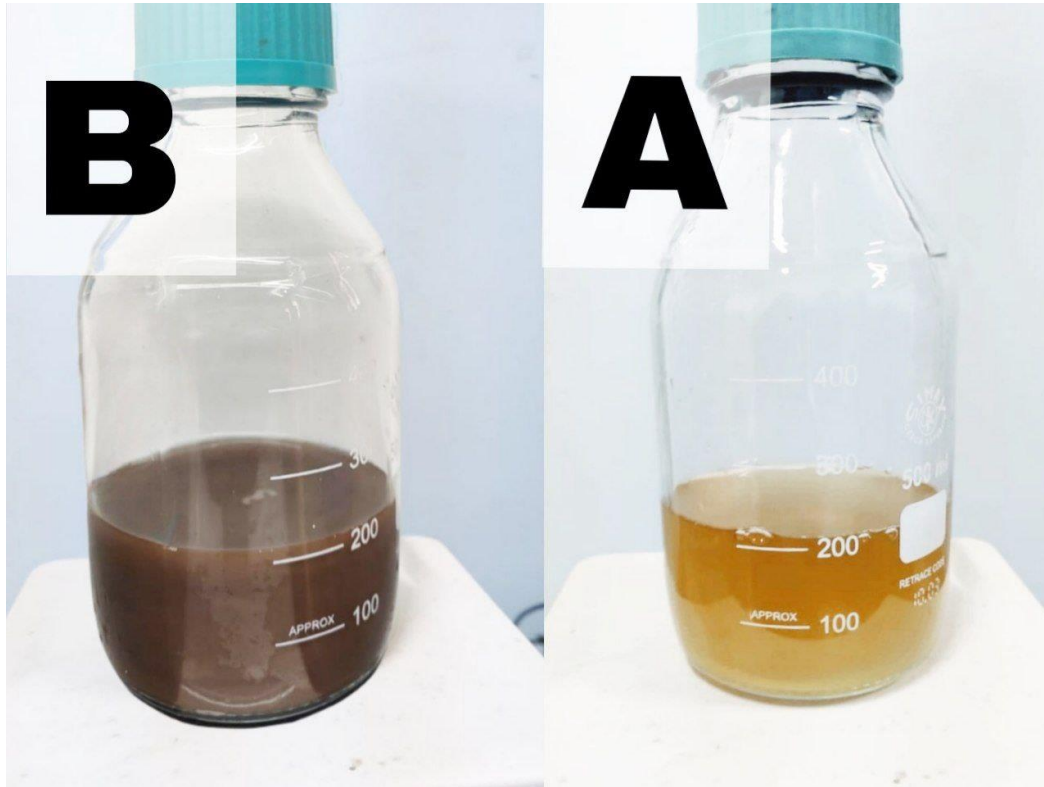


شكل (12) التغير اللوني من الأصفر الى البني الداكن لراشح مزرعة الفطر  
*A.tubingensis* strain Zbf-R10

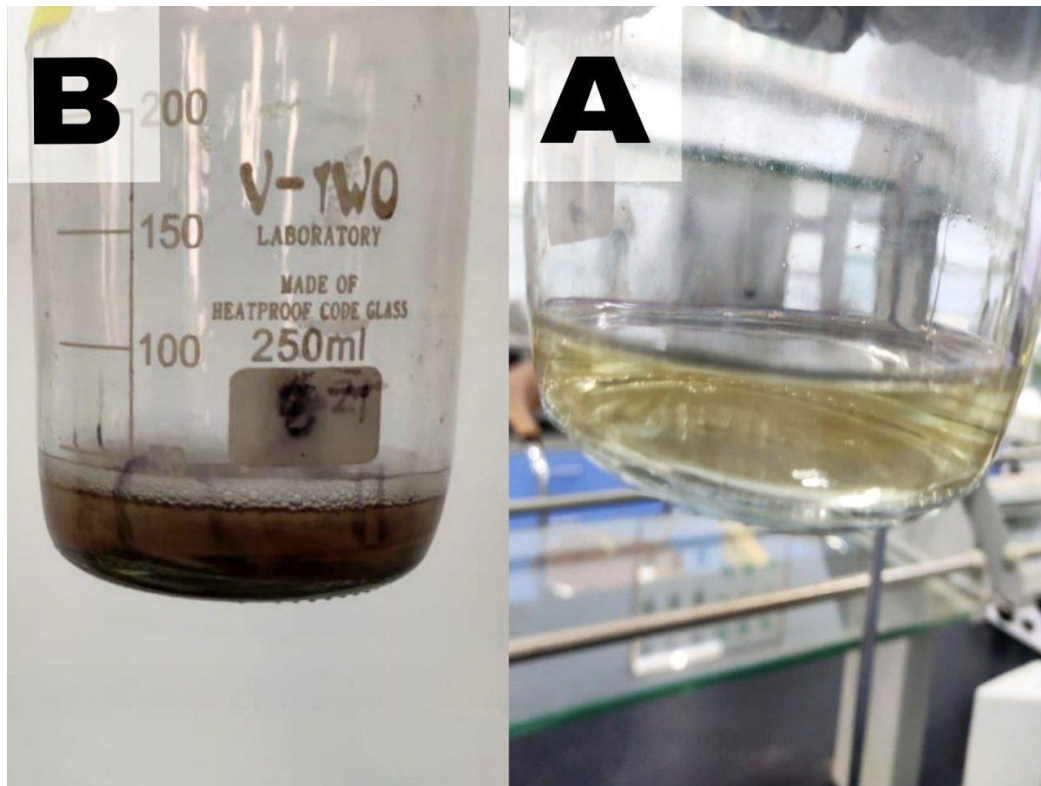


شكل (13) التغير اللوني لراشح مزرعة الفطر  
*A. tubingensis* strain HRb





شكل (14) التغير اللوني لراشح الفطر *A. fumigatus* isolate AZ-AR123.



شكل (15) التغير اللوني لراشح الفطر *P. citrinum* isolate MEBPOO16.

### 3-4- توصيف جسيمات الذهب النانوية

#### 1-3-4 التحليل الطيفي للأشعة فوق البنفسجية UV-Visible

يعتبر التحليل الطيفي للأشعة فوق البنفسجية المرئية هو التقنية الأساسية الفعالة لتأكيد تخليق جسيمات الذهب النانوية (Folorunso *et al.*, 2019) لذلك استخدم جهاز مطياف الأشعة المرئية فوق البنفسجية UV للكشف عن جسيمات الذهب النانوية المصنعة حيويًا من الرواشح الفطرية عند الأطوال الموجية (200-800) نانومتر بعد حدوث التغير اللوني لها. أظهرت رواشح المزارع الفطرية قيم امتصاص مختلفة عند أطوال موجية محددة كما في الجدول (2-4).

جدول (2-4) قيم امتصاصية جسيمات الذهب النانوية المخلقة من الرواشح الفطرية

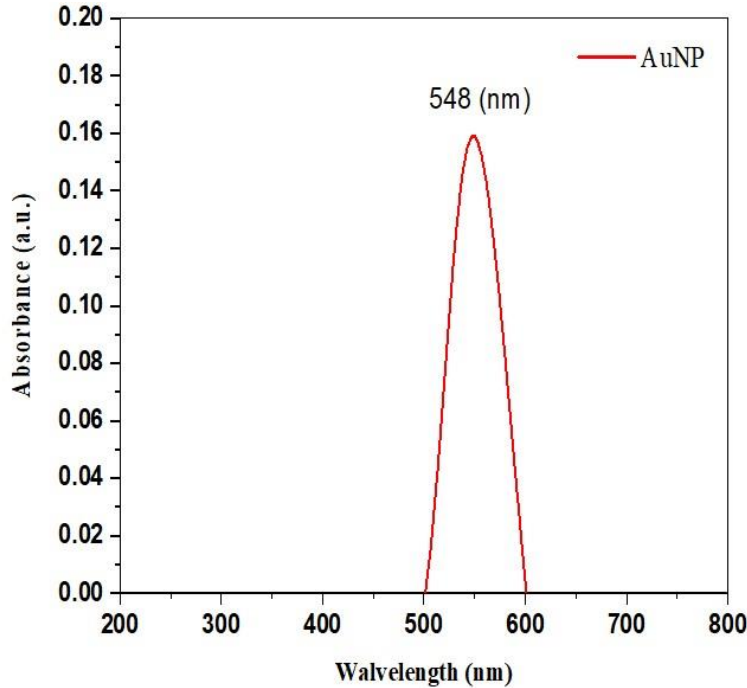
قيد الدراسة:

اسم الفطر	قيمة الطول الموجي (nm)	شدة الامتصاصية $\max_{\lambda}$
<i>A.tubingensis</i> strain Zbf-R10	548	0.16
<i>A.tubingensis</i> strain HRb	610	0.24
<i>A.fumigatus</i> isolate AZ-AR123	569	0.04
<i>P.citrinum</i> isolate MEBPOO16	551	0.5

يعود ظهور حزم الامتصاص في المنطقة المرئية بسبب التذبذب السطحي لبلازمون إلكترونات التوصيل والتي تقترن من خلال السطح مع المجالات الكهرومغناطيسية الخارجية وهذه اهم احد الخصائص البصرية لجسيمات الذهب النانوية التي تختلف عن معدنه السائب (Ogarev *et al.*, 2018; Ghosh and Pal, 2007) لذلك تم فحص تخليق جزيئات الذهب النانوية بإستعمال التحليل الطيفي المرئي للأشعة فوق البنفسجية في المنطقة المرئية (200-800) نانومتر (Basiratina *et al.*, 2021; Shabestarian *et al.*, 2016). تتأثر قيمة الأطوال الموجية بحجم وأشكال الجسيمات النانوية الناتجة فكلما كبر حجم الجسيمات زاد الطول الموجي (Aldrich, 2015). كما اكدت دراسات متعددة على تقارب الطول الموجي لجسيمات الذهب النانوية مع اغلب النتائج التي حصلنا عليها حيث ذكرت

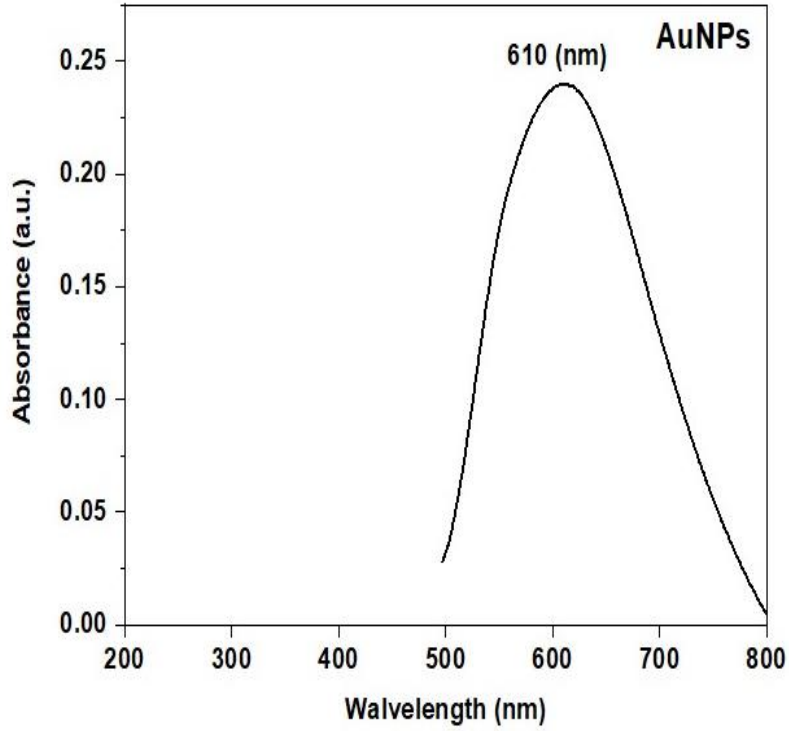


دراسة Thakker وآخرون ، (2013) ان جسيمات الذهب النانوية المصنعة خارج الخلايا من مستخلص فطر *Fusarium oxysporum* تظهر قمة امتصاص 530 نانومتر عند شدة امتصاص 3.5. وفي دراسة أخرى أظهرت نتائج تصنيع جسيمات الذهب النانوية التي اجراها Abu-Tahon وآخرون ،(2020) تمتلك امتصاصية عالية بحدود 545 نانومتر عند درجة حرارة 30 م° خلال دقيقتين من مزج محلول كلوريد الذهب براشح الفطر الخالي من الخلايا بإستعمال الفطر *Aspergillus flavus*. كما اثبتت دراسة اجراها Du وآخرون ،(2011) ان جسيمات الذهب النانوية كان امتصاصيتها للضوء المرئي 545 نانومتر بدرجة 28 م° بعد فترة حضن دقيقة واحدة من فطر *Pencillium spp*. واطهرت جسيمات الذهب النانوية المخلقة من الفطر المستنبت *F.solani* رنين بلازموني عند الطول الموجي 560 نانومتر (Clarance et al., 2020).

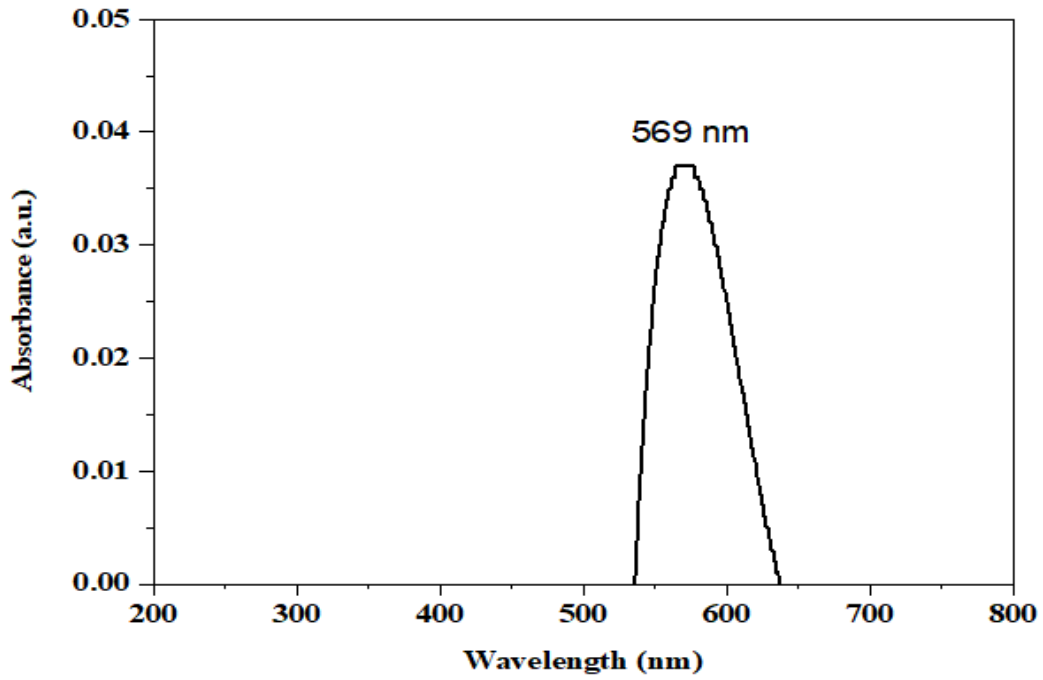


شكل (16) طيف الاشعة فوق البنفسجية لراشح مزرعة الفطر *A.fumigatus* strain

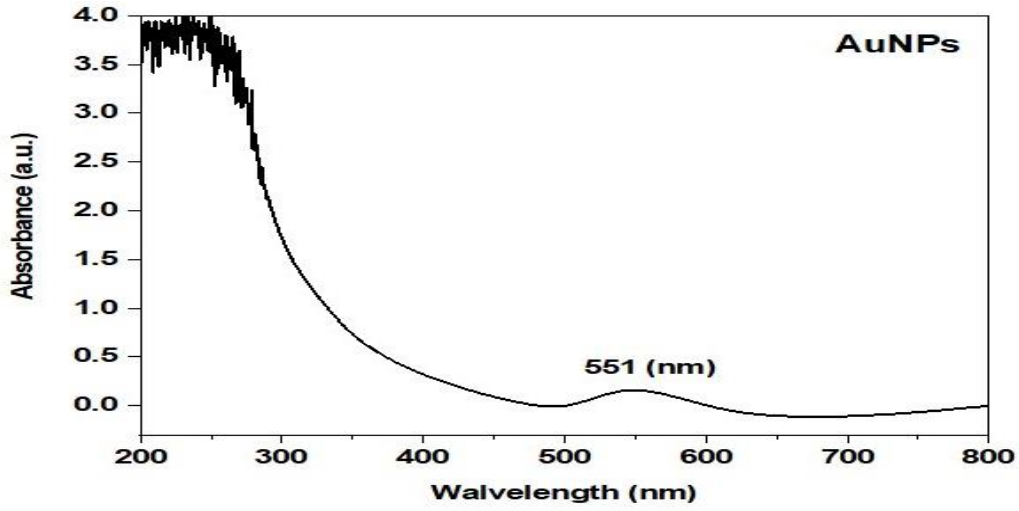
Zbf-R10



شكل (17) طيف الاشعة فوق البنفسجية لراشح الفطر *A.fumigatus* strain Zbf-R10



شكل (18) طيف الاشعة فوق البنفسجية لراشح الفطر *A.fumigatus* strain AZ-AR123



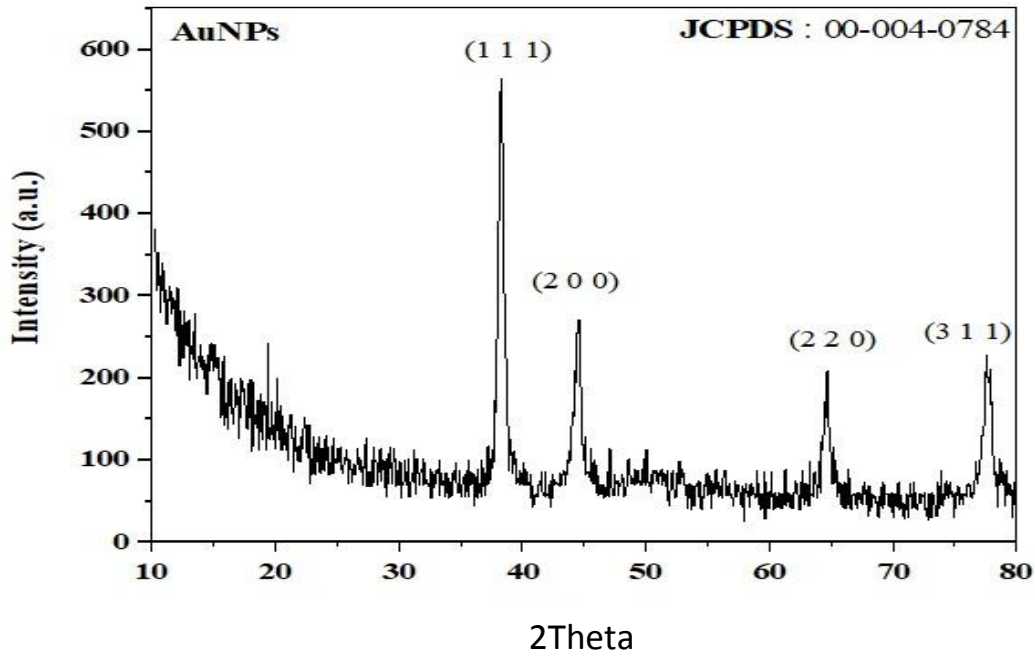
شكل (19) طيف الاشعة فوق البنفسجية لراشح مزرعة الفطر *P. citratum* isolate MEBPOO1

#### 2-3-4- حيود الاشعة السينية XRD

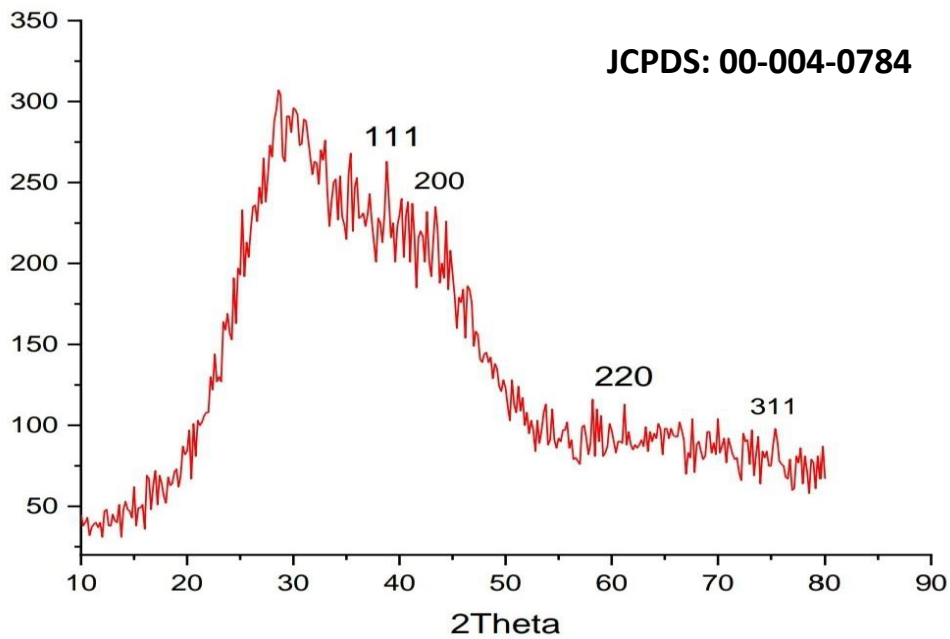
أظهرت نتائج تحليل طيف حيود الأشعة السينية لجسيمات الذهب النانوية المصنعة حيويًا من مستخلص الفطريات المعزولة من النسيج الداخلي للنباتات قيد الدراسة توافق القيم التي تم الحصول عليها مع انعكاسات براغ عند زاوية  $2\theta$  مع ملف بيانات JCPDS رقم (04-0784) كمرجع معياري لجسيمات الذهب النانوية مما يدل على أن الجسيمات الذهبية المخلفة هي ذات طبيعة بلورية تميل إلى امتلاكها بنية مكعبة متمركزة الوجه. إذ خضعت أربع عزلات من هذه الفطريات إلى فحص حيود الأشعة السينية XRD لإثبات التركيب البلوري وإيجاد متوسط حجم الجسيمات النانوية المخلفة بإستعمال معادلة ديبي-

شيرر Debye-Scherrer. إذ أظهر رشح الفطر *A.fumigatus* strain Zbf-R10 أربع انعكاسات براغ (111)، (200)، (220)، (311) للزوايا  $38.2^\circ$ ،  $44.5^\circ$ ،  $64.6^\circ$ ،  $77.6^\circ$  على التوالي شكل (20) وكان معدل حجم الجسيمات النانوية بإستعمال معادلة ديبي شيرر 25.31 نانومتر. كما أظهر شكل (21) حيود الأشعة السينية XRD للجسيمات النانوية المخلفة بواسطة رشح الفطر *A. tubingensis* strain HRb حيث لوحظ التركيب البلوري للقلم عند زوايا  $38.2^\circ$ ،  $44.2^\circ$ ،  $64.5^\circ$ ،  $77.3^\circ$  على التوالي والتي تتقابل مع المستويات البلورية للقلم انعكاسات براغ وهي (111)، (200)، (220)، (311)، وتمتلك هيكل

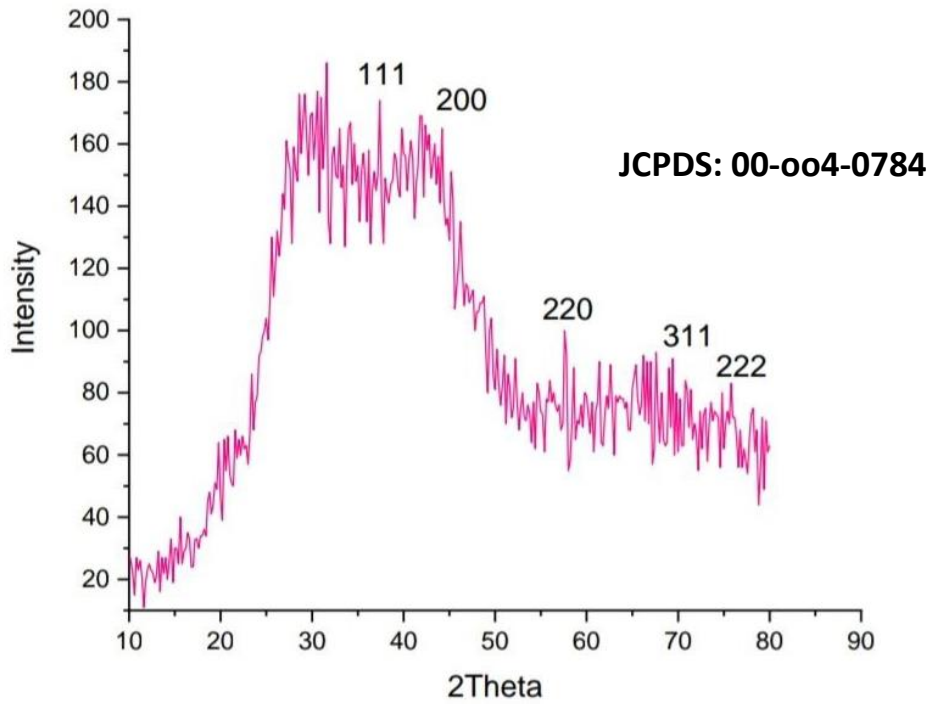
مكعب متمركز الوجه FCC مطابقة الى بطاقة التعريف JCPDS رقم 04-0784 الخاصة بالذهب. وكان معدل حجم الجسيمات النانوية بإستعمال معادل ديبي- شيرر- Debye Scherrer 7.4 نانومتر. اما شكل (22) يوضح حيود الاشعة السينية للفطر *A.fumigatus* isolate AZ-AR123 وشدة الحزمة المنقسمة كدالة لزاوية الحيود ، والقمم شوهدت في الشكل عند زوايا حيود  $38.3^\circ$ ،  $44.1^\circ$ ،  $66.4^\circ$ ،  $77.5^\circ$  على التوالي لهيكل مكعب متمركز الوجه بمعدل حجم بلوري يساوي 14.2 نانومتر عند القمة (111) حسب معادلة شيرر كما شوهدت بعض القمم في جميع العينات قبل زاوية الانعراج البالغة  $37.3^\circ$  والسبب في ذلك هو ان العينات تحتوي أيضا على مكونات عضوية بالإضافة الى جزيئات الذهب (Ashokkumar et al., 2016; Iranmanesh et al., 2020). اما الشكل (23) يكشف عن قمم قوية في جميع انحاء نمط طيف الاشعة السينية XRD لجسيمات الذهب النانوية المخلقة من راشح الفطر *P.citratum* isolate MEBPOO1 من قيم  $2\theta$  تتراوح من 10 درجة الى 80 درجة فكانت قيم الزوايا من  $38.3^\circ$ ،  $44.4^\circ$ ،  $64.2^\circ$ ،  $77.2^\circ$  والتي تتوافق مع انعكاسات براغ (111)، (220)، (200)، (311) وهي المعايير لحيود XRD لهياكل ذهبية بلورية نقية مع هيكل مكعب متمركز الوجه fcc، وبإستعمال معادلة ديبي شيرر- Debye Scherrer كان متوسط احجام البلورات لجزيئات الذهب النانوية في نطاق الذروة (111) كان 16.1 نانومتر. وهذه النتائج تتوافق مع نتائج كثير من الدراسات لجسيمات الذهب النانوية المخلقة من المستخلصات الفطرية منها (Gopinath & Armugam, 2014; Amendola et al., 2017; Manjunath et al., 2017)



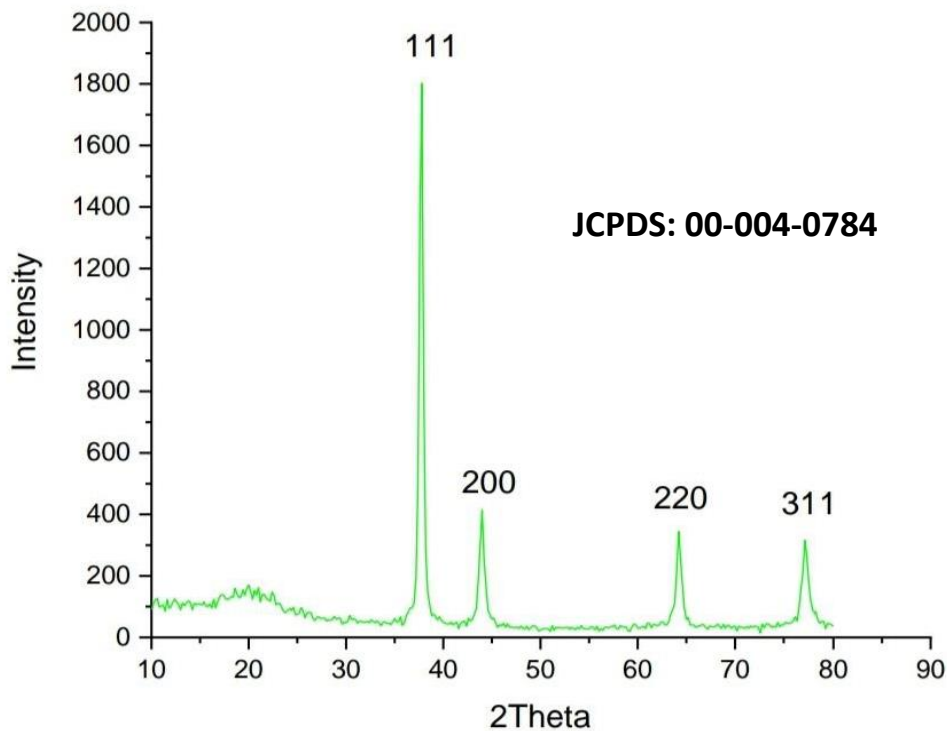
شكل (20) نمط حيود الأشعة السينية لجسيمات الذهب النانوية المخلفة من فطر *A.fumigatus* strain Zbf-R10



شكل (21) نمط حيود الأشعة السينية لجسيمات الذهب النانوية المخلفة من الفطر *A.tubingensis* strain HRB



شكل (22) نمط حيود الأشعة السينية لجسيمات الذهب النانوية المخلفة من الفطر *A.fumigatus* isolate AZ-AR123

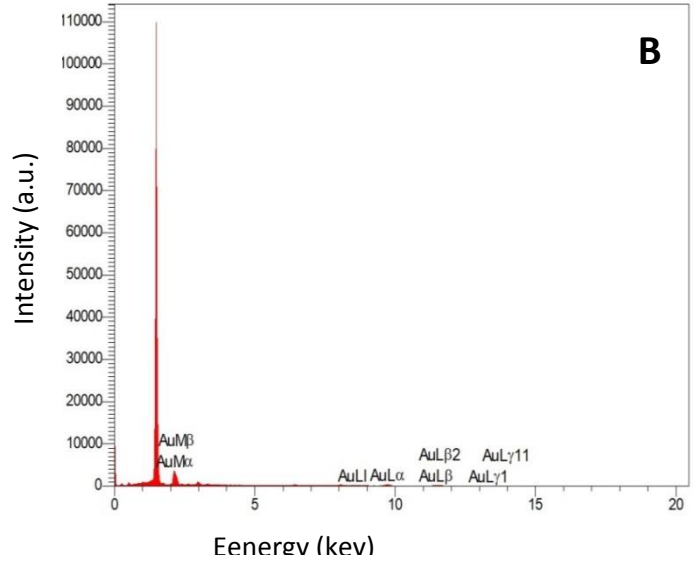
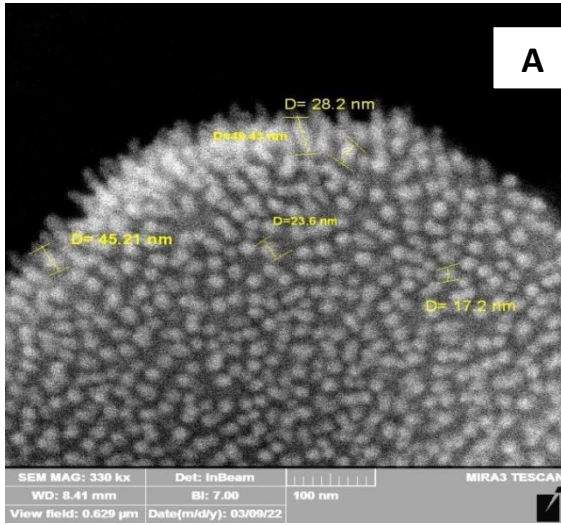


شكل (23) نمط حيود الأشعة السينية لجسيمات الذهب النانوية المخلفة من الفطر *P.citrinum* isolate MEBPOO16

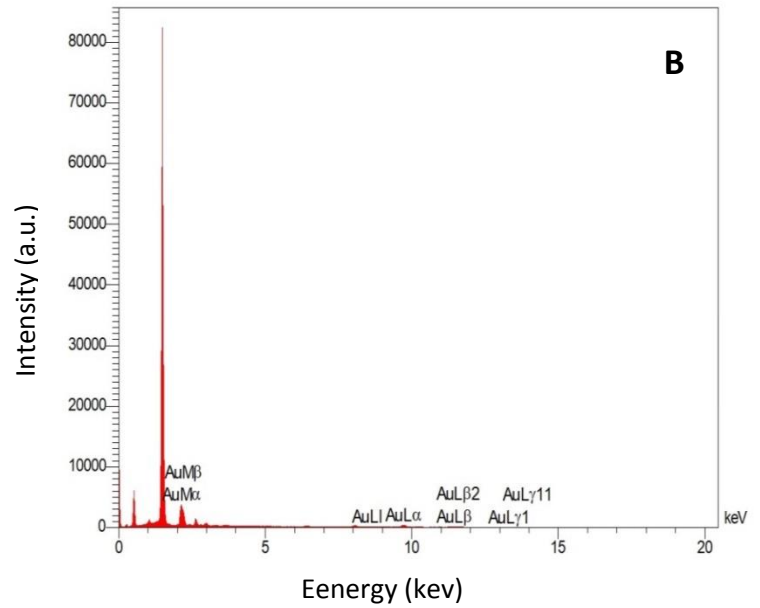
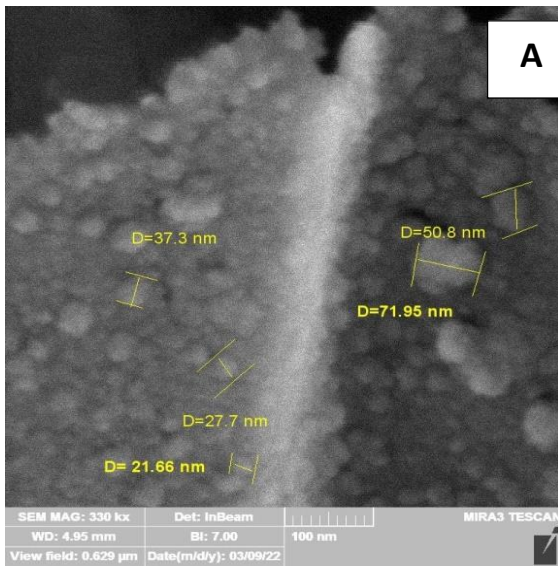
### 3-3-4- المجهر الالكتروني الماسح للانبعثات المجالي Field emission

#### EDX و Scanning Electron Microscope

تم فحص التشكل السطحي والتركيبى والحجم والشكل لجسيمات الذهب النانوية المخلفة من الرواشح المائية المستخلصة لثلاث من الفطريات المعزولة من الانسجة الداخلية للنباتات قيد الدراسة بإستعمال المجهر الالكتروني الماسح. فقد أظهرت غالبية الصور لجسيمات الذهب النانوية المصنعة من راشح الفطر *A.tubingensis* strain HRb لها شكلا كرويا وعلى شريط مقياس يبلغ 100 نانومتر عثر على جسيمات ذهب نانوية بأحجام تتراوح من 17-49.43 نانومتر شكل (24). في حين أظهرت جسيمات الذهب النانوية المخلفة من راشح الفطر *A.fumigatus* isolate AZ-AR123 صور متجانسة من حيث الشكل واحجام تتراوح من 21-71.9 نانومتر كما يمكن رؤية التضاريس السطحية لجسيمات الذهب النانوية المخلفة حيويا واشكالها الكروية الواضحة شكل (25). كما تظهر صور SEM لجسيمات الذهب النانوية المصنعة من راشح الفطر *P.citrinum* isolate MEBPOO16 بعض التجمعات واشكالا كروية تقريبا لجسيمات الذهب النانوية وتتراوح الاحجام ما بين 30-40 نانومتر شكل (26). و يظهر تحليل الأشعة السينية المشتتة للطاقة EDX عن قمم امتصاص بصرية حادة ومكثفة تكشف عن تأكيد وجود عنصر الذهب وذلك من خلال اظهار اقوى إشارة بصرية إذ تظهر البلورات النانوية الذهبية المعدنية قمة امتصاص بصرية قوية تصل الى 2.15 كيلو فولت وهو امر نموذجي للامتصاص لبلورات الذهب النانوية (Ramezani et al., 2008).

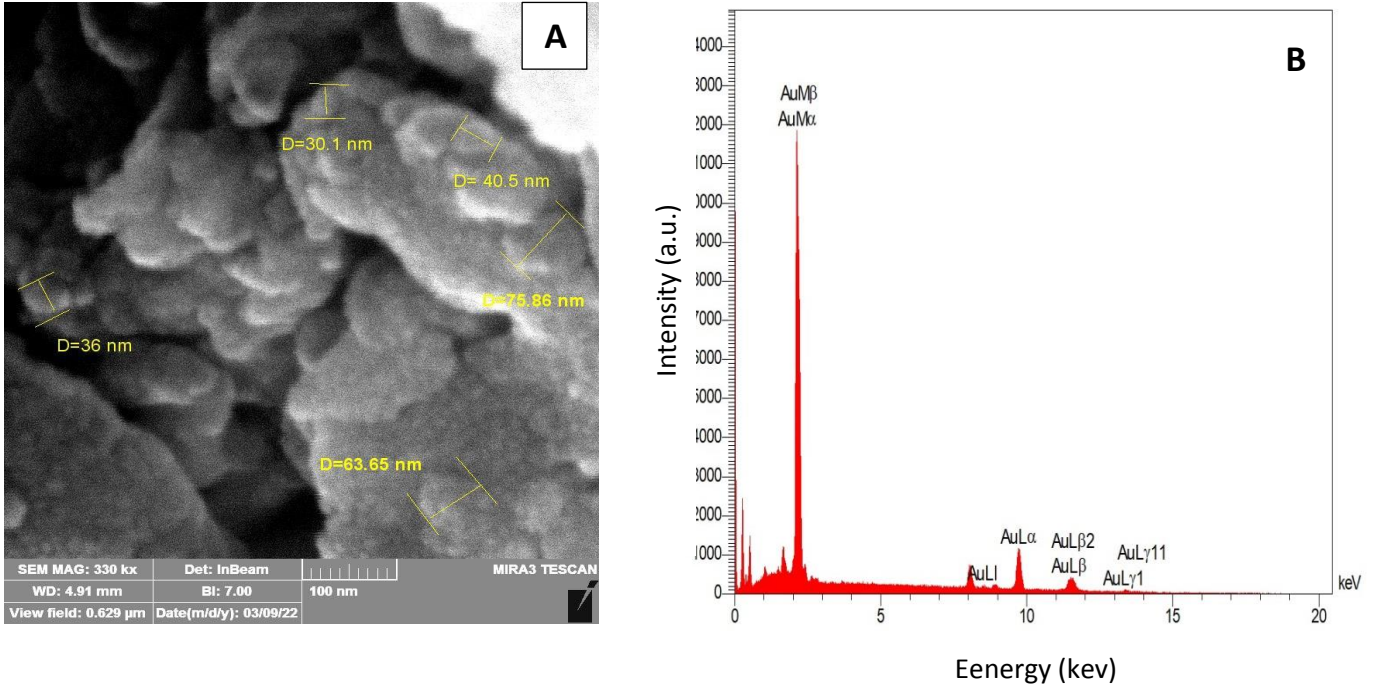


شكل ( 24 ) صور المجهر الالكتروني FESEM و B نمط EDX لجسيمات الذهب النانوية المخلفة من راسح الفطر *A. tubingensis* strain HRb



شكل ( 25 ) صور المجهر الالكتروني FESEM و B نمط EDX لجسيمات الذهب النانوية المخلفة من راسح الفطر *A. fumigatus* isolate AZ-AR123



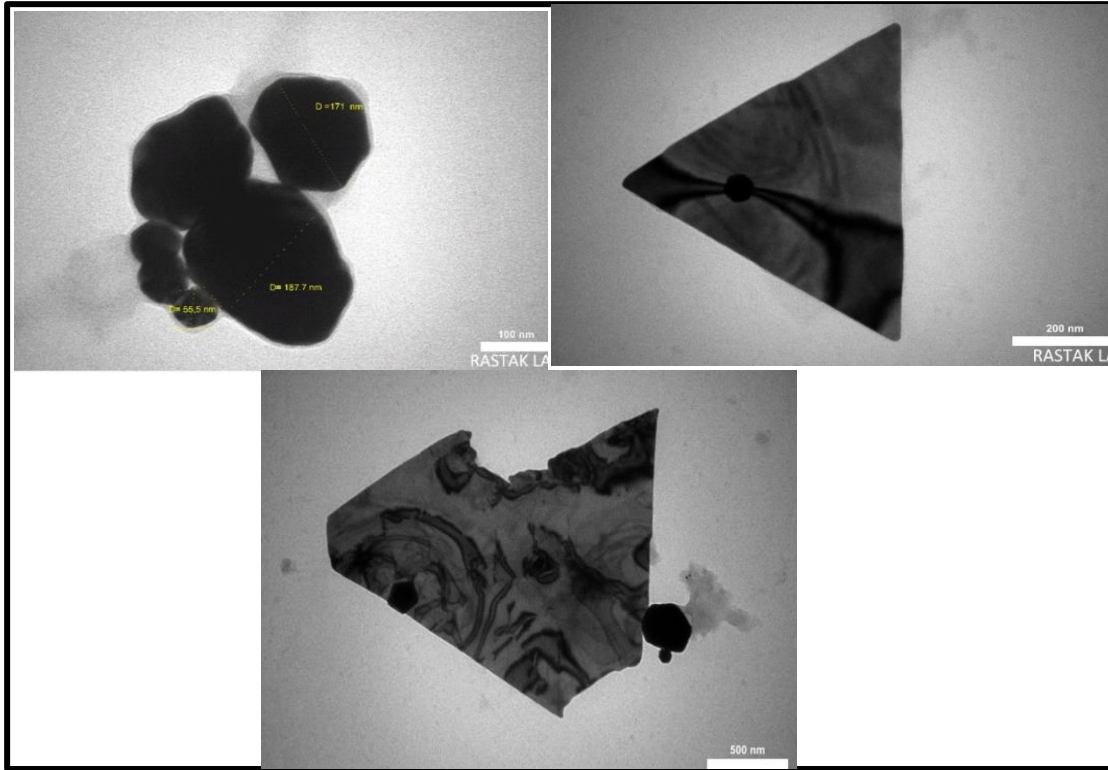


شكل (26) A صور المجهر الالكتروني FESEM و B نمط EDX لجسيمات الذهب النانوية المخلفة من راشح الفطر *P.citrinum* isolate MEBPOO16

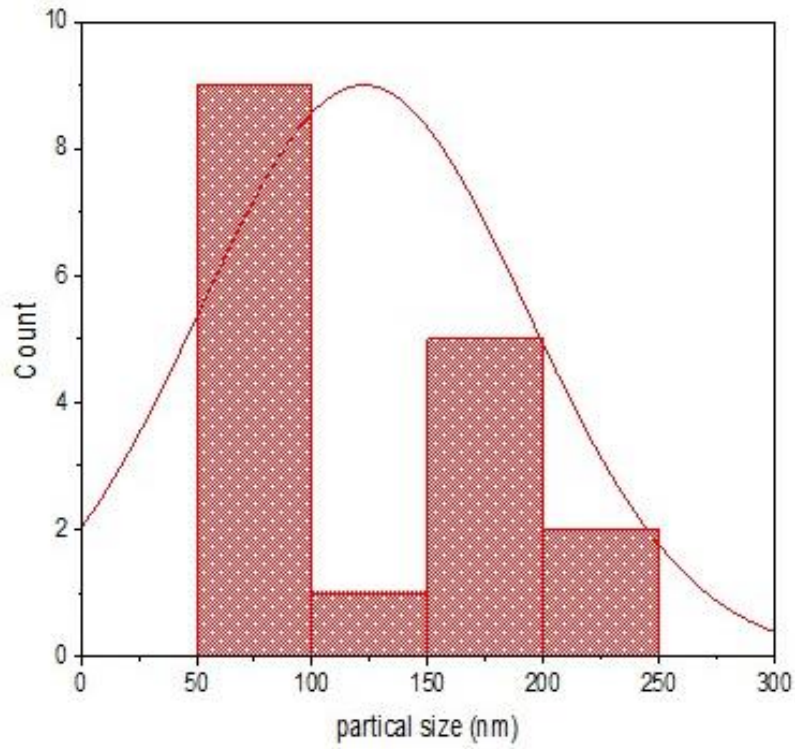
#### 4-3-4- المجهر الالكتروني النافذ Transmission Electron Microscope

تم استخدام المجهر الالكتروني النافذ عالي الدقة TEM لغرض تحديد شكل وحجم جسيمات الذهب النانوية المخلفة حيويًا من الرواشح الفطرية قيد الدراسة، إذ لوحظ في شكل (27) جسيمات الذهب النانوية المصنعة من راشح الفطر *A.tubingensis* strain HRb ذات احجام كبيرة تتراوح من 55-187 نانومتر وهذا يتوافق مع نتيجة طيف الاشعة البنفسجية UV كلما زادت قيمة الطول الموجي يشير الى كبر حجم الجسيمات النانوية (Haiss *et al.*, 2007)، إذ كانت الجسيمات الأصغر ذات الحجم 55 نانومتر ذات اشكال كروية ومثلثة تقريبا في حين الجسيمات الكبيرة التي يبلغ حجمها 187 نانومتر تعرض مجموعة من الاشكال الهندسية بما في ذلك المثلثات والمثلثات المقطوعة والخماسيات والسداسيات وهذه الاشكال تعتبر اشكالا هندسية نموذجية لجسيمات الذهب النانوية

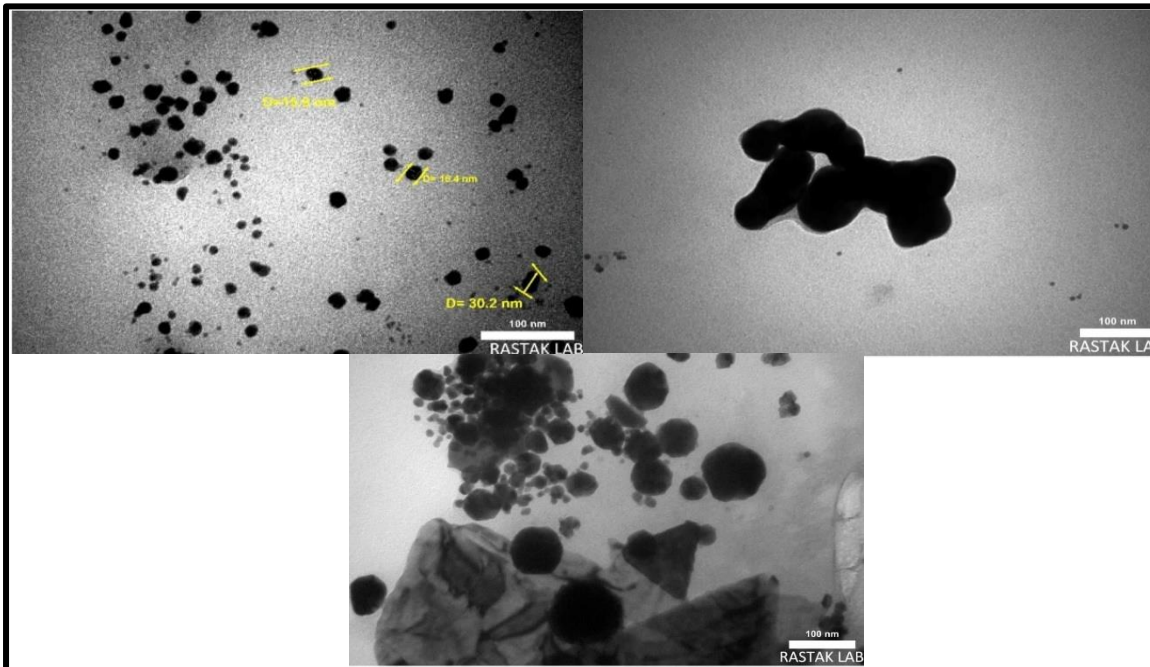
(Jadoun *et al.*, 2021) وكان متوسط حجم هذه الجسيمات 122 نانومتر تم حسابه من مخطط توزيع المدرج التكراري histogram distribution شكل (28). كما كانت جسيمات الذهب النانوية المخلفة من راشح الفطر *A.fumigatus* isolate AZ-AR123 كروية الشكل وتتراوح احجامها من 15-30 نانومتر بمعدل حجم 14.5 نانومتر شكل (29) و (30). اما راشح الفطر *P.citrinum* isolate MEBPOO16 أظهرت صور المجهر الالكتروني جسيمات ذات احجام تتراوح من 12-40 نانومتر وكانت الاحجام الصغيرة للجسيمات بحدود 16.2 نانومتر ذات اشكالا كروية ومثلثة نسبيا اما الجسيمات ذات الحجم 33 نانومتر ذات اشكالا سداسية شكل (31) وكان متوسط حجم الجسيمات 12.5 نانومتر شكل (32). في حين كانت احجام جسيمات الذهب النانوية المصنعة من راشح الفطر *A.fumigatus* strain Zbf-R10 تتراوح من 13-40 نانومتر ذات اشكالا كروية مع وجود بعض التجمعات للجسيمات النانوية شكل (33) وكان متوسط حجم جسيماتها 23 نانومتر شكل (34). يعتبر تحديد حجم وشكل جسيمات الذهب النانوية مهم لأنه يحدد اغلب الخصائص الفيزيائية والكيميائية مثل الرنين البلازموني والفعالية المايكروبية والتحفيز وغيرها (Ramalingam, 2019; Cheeseman *et al.*, 2020).



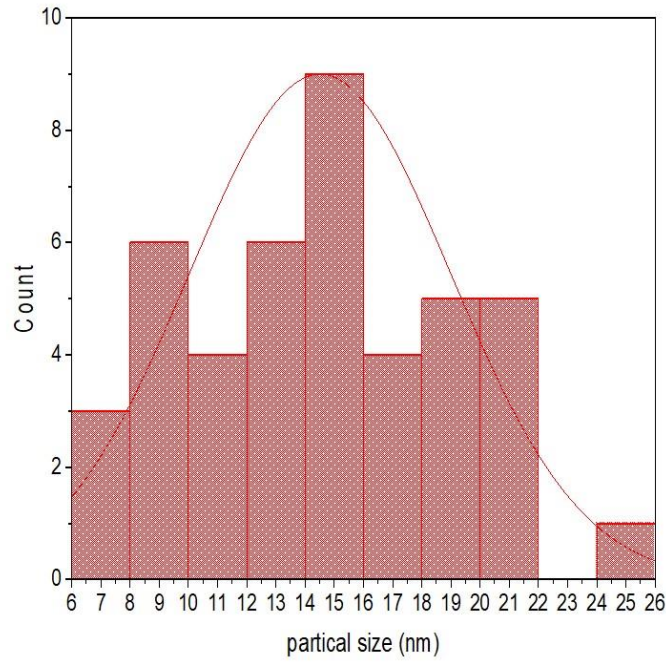
شكل (27) صور TEM لجسيمات الذهب النانوية لراشح الفطر *A.tubingensis* strain HRb



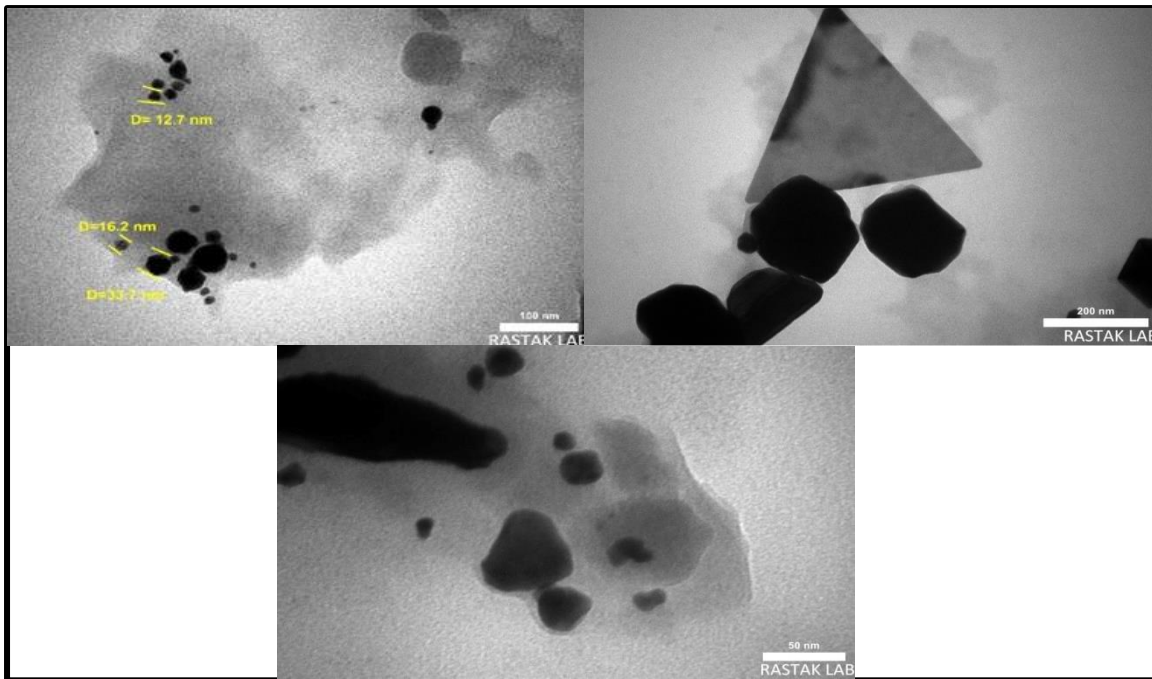
شكل (28) توزيع الحجم لجسيمات الذهب النانوية لراشح الفطر *A. tubingensis* strain HRb



شكل (29) صور TEM لجسيمات الذهب النانوية لراشح الفطر *A. fumigatus* isolate AZ-AR123

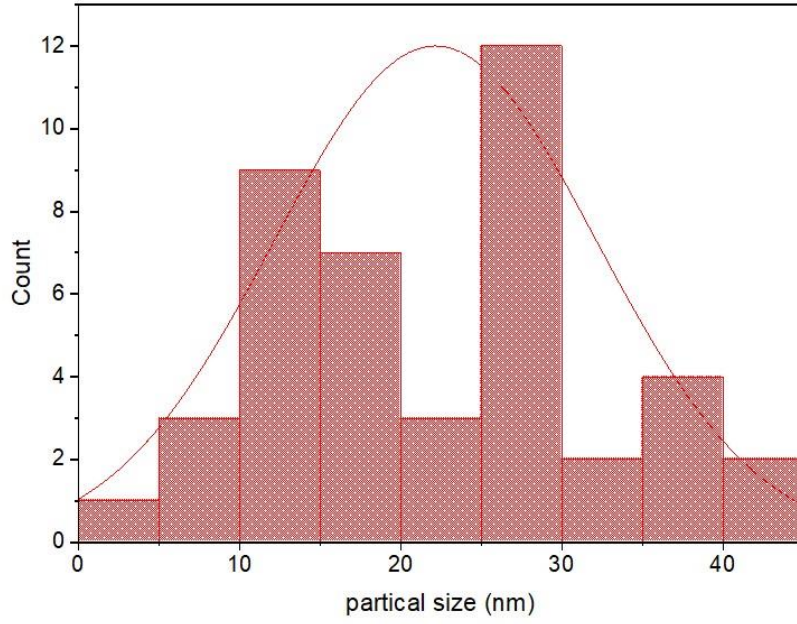


شكل (30) توزيع حجم جسيمات الذهب النانوية لراشح الفطر *A.fumigatus* isolate AZ-AR123

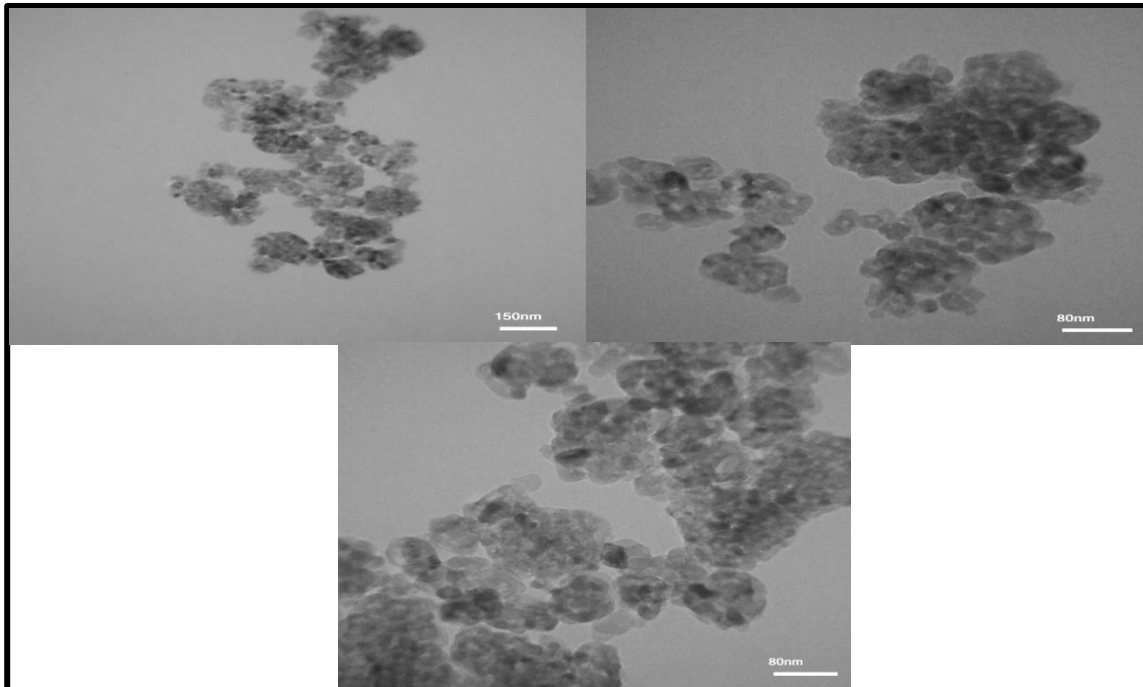


شكل (31) صور TEM لجسيمات الذهب النانوية لراشح الفطر *P.citrinum* isolate MEBPOO16

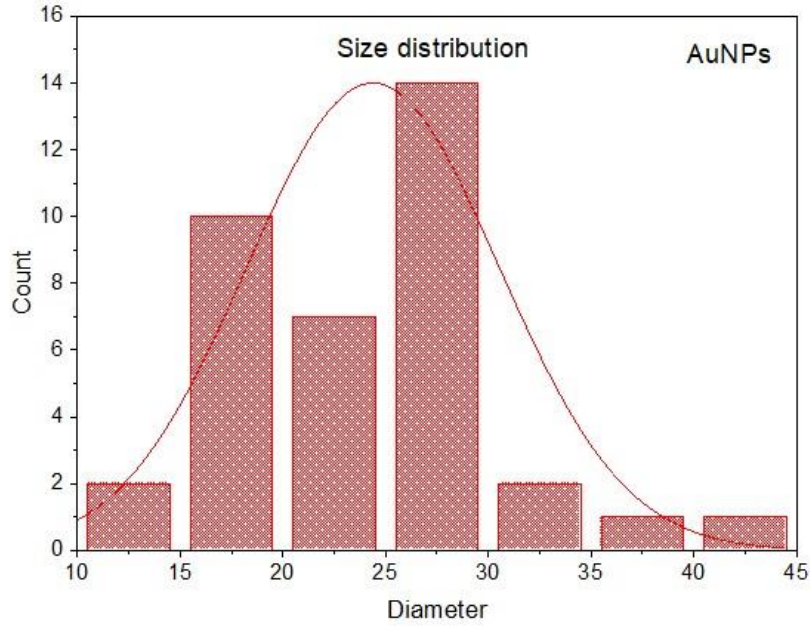




شكل (32) توزيع الحجم لجسيمات الذهب النانوية لراشح الفطر *P.citrinum* isolate  
MEBPOO16



شكل (33) صور TEM لجسيمات الذهب النانوية لراشح الفطر *A.fumigatus* strain  
Zbf-R10

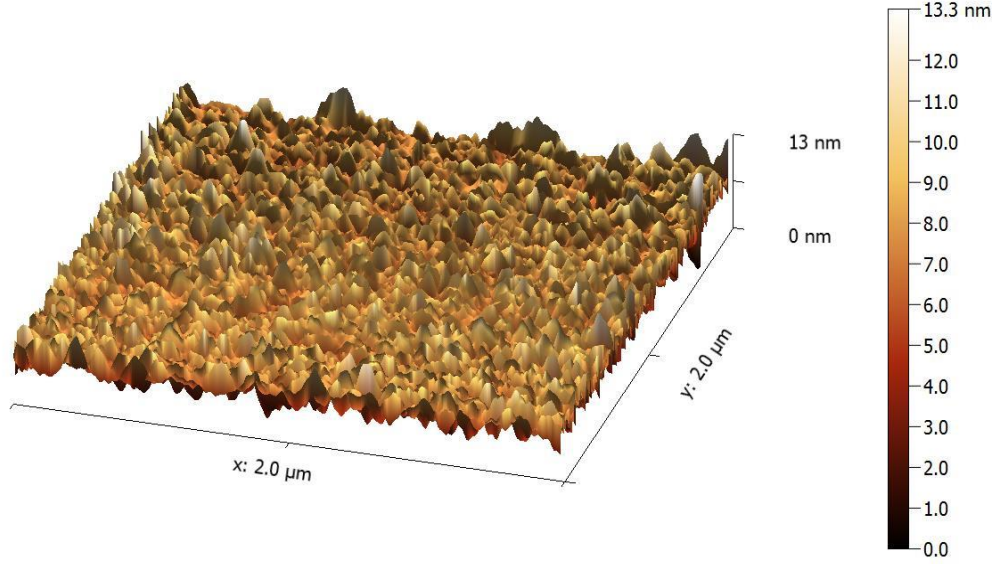


شكل (34) توزيع حجم جسيمات الذهب النانوية لراشح الفطر *A.fumigatus* strain Zbf- R10

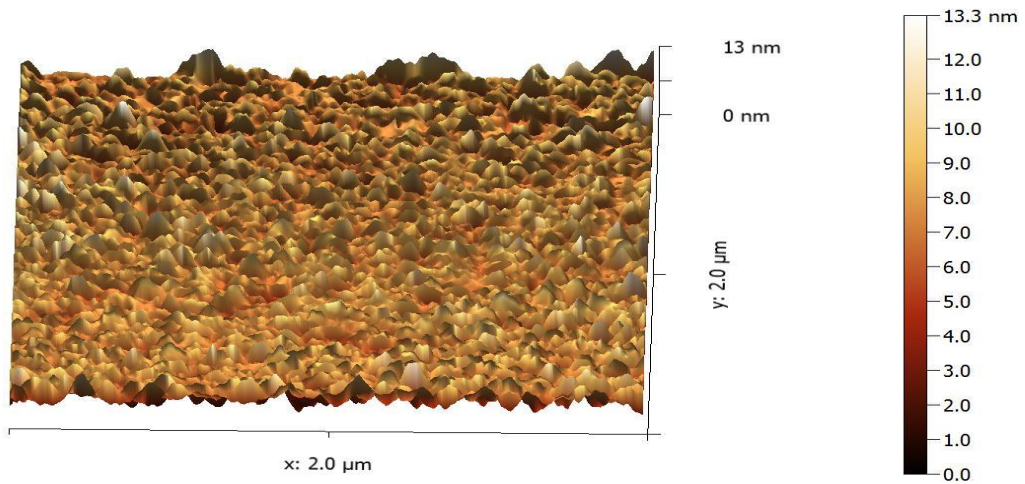
#### 4-3-5- مجهر القوى الذرية Atomic force microscope

تستخدم تقنية الفحص المجهرى للقوى الذرية AFM لمعرفة وفهم الاشكال والتضاريس والخشونة والتنوءات للأسطح من خلال هذا الفحص إذ يتم تمثيل العديد من الجسيمات والجزئيات بارتفاعات وبنية السطح مما يجعل من الممكن اجراء قياسات كمية لميزات السطح والوصول الى صور ثنائية وثلاثية الابعاد وتحليلها من جهات مختلفة (Salman & Abd, 2021). إذ كشفت صور المجهر الالكتروني AFM لجسيمات الذهب النانوية المخلفة من راشح الفطر *A.tubingensis* strain HRb صوراً ثلاثية الابعاد وثنائية الابعاد وانها كروية الشكل وذات احجام اقل من 100 نانومتر وهو ما يتوافق مع نتائج FESEM وتكون الجسيمات النانوية موزعة بشكل موحد الارتفاع حوالي 13 نانومتر شكل (35) و (36). اما راشح الفطر *A.fumigatus* isolate AZ-AR123 نلاحظ صور ثلاثية وثنائية الابعاد لجسيمات الذهب النانوية المخلفة إذ توضح هذه الصورة توزيع غير متكامل ومتعدد التشتت مع توزيع موحد لارتفاع الجسيمات النانوية حوالي 8.9 نانومتر وبمتوسط حجم حوالي 18.85 نانومتر شكل (37) و(38). كما يعرض الشكل (39) و(40)

صور طوبوغرافية ثلاثية الابعاد وثنائية الابعاد لسطح جسيمات الذهب النانوية المخلفة من راشح الفطر *P.citrinum* isolate MEBPOO16 بسمك 12 نانومتر وبمتوسط توزيع حجم جسيمات الذهب النانوية 43.48 نانومتر في مخطط توزيع التراكم الحبيبي وبأحجام تتراوح من 40-60 نانومتر .

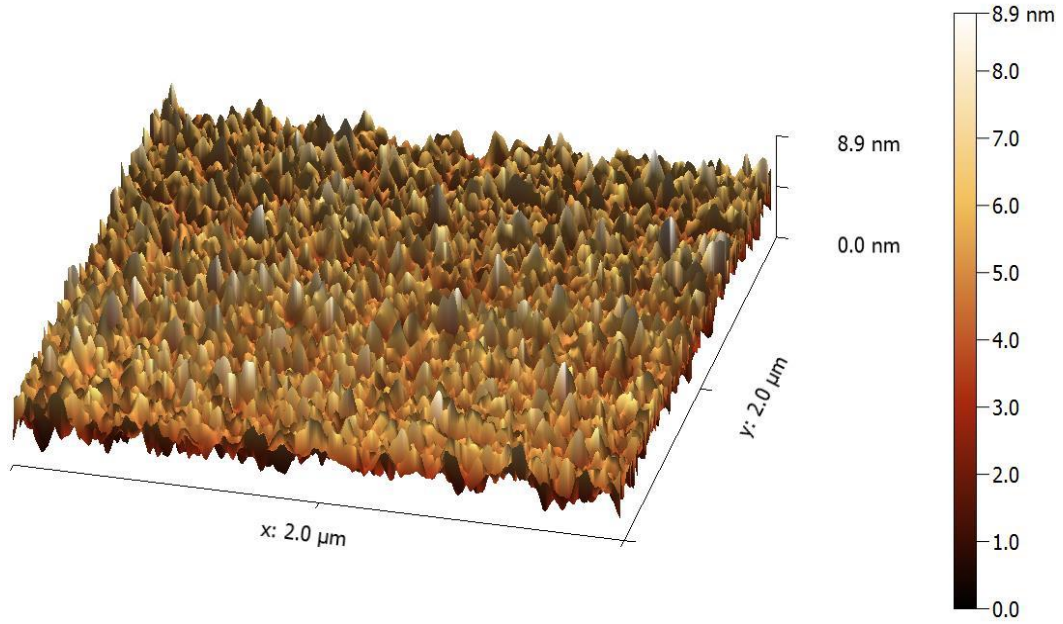


شكل (35) صورة ثلاثية الابعاد لجسيمات الذهب النانوية المخلفة من راشح الفطر *A.tubingensis* strain HRb

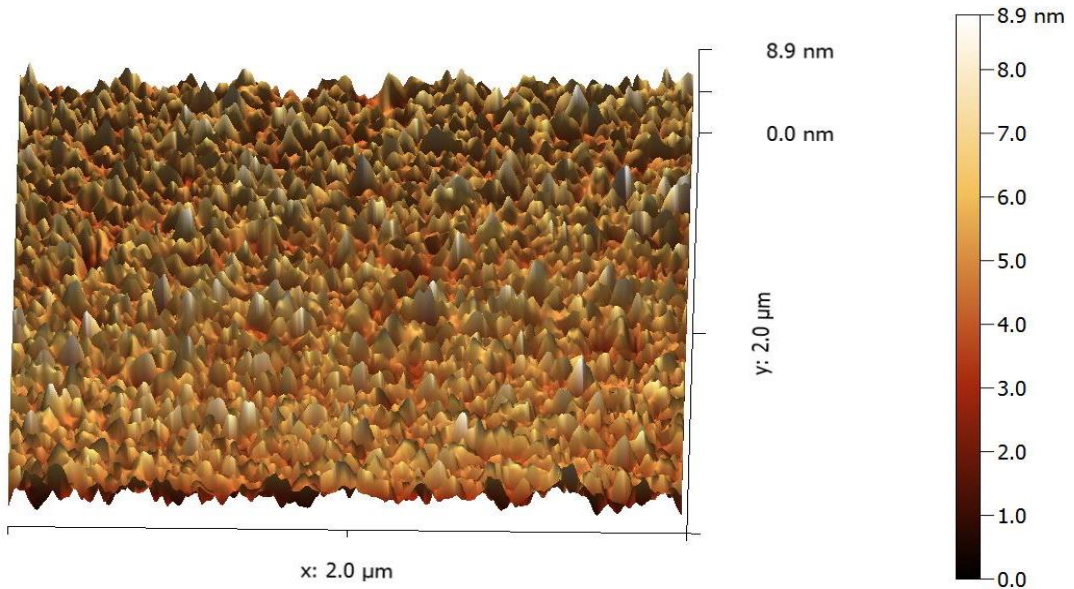


شكل (36) صورة ثنائية الابعاد لجسيمات الذهب النانوية للفطر *A.tubingensis* strain HRb



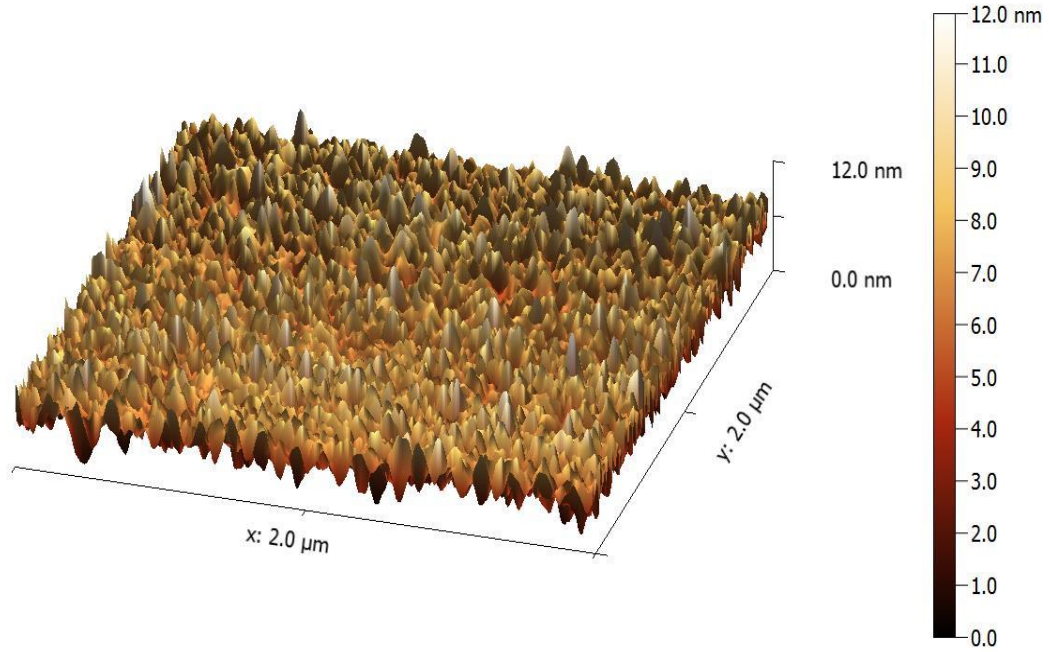


شكل (37) صورة ثلاثية الابعاد لراشح الفطر *A.fumigatus* isolate AZ-AR123

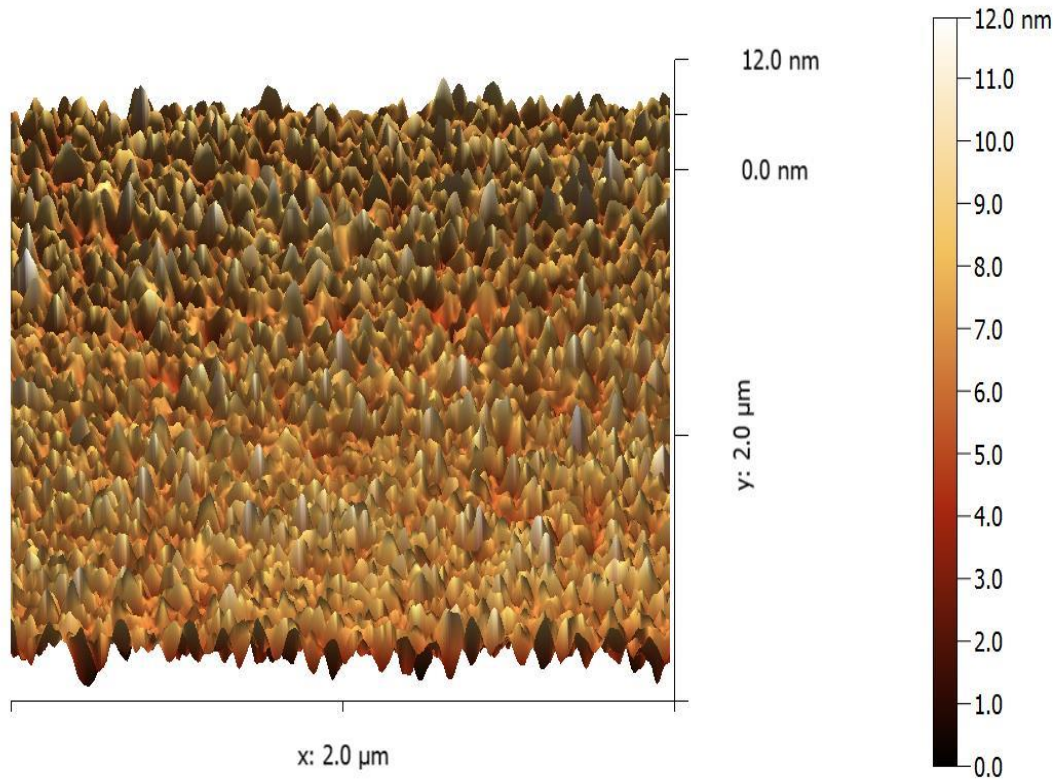


شكل (38) صورة ثنائية الابعاد لجسيمات الذهب النانوية للفطر *A.fumigatus* isolate AZ-AR123





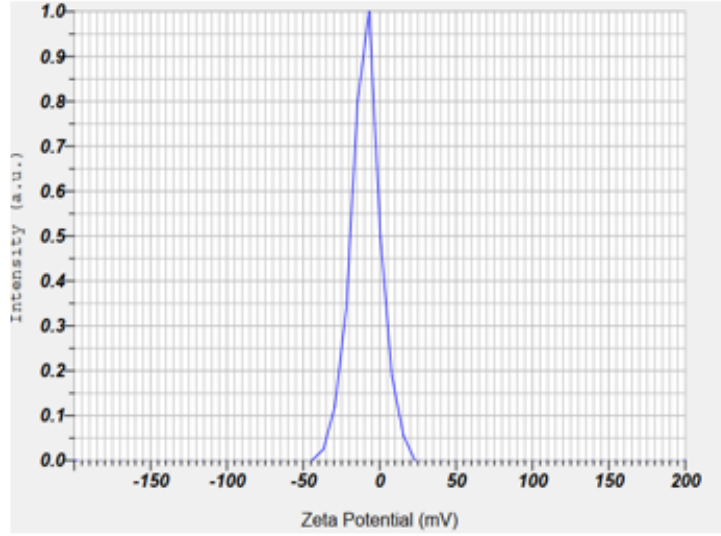
شكل (39) صورة ثلاثية الابعاد لراشح الفطر *P.citrinum* isolate MEBPOO16



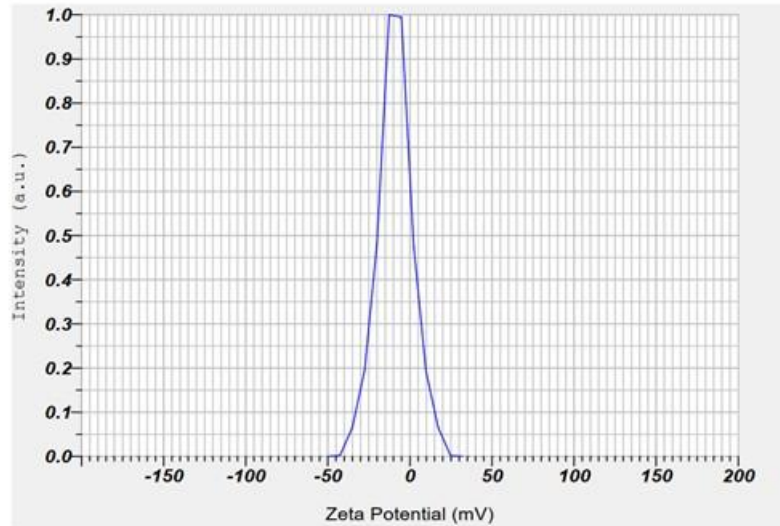
شكل (40) صورة ثنائية الابعاد لراشح الفطر *P.citrinum* isolate MEBPOO16

## 4-3-6- جهد زيتا

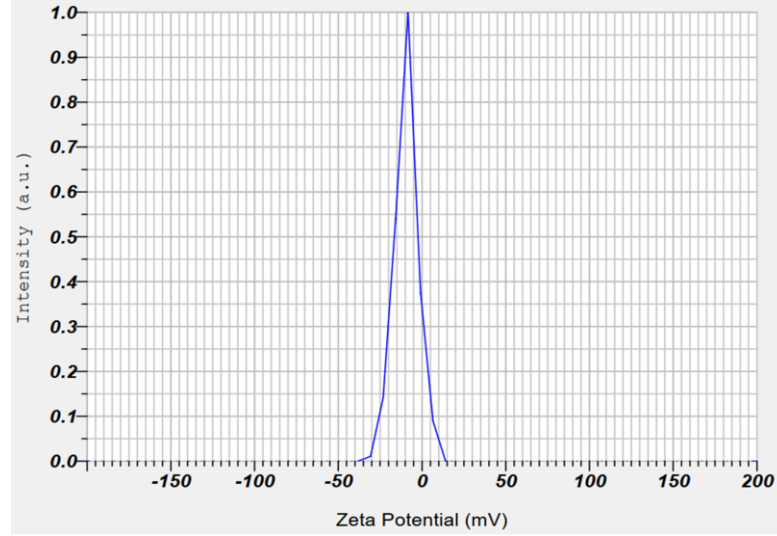
تم استخدام قياس جهد زيتا لمعرفة مدى استقرارية جسيمات الذهب النانوية المخلفة حيويًا من الرواشح الفطرية قيد الدراسة، حيث يعطي جهد زيتا مؤشر لاستقرارية الجسيمات النانوية داخل محلولها الغروي (Bhattacharjee, 2016). تم تسجيل شحنة سطحية سالبة بإستعمال جهد زيتا لجسيمات الذهب النانوية المخلفة من راشح الفطر *A.tubingensis* strain HRb بقيمة -9.1 مللي فولت كما في الشكل (41) إذ تشير هذه القيمة السالبة الى جودة جيدة فيما يتعلق بتجمع الجسيمات النانوية ويرجع سبب ذلك ان جسيمات الذهب النانوية محاطة بجزيئات عضوية ذات قيمة سالبة مما يقلل التجاذب بين جسيمات الذهب النانوية ويمنع التجمع وبالنهاية يزيد من استقرارية الـ AuNPs (Owaid et al., 2019). كما يوضح الشكل (42) قيمة محتملة لجهد زيتا عند -8.9 مللي فولت لجسيمات الذهب النانوية المخلفة من راشح الفطر *A.fumigatus* isolate AZ-AR123 تشير هذه النتيجة الى ان سطح الجسيمات النانوية سالبة الشحنة (Deepak et al., 2018) والتي تشكل قوة طرد repelling force تساهم في استقرار جسيمات الذهب النانوية المخلفة بمرور الوقت (Galucio et al., 2022). في حين أظهرت جسيمات الذهب النانوية المخلفة من راشح الفطر *P.citrinum* isolate MEBPOO16 إمكانات جهد زيتا عند -9.4 مللي فولت مع ذروة واحدة حادة شكل (43). قد تكون المواد البوليفينولية التي يطلقها الفطر هي سبب الشحنة السالبة لجسيمات الذهب النانوية وهذا الجهد السالب يفرض التباعد بين الجسيمات النانوية (Lee et al., 2020) مما يشير ان الجسيمات ليس لها الفة التجمع. كما ان القيمة المنخفضة لجهد زيتا يشير الى زيادة حجم الجسيمات النانوية المخلفة حيويًا (Khan et al., 2020).



شكل (41) جهد زيتا لجسيمات الذهب النانوية لراشح الفطر *A. tubingensis* strain HR



شكل (42) جهد زيتا لجسيمات الذهب النانوية لراشح الفطر *A. fumigatus* isolate AZ-AR123



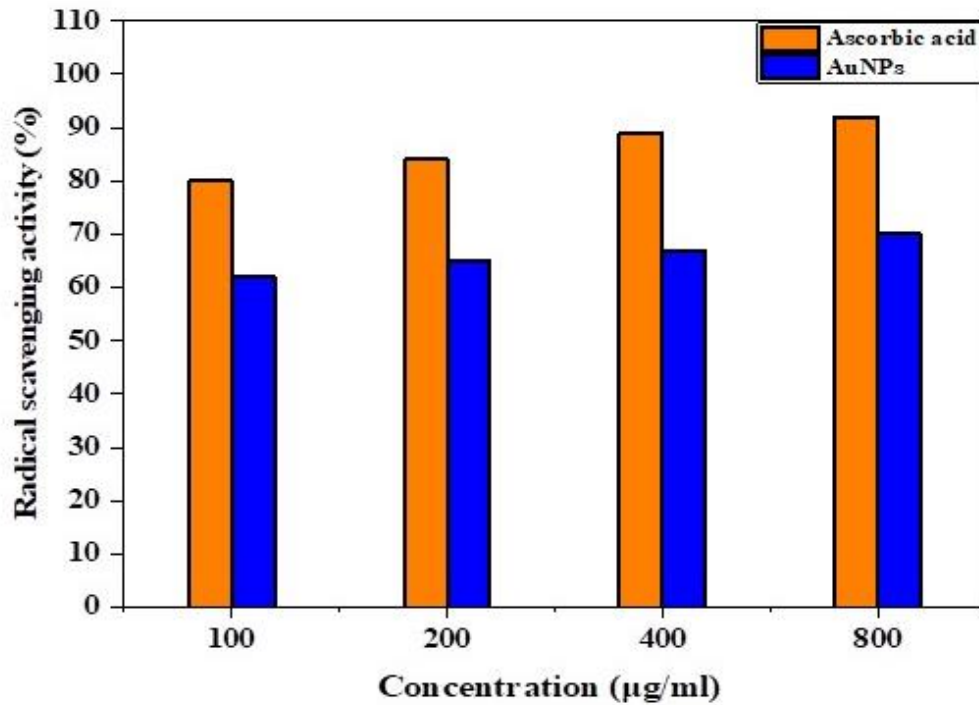
شكل (43) جهد زيتا لجسيمات الذهب النانوية لراشح الفطر *P.citrinum* isolate  
MEBPOO16

#### 4-4- تأثير جسيمات الذهب النانوية المخلفة كمضادات اكسدة

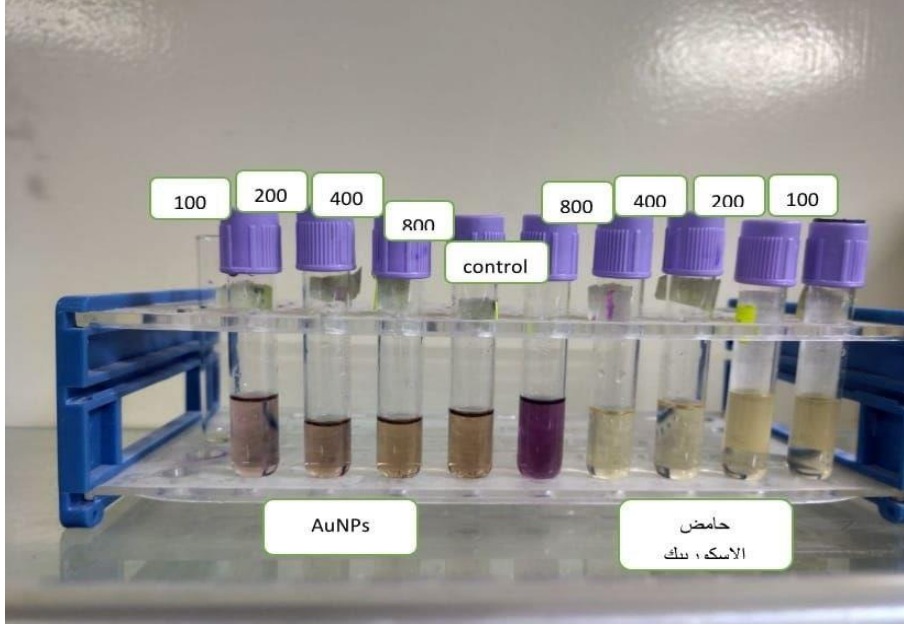
تم استخدام الجسيمات النانوية للذهب المخلفة من راشح الفطر *A.fumigatus* strain Zbf-R10 في تقييم النشاط المضاد للأكسدة لها بإستعمال مقياس الكسح الجذري لمركب (DPPH) حيث تم إيجاد الكسح الجذري اعتمادا على امتصاصية المحاليل المحضرة لكل من جسيمات الذهب النانوية وحامض الاسكوربيك بتراكيز (100,200,400,800) مايكروغرام لكل مل عند طول موجي 517 نانومتر، أظهرت النتائج ان اعلى نسبة لكسح الجذر الحر DPPH لجسيمات الذهب النانوية %71 عند تركيز 800 مايكرو غرام/مل وكانت اعلى نسبة لحامض الاسكوربيك %91 عند نفس التركيز بينما كانت اقل فعالية للكسح الجذري عند تركيز 100 مايكرو غرام /مل شكل (44) وان تغير اللون من الارجواني الى الأصفر دليل على اختزال كل من جسيمات الذهب النانوية المخلفة حيويًا للجذر الحر DPPH شكل (45) وتشير النتائج ان نشاط جسيمات الذهب النانوية كمضاد اكسدة يعتمد على التركيز وهذه النتيجة تتوافق مع دراسة Manjunath وآخرون (2017)، التي بينت قدرة جسيمات الذهب النانوية المخلفة من الفطر *Pencilium*

*citrinum* المعزول من النباتات البحرية على الكسح الجذري وتمتلك فعالية معتمدة على التركيز. وايضا تتوافق مع دراسة Sanna وآخرون (2014).

ان قدرة جسيمات الذهب النانوية المصنعة حيويًا على كسح الجذر الحر DPPH أو التقليل من نشاطه يتم بواسطة اختزاله ويحدث الاختزال نتيجة منح جسيمات الذهب النانوية أو حامض الاسكوريك الالكترون أو الهيدروجين للجذر الحر DPPH ويتحول الى مركب مستقر غير جذري وثابت نتيجة تقبله الالكترون أو الهيدروجين، إذ يحصل تفاعل بين DPPH ومضادات الاكسدة يؤدي الى التنظيف الجذري نتيجة التبرع بالهيدروجين أو الالكترون وعنده يتغير اللون من الارجواني الى الأصفر (Jabir *et al.*, 2019). اثبتت دراسات عديدة ان عوامل التغليف التي تحيط بجسيمات الذهب النانوية المخلقة حيويًا بإستعمال الفطريات الداخلية مسؤولة عن زيادة نشاط الكسح الجذري لها وتعمل كمضادات اكسدة لاحتواءها على مجموعة الأمين (Siddiqi & Husen, 2017; Balakumaran *et al.*, 2022).



شكل (44) النسبة المئوية للكسح الجذري لحامض الاسكوريك ولجسيمات الذهب النانوية المخلقة حيويًا من راسح الفطر *A.fumigatus* isolate Zbf-R-10



شكل (45) فعالية المضادة للاكسدة بطريق DPPH لحامض الاسكorbك وجسيمات الذهب النانوية المخلفة من راسح الفطر *A.fumigatus* isolate Zbf-R-10

#### 5-4- الفعالية المضادة للسرطان لجسيمات الذهب النانوية المخلفة حيويًا ضد

##### خط سرطان الثدي MCF-7:

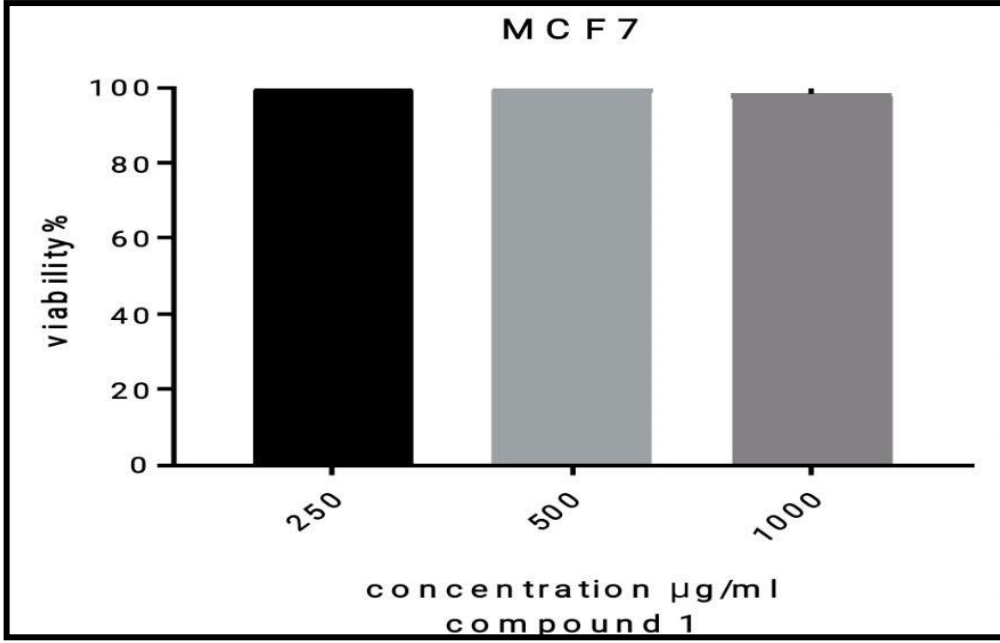
استخدمت طريقة MTT لتقييم النشاط المضادة للأورام لجسيمات الذهب النانوية المخلفة حيويًا من الرواشح الفطرية *A.tubingensis* strain HRb (عينة 1) و *P.citrinum* isolate و *A.fumigatus* isolate AZ-RA123 (عينة 2) و MEBPOO16 (عينة 3) على خط سرطان الثدي البشري MCF-7. تم استخدام ثلاثة تراكيز لجسيمات الذهب النانوية لكل عينة (250,500,1000) مايكرو غرام / مل وبأربعة مكررات لكل تركيز وعند طول موجي 620 نانومتر وكذلك الكونترول (خلايا +وسط). إذ أظهرت النتائج ان العينة 1 والعينة 2 من جسيمات الذهب النانوية لم تظهر انخفاضًا واضحًا لحيوية الخلايا السرطانية بالتراكيز المذكورة على خط سرطان الثدي MCF-7 بعد 72 ساعة من الحضارة وعند 37 م° اما العينة 3 فقد أظهرت انخفاض حيوية الخلايا السرطانية عند التركيز 500 و 1000 مايكرو غرام / مل ولم تظهر انخفاضًا للحيوية واضح للخلايا عند التركيز 250 مايكرو غرام / مل وكانت النسبة المئوية لحيوية الخلايا التي تم تعريضها لجسيمات الذهب النانوية للعينتين 1 للتركيز الثلاثة هي (98.3,99.8,99.9) شكل (46)

وكانت النسبة المئوية لحيوية الخلايا السرطانية التي تم تعريضها لجسيمات الذهب النانوية للعينات 2 للتراكيز (1000,500,250) مايكرو غرام /مل هو (99.5,99.4,95.7) على التوالي شكل (47) اما العينة 3 فقد أظهرت انخفاضاً قليلاً لحيوية الخلايا بنسبة 30% تقريباً عند تركيز 500 مايكرو غرام / مل اما عند التركيز 1000 مايكرو غرام /مل فقد أظهرت انخفاضاً لحيوية الخلايا بنسبة 35% إذ كانت نسبة حيوية الخلايا عند تركيز 500 (70%) وعند التركيز 1000 مايكرو غرام / مل (65%) شكل (48). وأكدت نتائج التحليل الاحصائي عدم وجود فروق معنوية بين تراكيز العينة الأولى والثانية بينما توجد فروق معنوية بين تراكيز العينة 3 وان التراكيزين 1000 مايكرو غرام /مل والتركيز 500 مايكرو غرام/مل هما التراكيزان المثبطان للخلايا السرطانية.

ان الأهمية المتزايدة لإيجاد مواد ومركبات بديلة للأدوية الكيماوية المستخدمة في العلاج للأمراض بما فيها السرطان أصبحت ضرورة ملحة في الوقت الحاضر لاسيما ان اغلب العلاجات التقليدية هي علاجات جهازية لا تتركز داخل الخلايا السرطانية. ترتبط الخصائص العلاجية لجسيمات الذهب النانوية بأشكال واحجام والتضاريس الهندسية لها (Lin et al., 2014; Alshammari and Angela, 2012) في الدراسة الحالية لم تظهر جسيمات الذهب النانوية للعينات 1 و2 أي تثبيط ملموس عند التراكيز 1000,500,250 مايكرو غرام / مل لخط سرطان الثدي MCF-7 ربما يعود السبب الى كبر حجم الجسيمات النانوية فقد اثبتت دراسات عديدة ان فعالية الجسيمات النانوية الذهبية على القضاء على الخلايا السرطانية يزداد كلما قل حجم الجسيمات إذ يعتبر صغر حجم الجسيمات النانوية عامل مهم في موت الخلايا السرطانية (Ismail et al., 2018 ; Choi et al., 2014) ; بينما أظهرت العينة 3 فعالية عند التركيز 1000 مايكرو غرام /مل واقل فعالية عند التركيز 500 مايكرو غرام/مل ولم تظهر فعالية عند التركيز 250 مايكرو غرام/مل مما يشير الى ان سمية جسيمات الذهب النانوية المخلقة حيويًا تزداد كلما زاد التركيز وان نسبة تثبيط هذه العينة كان اقل من النصف قد يعود السبب الى قلة مدة تعرض الخلايا السرطانية لجسيمات الذهب النانوية وتتفق هذه النتيجة مع دراسة Clarence واخرون ، (2020) إذ اثبت ان جسيمات الذهب النانوية المخلقة من الفطر المستنبت لها القدرة على تثبيط خلايا خط سرطان الثدي اعتماداً على التركيز فوجد ان تراكم الخلايا قل الى 55% بعد التعرض 120 ساعة الى تراكيز مختلفة من جسيمات الذهب النانوية المخلقة



حيويا. كما اثبت KS وآخرون (2016) ان جسيمات الذهب النانوية المخلفة حيويا لها فعالية ضد خط سرطان الثدي MCF-7 معتمدا على التركيز ولم يتم العثور على تثبيط بنسبة 50% بعد تعريض خط الخلايا لمدة 24 ساعة مما يدل على ان السمية الخلوية تعتمد على الوقت مما يتوجب زيادة مدة التعريض لزيادة نسبة التثبيط.

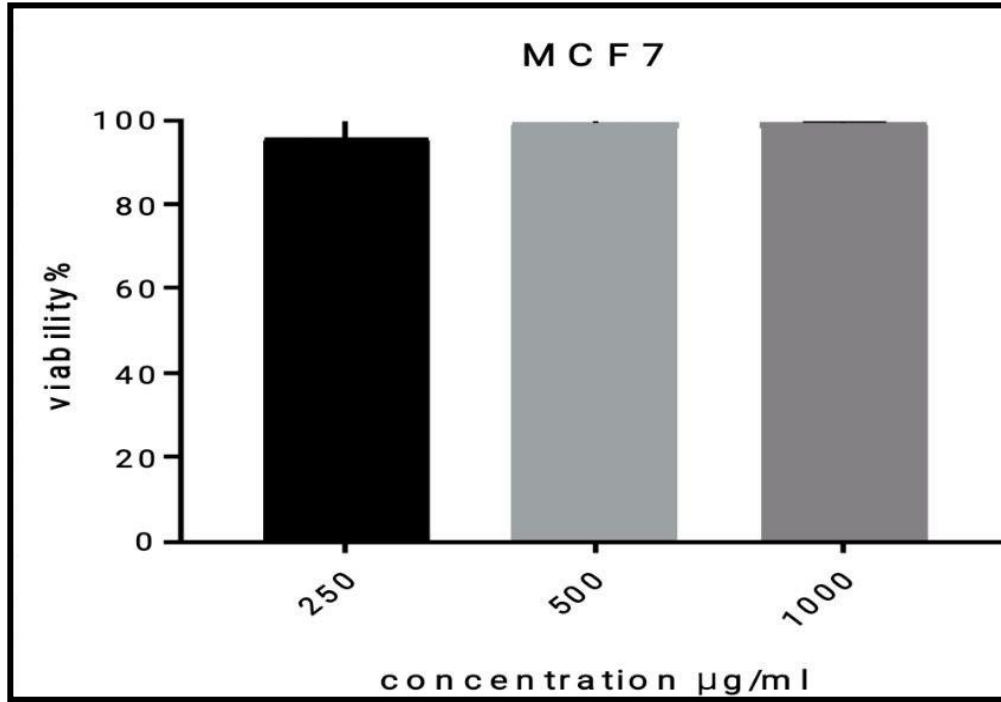


Concentration µg/ml	250	500	1000
Viability %	99.9	99.8	98.3

L.S.D. ,0,05=2.934 (N.S)

شكل (46) النسبة المئوية لحيوية الخلايا السرطانية MCF-7 المعاملة بجسيمات الذهب النانوية للعينة 1

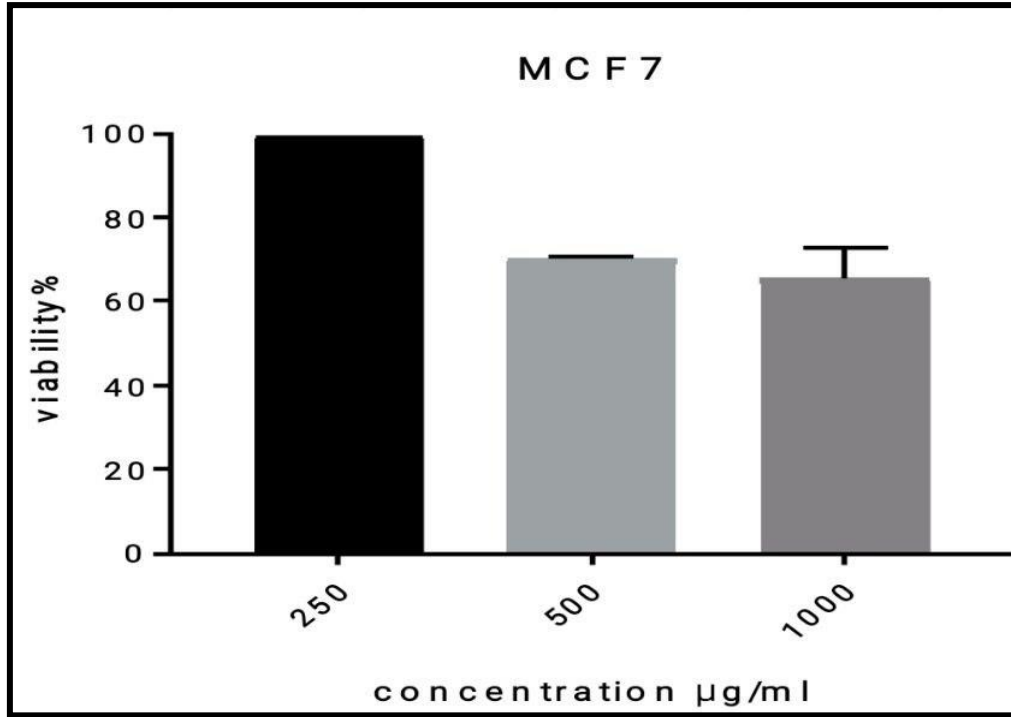




Concentration µg/ml	250	500	1000
Viability %	95.7	99.4	99.5

L S D, 0,05=5.121 (N.S)

شكل (47) النسبة المئوية لحيوية خلايا خط سرطان الثدي MCF-7 المعاملة بجسيمات الذهب النانوية للعينة 2



Concentration µg/ml	250	500	1000
Viability %	99,7	70.6	65.5

S.L.D ,0.05=6.1

شكل (48) النسبة المئوية لحيوية خلايا خط سرطان الثدي المعاملة بجسيمات الذهب النانوية للعيينة 3

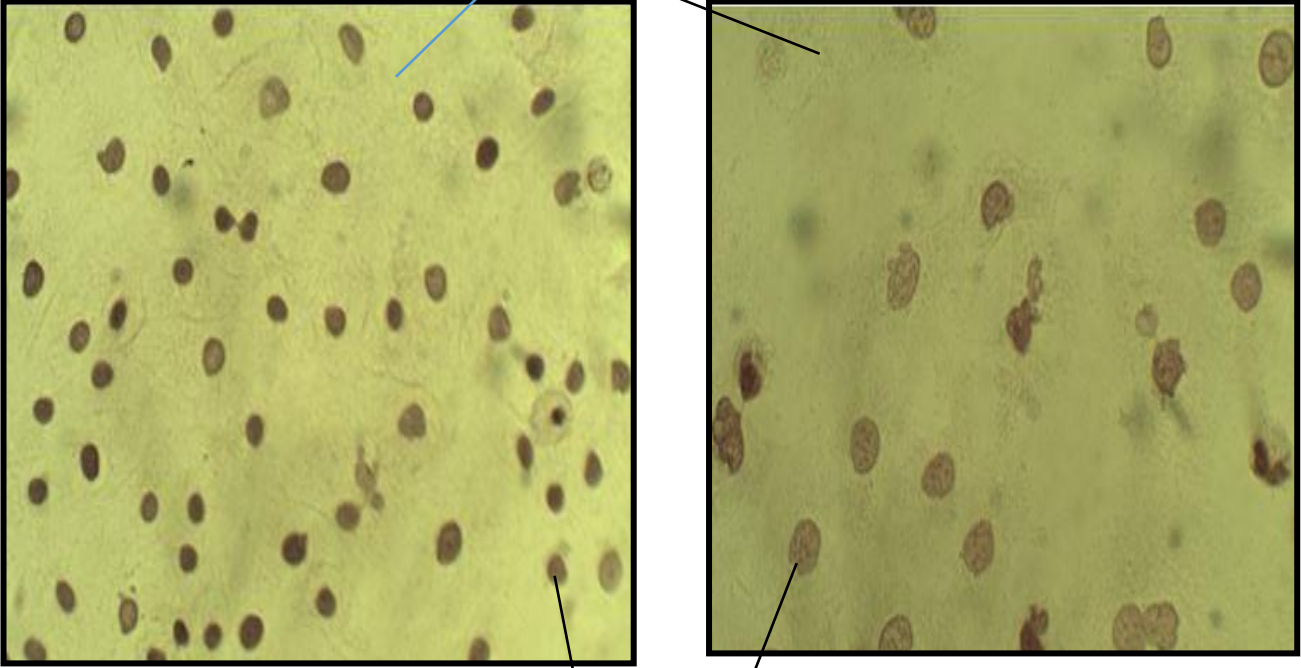
#### 4-6- تقنية الكيمياء المناعية النسيجية لاختبار تحفيز caspase3

تتعرض الخلية الحقيقية النواة الى نوعين من أنواع الاماتة cell death وهما موت الخلية الغير مبرمج الذي يؤدي الى النخر necrosis او موت الخلية المبرمج الذي يحدث نتيجة تحفيز مسارات محددة (Jorgensen *et al.*, 2017). فهناك ثلاثة مسارات رئيسية يحدث بها موت الخلية المبرمج هي اضطراب المايتوكندريا وتنشيط مستقبلات الموت واجهاد الشبكة الاندوبلازمية، تؤدي حالة تنشيط مسارات الموت والمايتوكندريا الى تنشيط الكاسبيزات المختلفة في الساييتوبلازم والى تنشيط بروتين كاسبيز 3 في النهاية الذي يتسبب في موت الخلية المبرمج نتيجة تفتيت الحامض النووي DNA (Jalili *et al.*, 2022) ، تم اختيار احدى طرق تحفيز الموت الخلوي وهو الموت الخلوي المعتمد على الكاسبيز 3 وكان ذلك بإستعمال تقنية الكيمياء المناعية النسيجية لاختبار تحفيز كاسبيز 3. واطهرت نتائج الفحص المجهرى عدم وجود تعبير لبروتين كاسبيز 3 بعد المعاملة لمدة 72 ساعة لخط خلايا MCF-7 إذ لم يظهر تصبغ لساييتوبلازم الخلايا مع صبغة DAB شكل (49) و (50)

اشارت دراسة (Kamada *et al.*, 2005; Ritter *et al.*, 2000) ان تنشيط انزيم كاسبيز 3 يبدأ في ساييتوبلازم الخلايا من خلال شطر ال procaspase 3، وفي المراحل المتقدمة من تحفيز الموت الخلوي المبرمج ينتقل بروتين كاسبيز 3 الى النواة عندها يلاحظ التصبغ في ساييتوبلازم الخلايا ونواتها وهذا يؤكد عدم تحفيز الكاسبيز 3 في معاملة خلايا الدراسة الحالية تتوافق النتائج التي حصلنا عليها مع دراسة Kajani وآخرون ، (2016) حيث اثبت ان موت الخلايا كان مستقل عن الكاسبيز بأعتباره الالية المحتملة لنشاط جسيمات الذهب النانوية المخلفة حيويًا على خط سرطان الثدي MCF-7 وسرطان الرحم Hela cell. بينما اثبتت دراسات عديدة على قدرة جسيمات الذهب النانوية المصنعة حيويًا على مضاعفة نشاط انزيمات الكاسبيز وانخفاض في حيوية الخلايا السرطانية المختلفة منها دراسة Qian وآخرون ، (2019) إذ تم العثور على نشاط كاسبيز 9 و 8 و 3 في خلايا خط سرطان الرحم بطريقة تعتمد على التركيز وادى هذا التنشيط الى موت الخلية المبرمج. كما أوضح Ahamed وآخرون ، (2016) ان جسيمات الذهب النانوية تكون شديدة السمية ضد خط

خلايا سرطان الثدي MCF-7 نتيجة لتعزيز نشاط كاسبوز 3 وكاسبوز 9 الذي يسرع في موت الخلية المبرمج .

الخلايا السرطانية



شكل (50) خلايا MCF-7 غير معاملة  
ب AuNPs ومصبغة بصبغة ADB  
بقوة X 40

شكل (49) خلايا خط MCF-7 معاملة  
بجسيمات الذهب النانوية ومصبغة بصبغة ADB  
بقوة X 40

أنوية الخلايا السرطانية

# الفصل الخامس

الاستنتاجات

والتوصيات

Conclusion and

Recommendation

### الاستنتاجات

- 1- وجود فطريات داخل الانسجة النباتية لأوراق النباتات (الختمة و الصبار و الاكاسيا).
- 2- أظهر التشخيص الجيني للأنواع الفطرية المعزولة إنها تعود الى جنس *Aspergillus* و *Pencillium* وعزلة واحدة سجلت كعزلة جديدة فب بنك الجينات ومنحت رقم الإدخال .OP288118
- 3- قابلية الفطريات المعزولة من الانسجة النباتية على انتاج جسيمات الذهب النانوية.
- 4- قابلية جسيمات الذهب النانوية المخلفة من راشح الفطر *P. citrinum* isolate على خفض النسبة الحيوية للخلايا السرطانية بطريقة تعتمد على التركيز.
- 5- قابلية جسيمات الذهب النانوية المخلفة من راشح الفطر *A. fumigatus* strain Zbf- R10 على كسح الجذور الحرة لمركب DPPH .
- 6- عدم تنشيط انزيم Caspase 3 في الخلايا المعاملة لخط سرطان الثدي MCF-7 عند معاملته بجسيمات الذهب النانوية مقارنة بغير المعاملة.

التوصيات

- 1- عزل فطريات من الانسجة الداخلية للنباتات الطبية والغير السامة كونها تتشابه من حيث المواد المنتجة للاستفادة من المركبات الثانوية لها.
- 2- استخدام الرواشح الفطرية في تصنيع جسيمات نانوية أخرى كالبلاتين والنحاس وغيرها.
- 3- تحسين ظروف تخليق جسيمات الذهب النانوية كدرجة الحرارة والأس الهيدروجيني والتركيز من اجل تخليق أفضل للجسيمات النانوية المعدنية
- 4- دراسة سمية جسيمات الذهب النانوية على كريات الدم الحمر.
- 5- اختبار جسيمات الذهب النانوية ضد خطوط سرطانية أخرى مثل سرطان البروستات والقولون والكبد ودراسة تأثيرها على الخطوط الطبيعية.
- 6- الكشف عن اليات أخرى تحفزها جسيمات الذهب النانوية المخلفة و تسبب موت الخلايا السرطانية او التقليل من حيويتها.

المصادر

References



المصادر العربية:

- إبراهيم، نور خضير (2021). تقييم الفعالية الحيوية لجسيمات الفضة النانوية المخلفة من قبل بعض الاحياء المجهرية. رسالة ماجستير، كلية العلوم، جامعة ميسان: 105 صفحة.
- الساعدي، عباس خماس (2021). تشخيص وتوصيف المواد النانوية، بغداد، دار الأمير، الطبعة الأولى. 324 صفحة.
- العزاوي، غفران محمود محمد (2022). عزل وتشخيص الفطريات المستنبتة من أوراق نبات المورنج *Moringa sp* وإنتاج جسيمات الفضة النانوية من مستخلص الأوراق ودراسة الفعالية المضادة الحيوية تجاه بعض الاحياء المجهرية المرضية. رسالة ماجستير، كلية التربية للعلوم الصرفة (ابن الهيثم)، جامعة بغداد: 104 صفحة.
- الراوي، خاشع محمود وعبد العزيز محمد خلف الله (1980)، تصميم وتحليل التجارب الزراعية. وزارة التعليم العالي والبحث العلمي. جامعة الموصل، العراق.
- جندل، جاسم محمد (2015)، مضادات الاكسدة. عمان، دار المستقبل للنشر والتوزيع، (382) صفحة.

## References

- Abad-Segura, E., González-Zamar, M. D., Infante-Moro, J. C., & Ruipérez García, G. (2020).** Sustainable management of digital transformation in higher education: Global research trends. *Sustainability*, 12(5), 2107.
- Abbas, Z., & Rehman, S. (2018).** An overview of cancer treatment modalities. *Neoplasia*, 1, 139-157.
- Abdel-Azeem, A., Nada, A. A., O'donovan, A., Thakur, V. K., & Elkelish, A. (2020).** Mycogenic silver nanoparticles from endophytic *Trichoderma atroviride* with antimicrobial activity. *Journal of Renewable Materials*, 8(2), 171.
- Abdel-Kareem, M. M., & Zohri, A. A. (2018).** Extracellular mycosynthesis of gold nanoparticles using *Trichoderma hamatum*: optimization, characterization and antimicrobial activity. *Letters in applied microbiology*, 67(5), 465-475.
- Abdellatif, A. A., Mohammed, H. A., Khan, R. A., Singh, V., Bouazzaoui, A., Yusuf, M., ... & Al-Omar, M. S. (2021).** Nano-scale delivery: A comprehensive review of nano-structured devices, preparative techniques, site-specificity designs, biomedical applications, commercial products, and references to safety, cellular uptake, and organ toxicity. *Nanotechnology Reviews*, 10(1), 1493-1559.

- Abdel-Raouf, N., Al-Enazi, N. M., & Ibraheem, I. B. (2017).** Green biosynthesis of gold nanoparticles using *Galaxaura elongata* and characterization of their antibacterial activity. *Arabian Journal of Chemistry*, 10, S3029-S3039.
- Abu-Tahon, M. A., Ghareib, M., & Abdallah, W. E. (2020).** Environmentally benign rapid biosynthesis of extracellular gold nanoparticles using *Aspergillus flavus* and their cytotoxic and catalytic activities. *Process Biochemistry*, 95, 1-11.
- Adeleke, B. S., & Babalola, O. O. (2021).** Biotechnological overview of agriculturally important endophytic fungi. *Horticulture, Environment, and Biotechnology*, 62(4), 507-520.
- Aguilar, L. E., Chalony, C., Kumar, D., Park, C. H., & Kim, C. S. (2021).** Phenol-Boronic surface functionalization of gold nanoparticles; to induce ROS damage while inhibiting the survival mechanisms of cancer cells. *International Journal of Pharmaceutics*, 596, 120267.
- Ahamed, M., Akhtar, M. J., Khan, M. M., Alhadlaq, H. A., & Alrokayan, S. A. (2016).** Cytotoxic response of platinum-coated gold nanorods in human breast cancer cells at very low exposure levels. *Environmental toxicology*, 31(11), 1344-1356.
- Ahmed, A. A., Hamzah, H., & Maarroof, M. (2018).** Analyzing formation of silver nanoparticles from the filamentous fungus *Fusarium oxysporum* and their antimicrobial activity. *Turkish Journal of Biology*, 42(1), 54-62.
- Alaei, H., Mohammadi, A. H., & Dehghani, A. (2012).** Molecular

characterization of the rDNA-ITS sequence and a PCR diagnostic technique for *Pileolaria terebinthi*, the cause of pistachio rust. *Phytopathologia Mediterranea*, 488-495.

**Al Dabbagh, A. G. (2022).** Nanotechnology; The Science of Present and Future (Principles and Applications). *NTU Journal of Pure Sciences*, 1(3), 32-39.

**Al-Ali, A.A., Alsalami, K.A.S. and Athbi, A. M. (2022).** Cytotoxic effects of CeO<sub>2</sub> NPs and  $\beta$ - carotene and thier ability to induce apoptosis in human breast normal and cancer cell lines. *Iraqi Journal of Science*, (63): 3.

**Al-Dhabi, N. A., Mohammed Ghilan, A. K., & Arasu, M. V. (2018).** Characterization of silver nanomaterials derived from marine *Streptomyces* sp. al-dhabi-87 and its in vitro application against multidrug resistant and extended-spectrum beta-lactamase clinical pathogens. *Nanomaterials*, 8(5), 279.

**Al-Gebory, L., & Mengüç, M. P. (2018).** The effect of pH on particle agglomeration and optical properties of nanoparticle suspensions. *Journal of Quantitative Spectroscopy and Radiative Transfer*, 219, 46-60.

**Ali, A. H., Radwan, U., El-Zayat, S., & El-Sayed, M. A. (2018).** Desert plant-fungal endophytic association: the beneficial aspects to their hosts. *In Biological Forum-An International Journal (Vol. 10, No. 1, pp. 138-145).*

**Ali, N. H., & Mohammed, A. M. (2021).** Biosynthesis and characterization of platinum nanoparticles using iraqi zahidi dates

and evaluation of their biological applications. *Biotechnology Reports*, 30, e00635.

**Aldrich, S. (2015).** Gold nanoparticles: properties and applications. *Sigma-Aldrich, St. Louis, MO*.

**Alshammari, A., & Angela, K. (2012).** Influence of single use and combination of reductants on the size, morphology and growth steps of gold nanoparticles in colloidal mixture.

**Al-Shammari, A.M.; Al-Esmaeel, W.N.; Al-Ali, A.A.; Hassan, A.A. and Ahmed, A.A. (2019).** Enhancement of Oncolytic Activity of Newcastle Disease virus Through Combination with Retinoic Acid Against Digestive System Malignancies. *Molecular Therapy* 27(4S1):126-127.

**Aly, A. H., Debbab, A., Kjer, J., & Proksch, P. (2010).** Fungal endophytes from higher plants: a prolific source of phytochemicals and other bioactive natural products. *Fungal diversity*, 41(1), 1-16.

**Amendola, V., Pilot, R., Frasconi, M., Maragò, O. M., & Iatì, M. A. (2017).** Surface plasmon resonance in gold nanoparticles: a review. *Journal of Physics: Condensed Matter*, 29(20), 203002.

**Amina, S. J., & Guo, B. (2020).** A review on the synthesis and functionalization of gold nanoparticles as a drug delivery vehicle. *International journal of nanomedicine*, 15, 9823.

**Amina, S. J., Iqbal, M., Faisal, A., Shoaib, Z., Niazi, M. B. K., Ahmad, N. M., ... & Janjua, H. A. (2021).** Synthesis of diosgenin conjugated gold nanoparticles using algal extract of

Dictyosphaerium sp. and in-vitro application of their antiproliferative activities. *Materials Today Communications*, 27, 102360.

**Anjali, R., Palanisamy, S., Vinosha, M., Selvi, A. M., Sathiyaraj, G., Marudhupandi, T., ... & You, S. (2022).** Fabrication of silver nanoparticles from marine macro algae *Caulerpa sertularioides*: Characterization, antioxidant and antimicrobial activity. *Process Biochemistry*, 121, 601-618.

**Antoni, D., Burckel, H., Josset, E., & Noel, G. (2015).** Three-dimensional cell culture: a breakthrough in vivo. *International journal of molecular sciences*, 16(3), 5517-5527.

**Asghari, A., Wall, K., Gill, M., Del Vecchio, N., Allahbakhsh, F., Wu, J., ... & Maroufy, V. (2022).** A novel group of genes that cause endocrine resistance in breast cancer identified by dynamic gene expression analysis. *Oncotarget*, 13, 600.

**Ashokkumar, T., Arockiaraj, J., & Vijayaraghavan, K. (2016).** Biosynthesis of gold nanoparticles using green roof species *Portulaca grandiflora* and their cytotoxic effects against C6 glioma human cancer cells. *Environmental Progress & Sustainable Energy*, 35(6), 1732-1740.

**Aslam, S., Tahir, A., Aslam, M. F., Alam, M. W., Shedayi, A. A., & Sadia, S. (2017).** Recent advances in molecular techniques for the identification of phytopathogenic fungi—a mini review. *Journal of Plant Interactions*, 12(1), 493-504.

- Aswad, S. A. M., Jameel, G. H., & Alobidy, E. N. J. (2021).** Molecular detection of *Trichophyton verrucosum* infection in sheep. *Diyala Journal for Veterinary Sciences-Print ISSN: 2410-8863*, 1(4), 47-60.
- Azad, S., Meeravali, S. N., Babu, P. C., & Kumar, K. R. (2020).** Gold nanoparticles in cancer therapy: Overview and perspectives. *World Journal of Pharmaceutical Sciences*, 34-40.
- Bahrulolum, H., Nooraei, S., Javanshir, N., Tarrahimofrad, H., Mirbagheri, V. S., Easton, A. J., & Ahmadian, G. (2021).** Green synthesis of metal nanoparticles using microorganisms and their application in the agrifood sector. *Journal of Nanobiotechnology*, 19(1), 1-26.
- BalaKumaran, M. D., Ramachandran, R., Balashanmugam, P., Jagadeeswari, S., & Kalaichelvan, P. T. (2022).** Comparative analysis of antifungal, antioxidant and cytotoxic activities of mycosynthesized silver nanoparticles and gold nanoparticles. *Materials Technology*, 37(6), 411-421.
- Baldwin, A., & Booth, B. W. (2022).** Biomedical applications of tannic acid. *Journal of Biomaterials Applications*, 36(8), 1503-1523.
- Bao, H., Lu, Z., Cui, X., Qiao, Y., Guo, J., Anderson, J. M., & Li, C. M. (2010).** Extracellular microbial synthesis of biocompatible CdTe quantum dots. *Acta biomaterialia*, 6(9), 3534-3541.
- Barabadi, H., Mohammadzadeh, A., Vahidi, H., Rashedi, M., Saravanan, M., Talank, N., & Alizadeh, A. (2022).** Penicillium

chrysogenum-derived silver nanoparticles: exploration of their antibacterial and biofilm inhibitory activity against the standard and pathogenic *Acinetobacter baumannii* compared to tetracycline. *Journal of Cluster Science*, 33(5), 1929-1942.

**Baron, N. C., & Rigobelo, E. C. (2022).** Endophytic fungi: a tool for plant growth promotion and sustainable agriculture. *Mycology*, 13(1), 39-55.

**Barry, N. P., & Sadler, P. J. (2013).** Challenges for metals in medicine: how nanotechnology may help to shape the future. *ACS nano*, 7(7), 5654-5659.

**Barua, S., Gogoi, S., Khan, R., & Karak, N. (2019).** Silicon-based nanomaterials and their polymer nanocomposites. *In Nanomaterials and polymer nanocomposites* (pp. 261-305). Elsevier.

**Basiratnia, E., Einali, A., Azizian-Shermeh, O., Mollashahi, E., & Ghasemi, A. (2021).** Biological Synthesis of Gold Nanoparticles from Suspensions of Green Microalga *Dunaliella salina* and Their Antibacterial Potential. *BioNanoScience*, 11(4), 977-988.

**Baskar, R., Lee, K. A., Yeo, R., & Yeoh, K. W. (2012).** Cancer and radiation therapy: current advances and future directions. *International journal of medical sciences*, 9(3), 193.

**Berrada, M., Serreqi, A., Dabbarh, F., Owusu, A., Gupta, A., & Lehnert, S. (2005).** A novel non-toxic camptothecin formulation for cancer chemotherapy. *Biomaterials*, 26(14), 2115-2120.

**Bessa, M. J., Brandão, F., Viana, M., Gomes, J. F., Monfort, E.,**



- Cassee, F. R., ... & Teixeira, J. P. (2020).** Nanoparticle exposure and hazard in the ceramic industry: an overview of potential sources, toxicity and health effects. *Environmental research*, 184, 109297.
- Bhattacharjee, S. (2016).** DLS and zeta potential–what they are and what they are not?. *Journal of controlled release*, 235, 337-351.
- Bolívar-Anillo, H. J., Garrido, C., & Collado, I. G. (2020).** Endophytic microorganisms for biocontrol of the phytopathogenic fungus *Botrytis cinerea*. *Phytochemistry Reviews*, 19(3), 721-740.
- Burstein, H. J., Somerfield, M. R., Barton, D. L., Dorris, A., Fallowfield, L. J., Jain, D., ... & Rugo, H. S. (2021).** Endocrine treatment and targeted therapy for hormone receptor–positive, human epidermal growth factor receptor 2–negative metastatic breast cancer: ASCO guideline update. *Journal of Clinical Oncology*, 39(35), 3959-3977.
- Castillo-Henríquez, L., Alfaro-Aguilar, K., Ugalde-Álvarez, J., Vega-Fernández, L., Montes de Oca-Vásquez, G., & Vega-Baudrit, J. R. (2020).** Green synthesis of gold and silver nanoparticles from plant extracts and their possible applications as antimicrobial agents in the agricultural area. *Nanomaterials*, 10(9), 1763.
- Castro, L., Blázquez, M. L., González, F. G., & Ballester, A. (2014).** Mechanism and applications of metal nanoparticles prepared by bio-mediated process. *Reviews in Advanced Sciences and Engineering*, 3(3), 199-216.

- Chander, J. (2017).** Textbook of medical mycology. JP Medical Ltd.
- Chang, Y., Zheng, C., Chinnathambi, A., Alahmadi, T. A., & Alharbi, S. A. (2021).** Cytotoxicity, anti-acute leukemia, and antioxidant properties of gold nanoparticles green-synthesized using Cannabis sativa L leaf aqueous extract. *Arabian Journal of Chemistry*, 14(4), 103060.
- Cheeseman, S., Christofferson, A. J., Kariuki, R., Cozzolino, D., Daeneke, T., Crawford, R. J., ... & Elbourne, A. (2020).** Antimicrobial metal nanomaterials: from passive to stimuli-activated applications. *Advanced Science*, 7(10), 1902913.
- Chen, M. T., Sun, H. F., Zhao, Y., Fu, W. Y., Yang, L. P., Gao, S. P., ... & Jin, W. (2017).** Comparison of patterns and prognosis among distant metastatic breast cancer patients by age groups: a SEER population-based analysis. *Scientific reports*, 7(1), 1-8.
- Cheng, C. W., Wang, H. W., Chang, C. W., Chu, H. W., Chen, C. Y., Yu, J. C., ... & Shen, C. Y. (2012).** MicroRNA-30a inhibits cell migration and invasion by downregulating vimentin expression and is a potential prognostic marker in breast cancer. *Breast cancer research and treatment*, 134(3), 1081-1093.
- Chi, Y., Wang, Z., Wang, J., Dong, W., Xin, P., Bi, J., ... & Chen, C. P. (2020).** Dimeric camptothecin-loaded mPEG-PCL nanoparticles with high drug loading and reduction-responsive drug release. *Colloid and Polymer Science*, 298(1), 51-58.
- Choi, J. S., Cao, J., Naeem, M., Noh, J., Hasan, N., Choi, H. K., & Yoo, J. W. (2014).** Size-controlled biodegradable nanoparticles:

preparation and size-dependent cellular uptake and tumor cell growth inhibition. *Colloids and Surfaces B: Biointerfaces*, 122, 545-551.

**Chow, E., van der Linden, Y. M., Roos, D., Hartsell, W. F., Hoskin, P., Wu, J. S., ... & Wong, R. K. (2014).** Single versus multiple fractions of repeat radiation for painful bone metastases: a randomised, controlled, non-inferiority trial. *The Lancet Oncology*, 15(2), 164-171.

**Clarance, P., Luvankar, B., Sales, J., Khusro, A., Agastian, P., Tack, J. C., ... & Kim, H. J. (2020).** Green synthesis and characterization of gold nanoparticles using endophytic fungi *Fusarium solani* and its in-vitro anticancer and biomedical applications. *Saudi Journal of Biological Sciences*, 27(2), 706-712.

**Colin, J. A., Pech-Pech, I. E., Oviedo, M., Águila, S. A., Romo-Herrera, J. M., & Contreras, O. E. (2018).** Gold nanoparticles synthesis assisted by marine algae extract: Biomolecules shells from a green chemistry approach. *Chemical Physics Letters*, 708, 210-215.

**Combes, G. F., Vučković, A. M., Perić Bakulić, M., Antoine, R., Bonačić-Koutecky, V., & Trajković, K. (2021).** Nanotechnology in tumor biomarker detection: The potential of liganded nanoclusters as nonlinear optical contrast agents for molecular diagnostics of cancer. *Cancers*, 13(16), 4206.

**Costa, B., Amorim, I., Gärtner, F., & Vale, N. (2020).** Understanding breast cancer: From conventional therapies to

---

---

repurposed drugs. *European Journal of Pharmaceutical Sciences*, 151, 105401.

**Cummins, C., Lundy, R., Walsh, J. J., Ponsinet, V., Fleury, G., & Morris, M. A. (2020).** Enabling future nanomanufacturing through block copolymer self-assembly: A review. *Nano Today*, 35, 100936.

**Gupta, K., & Chundawat, T. S. (2020).** Time and size-dependent biogenically synthesized nanoparticles using fungus *Fusarium oxysporum*: A review on their preparation, characterization and biological activities. *Nanoscience & Nanotechnology-Asia*, 10(2), 95-108.

**Dai, X., Xiang, L., Li, T., & Bai, Z. (2016).** Cancer hallmarks, biomarkers and breast cancer molecular subtypes. *Journal of cancer*, 7(10), 1281.

**Dam, D. H. M., Culver, K. S., & Odom, T. W. (2014).** Grafting aptamers onto gold nanostars increases in vitro efficacy in a wide range of cancer cell types. *Molecular pharmaceuticals*, 11(2), 580-587.

**Dare, A. J., Anderson, B. O., Sullivan, R., Pramesh, C. S., Yip, C. H., Ilbawi, A., ... & Gauvreau, C. L. (2015).** Surgical services for cancer care. DISEASE CONTROL PRIORITIES• THIRD EDITION, 223.

**Das, A., & Varma, A. (2009).** Symbiosis: the art of living. In *Symbiotic Fungi* (pp. 1-28). Springer, Berlin, Heidelberg.

**Dastogeer, K. M. G., Chakraborty, A., Sarker, M. S. A., & Akter,**

- M. A. (2020).** Roles of fungal endophytes and viruses in mediating drought stress tolerance in plants. *International Journal of Agriculture and Biology*, 24(6), 1497-1512.
- Deepak, P., Sowmiya, R., Balasubramani, G., Aiswarya, D., Arul, D., Josebin, M. P. D., & Perumal, P. (2018).** Mosquito-larvicidal efficacy of gold nanoparticles synthesized from the seaweed, *Turbinaria ornata* (Turner) J. Agardh 1848. *Particulate Science and Technology*, 36(8), 974-980.
- DeMoranville, K. J., Carter, W. A., Pierce, B. J., & McWilliams, S. R. (2022).** Flight and dietary antioxidants influence antioxidant expression and activity in a migratory bird. *Integrative Organismal Biology*, 4(1), obab035.
- Desai, D., & Datta, M. (2015).** Green synthesis of silver antimicrobials for its potential application in control of nosocomial infections. *Asian Journal of Pharmaceutical and Clinical Research*, 219-223
- Desai, M. P., Patil, R. V., Harke, S. S., & Pawar, K. D. (2021).** Bacterium mediated facile and green method for optimized biosynthesis of gold nanoparticles for simple and visual detection of two metal ions. *Journal of Cluster Science*, 32(2), 341-350.
- Dewan, Th. M. (2022).** Biosynthesis of silver nanoparticles by some Actinomycetes and Soil Bacteria and Determination of Antibacterial and Anticancer Activities. MSC. College of science. University of Misan.113.
- Dewan, T., & Hateet, R. (2022).** Detect the Antibacterial and

---

---

Antitumor of synthesized Silver Nanoparticles Using Microbacterium sp. *Revis Bionatura* 2022; 7 (2) 30.

**Du, L., Xian, L., & Feng, J. X. (2011).** Rapid extra-/intracellular biosynthesis of gold nanoparticles by the fungus *Penicillium* sp. *Journal of Nanoparticle Research*, 13, 921-930.

**Du, Y., Xia, L., Jo, A., Davis, R. M., Bissel, P., Ehrich, M. F., & Kingston, D. G. (2018).** Synthesis and evaluation of doxorubicin-loaded gold nanoparticles for tumor-targeted drug delivery. *Bioconjugate chemistry*, 29(2), 420-430.

**Durairajanayagam, D., Agarwal, A., & Ong, C. (2015).** Causes, effects and molecular mechanisms of testicular heat stress. *Reproductive biomedicine online*, 30(1), 14-27.

**Ealia, S. A. M., & Saravanakumar, M. P. (2017, November).** A review on the classification, characterisation, synthesis of nanoparticles and their application. *In IOP conference series: materials science and engineering* (Vol. 263, No. 3, p. 032019). IOP Publishing.

**Eckle, V. S., Buchmann, A., Bursch, W., Schulte-Hermann, R., & Schwarz, M. (2004).** Immunohistochemical detection of activated caspases in apoptotic hepatocytes in rat liver. *Toxicologic pathology*, 32(1), 9-15.

**Elbahnasawy, M. A., Shehabeldine, A. M., Khattab, A. M., Amin, B. H., & Hashem, A. H. (2021).** Green biosynthesis of silver nanoparticles using novel endophytic *Rothia endophytica*: Characterization and anticandidal activity. *Journal of Drug*

---

*Delivery Science and Technology*, 62, 102401.

**El Domany, E. B., Essam, T. M., Ahmed, A. E., & Farghali, A. A. (2018).** Biosynthesis physico-chemical optimization of gold nanoparticles as anti-cancer and synergetic antimicrobial activity using *Pleurotus ostreatus* fungus. *Journal of Applied Pharmaceutical Science*, 8(5), 119-128.

**Fadiji, A. E., & Babalola, O. O. (2020).** Elucidating mechanisms of endophytes used in plant protection and other bioactivities with multifunctional prospects. *Frontiers in Bioengineering and Biotechnology*, 8, 467.

**Falih. S M. , Al-saray S. T, .Alfaris A. A. and Al-Ali A.A. (2022).**The synergistic effect of eucalyptus oil and retinoic acid on human esophagus cancer cell line SK-GT-4. *Egyptian journal of medical human genetics*, 23:70

**Feng, Y., Spezia, M., Huang, S., Yuan, C., Zeng, Z., Zhang, L., ... & Ren, G. (2018).** Breast cancer development and progression: Risk factors, cancer stem cells, signaling pathways, genomics, and molecular pathogenesis. *Genes & diseases*, 5(2), 77-106.

**Ferlay, J., Colombet, M., Soerjomataram, I., Parkin, D. M., Piñeros, M., Znaor, A., & Bray, F. (2021).** Cancer statistics for the year 2020: *An overview. International journal of cancer*, 149(4), 778-789.

**Folorunso, A., Akintelu, S., Oyebamiji, A. K., Ajayi, S., Abiola, B., Abdusalam, I., & Morakinyo, A. (2019).** Biosynthesis, characterization and antimicrobial activity of gold nanoparticles

from leaf extracts of *Annona muricata*. *Journal of Nanostructure in Chemistry*, 9(2), 111-117.

**Gadekar, G. P., Ghaoshal, K. P., & Ghatole, A. M. (2021).** Butea Monosperma Bark Extract To Its Green Synthesis Of Silver Nanoparticles And Their Antioxidant, Total Flavonoid Content And Antimicrobial Activities. *Journal of Applied Biological Sciences*, 15(1), 64-74.

**Galúcio, J. M., de Souza, S. G. B., Vasconcelos, A. A., Lima, A. K. O., da Costa, K. S., de Campos Braga, H., & Taube, P. S. (2022).** Synthesis, characterization, applications, and toxicity of green synthesized nanoparticles. *Current Pharmaceutical Biotechnology*, 23(3), 420-443.

**Gan, L., Zhang, S., Zhang, Y., He, S., & Tian, Y. (2018).** Biosynthesis, characterization and antimicrobial activity of silver nanoparticles by a halotolerant *Bacillus endophyticus* SCU-L. *Preparative Biochemistry and Biotechnology*, 48(7), 582-588.

**Ganeshkumar, M., Sathishkumar, M., Ponrasu, T., Dinesh, M. G., & Suguna, L. (2013).** Spontaneous ultra fast synthesis of gold nanoparticles using *Punica granatum* for cancer targeted drug delivery. *Colloids and Surfaces B: Biointerfaces*, 106, 208-216.

**Ganguly, M., Pal, A., Negishi, Y., & Pal, T. (2013).** Synthesis of highly fluorescent silver clusters on gold (I) surface. *Langmuir*, 29(6), 2033-2043.

**García-Aranda, M., & Redondo, M. (2019).** Immunotherapy: a challenge of breast cancer treatment. *Cancers*, 11(12), 1822.



- García-Aranda, M., Pérez-Ruiz, E., & Redondo, M. (2018).** Bcl-2 inhibition to overcome resistance to chemo-and immunotherapy. *International journal of molecular sciences*, 19(12), 3950.
- Gerosa, C., Crisponi, G., Nurchi, V. M., Saba, L., Cappai, R., Cau, F., ... & Fanni, D. (2020).** Gold nanoparticles: a new golden era in oncology?. *Pharmaceuticals*, 13(8), 192.
- Ghosh, S. K., & Pal, T. (2007).** Interparticle coupling effect on the surface plasmon resonance of gold nanoparticles: from theory to applications. *Chemical reviews*, 107(11), 4797-4862.
- Golińska, P., Wypij, M., Rathod, D., Tikar, S., Dahm, H., & Rai, M. (2016).** Synthesis of silver nanoparticles from two acidophilic strains of *Pilimelia columellifera* subsp. *pallida* and their antibacterial activities. *Journal of Basic Microbiology*, 56(5), 541-556.
- Gopinath, K., & Arumugam, A. (2014).** Extracellular mycosynthesis of gold nanoparticles using *Fusarium solani*. *Applied Nanoscience*, 4(6), 657-662.
- Graeser, Y., & Saunte, D. M. (2020).** A hundred years of diagnosing superficial fungal infections: Where do we come from, where are we now and where would we like to go?. *Acta dermatovenereologica*, 100(9), 216-224.
- Greenfield, M., Pareja, R., Ortiz, V., Gómez-Jiménez, M. I., Vega, F. E., & Parsa, S. (2015).** A novel method to scale up fungal endophyte isolations. *Biocontrol Science and Technology*, 25(10),

1208-1212.

**Haiss, W., Thanh, N. T., Aveyard, J., & Fernig, D. G. (2007).** Determination of size and concentration of gold nanoparticles from UV– Vis spectra. *Analytical chemistry*, 79(11), 4215-4221.

**Hammami, I., & Alabdallah, N. M. (2021).** Gold nanoparticles: Synthesis properties and applications. *Journal of King Saud University-Science*, 33(7), 101560.

**Hardoim, P. R., Van Overbeek, L. S., Berg, G., Pirttilä, A. M., Compant, S., Campisano, A., ... & Sessitsch, A. (2015).** The hidden world within plants: ecological and evolutionary considerations for defining functioning of microbial endophytes. *Microbiology and molecular biology reviews*, 79(3), 293-320.

**Hashim, A.I.(2020).** Cytotoxicity effects of silver nanoparticles prepared from Escherichia coli culture filtrates on vero cell line.MSC.Collage of science.University of Mustansiriyah.115

**Hassan, S. E. D., Fouda, A., Radwan, A. A., Salem, S. S., Barghoth, M. G., Awad, M. A., ... & El-Gamal, M. S. (2019).** Endophytic actinomycetes *Streptomyces* spp mediated biosynthesis of copper oxide nanoparticles as a promising tool for biotechnological applications. *JBIC Journal of Biological Inorganic Chemistry*, 24(3), 377-393.

**Hassan, H., Sharma, P., Hasan, M. R., Singh, S., Thakur, D., & Narang, J. (2022).** Gold nanomaterials–The golden approach from synthesis to applications. *Materials Science for Energy*

*Technologies.*

**Hateet, R. R. (2017).** Isolation and Identification of Three Bioactive Compounds from Endophytic Fungus *Trichoderma* sp. Al-Nahrain *Journal of Science*, 20(2), 108-113.

**Hateet, R. R. (2020).** GC-MS Analysis of extract for Endophytic fungus *Acremonium coenophialum* and its Antimicrobial and Antidiabetic. *Research Journal of Pharmacy and Technology*, 13(1), 119-123.

**Hateet, R. R., & Ibrahim, N. B. (2021).** Biosynthesis of silver nanoparticles from *Staphylococcus lentus* isolated from *Ocimum basilicum* and their antibacterial activity. *Comunicata Scientiae*, 12, e3545-e3545.

**Haume, K., Rosa, S., Grellet, S., Śmiałek, M. A., Butterworth, K. T., Solov'yov, A. V., ... & Mason, N. J. (2016).** Gold nanoparticles for cancer radiotherapy: a review. *Cancer nanotechnology*, 7, 1-20.

**Horikoshi, S., & Serpone, N. (Eds.). (2013).** *Microwaves in nanoparticle synthesis: fundamentals and applications.* John Wiley & Sons.

**Hosseini, M., Mashreghi, M., & Eshghi, H. (2016).** Biosynthesis and antibacterial activity of gold nanoparticles coated with reductase enzymes. *Micro & Nano Letters*, 11(9), 484-489.

**Ibrahim, E., Fouad, H., Zhang, M., Zhang, Y., Qiu, W., Yan, C &**

- Chen, J. (2019).** Biosynthesis of silver nanoparticles using endophytic bacteria and their role in inhibition of rice pathogenic bacteria and plant growth promotion. *RSC advances*, 9(50), 29293-29299.
- Ijaz, I., Gilani, E., Nazir, A., & Bukhari, A. (2020).** Detail review on chemical, physical and green synthesis, classification, characterizations and applications of nanoparticles. *Green Chemistry Letters and Reviews*, 13(3), 223-245.
- Iranmanesh, S., Shahidi Bonjar, G. H., & Baghizadeh, A. (2020).** Study of the biosynthesis of gold nanoparticles by using several saprophytic fungi. *SN Applied Sciences*, 2(11), 1-11.
- Ismail, E. H., Saqer, A. M., Assirey, E., Naqvi, A., & Okasha, R. M. (2018).** Successful green synthesis of gold nanoparticles using a *Corchorus olitorius* extract and their antiproliferative effect in cancer cells. *International journal of molecular sciences*, 19(9), 2612.
- Italiano, F., Agostiano, A., Belviso, B. D., Caliandro, R., Carrozzini, B., Comparelli, R., ... & Trotta, M. (2018).** Interaction between the photosynthetic anoxygenic microorganism *Rhodobacter sphaeroides* and soluble gold compounds. From toxicity to gold nanoparticle synthesis. *Colloids and Surfaces B: Biointerfaces*, 172, 362-371.
- Jabbar, R., & Hussein, N. N. (2021).** Evaluation the antibacterial activity of biosynthesis silver nanoparticles by *Lactobacillus gasseri* bacteria. *Journal of Applied Sciences and Nanotechnology*, 1(3), 86-95.

- Jabir, M. S., Taha, A. A., Sahib, U. I., Taqi, Z. J., Al-Shammari, A. M., & Salman, A. S. (2019).** Novel of nano delivery system for Linalool loaded on gold nanoparticles conjugated with CALNN peptide for application in drug uptake and induction of cell death on breast cancer cell line. *Materials Science and Engineering: C*, 94, 949-964.
- Jadoun, S., Arif, R., Jangid, N. K., & Meena, R. K. (2021).** Green synthesis of nanoparticles using plant extracts: A review. *Environmental Chemistry Letters*, 19(1), 355-374.
- Jalili, S., Ehsanpour, A. A., & Javadirad, S. M. (2022).** The role of melatonin on caspase-3-like activity and expression of the genes involved in programmed cell death (PCD) induced by in vitro salt stress in alfalfa (*Medicago sativa* L.) roots. *Botanical Studies*, 63(1), 1-11.
- Javed, R., Zia, M., Naz, S., Aisida, S. O., & Ao, Q. (2020).** Role of capping agents in the application of nanoparticles in biomedicine and environmental remediation: recent trends and future prospects. *Journal of Nanobiotechnology*, 18(1), 1-15.
- Jena, J., Pradhan, N., Dash, B. P., Sukla, L. B., & Panda, P. K. (2013).** Biosynthesis and characterization of silver nanoparticles using microalga *Chlorococcum humicola* and its antibacterial activity. *Int J Nanomater Biostruct*, 3(1), 1-8.
- Jorgensen, I., Rayamajhi, M., & Miao, E. A. (2017).** Programmed cell death as a defence against infection. *Nature reviews immunology*, 17(3), 151-164.

- Joshi, C. G., Danagoudar, A., Poyya, J., Kudva, A. K., & Dhananjaya, B. L. (2017).** Biogenic synthesis of gold nanoparticles by marine endophytic fungus-*Cladosporium cladosporioides* isolated from seaweed and evaluation of their antioxidant and antimicrobial properties. *Process Biochemistry*, 63, 137-144.
- Joy, B. (2020).** Why the future doesn't need us: Our most powerful 21st-century technologies-robotics, genetic engineering, and nanotech-are threatening to make humans an endangered species. *In Emerging Technologies: Ethics, Law and Governance* (pp. 47-63). Routledge.
- Juan, C. A., Pérez de la Lastra, J. M., Plou, F. J., & Pérez-Lebeña, E. (2021).** The chemistry of reactive oxygen species (ROS) revisited: outlining their role in biological macromolecules (DNA, lipids and proteins) and induced pathologies. *International Journal of Molecular Sciences*, 22(9), 4642.
- Jurrius, P., Green, T., Garmo, H., Young, M., Cariati, M., Gillett, C., ... & Purushotham, A. (2020).** Invasive breast cancer over four decades reveals persisting poor metastatic outcomes in treatment resistant subgroup—the “ATRESS” phenomenon. *The Breast*, 50, 39-48.
- Kajani, A. A., Bordbar, A. K., Esfahani, S. H. Z., & Razmjou, A. (2016).** Gold nanoparticles as potent anticancer agent: green synthesis, characterization, and in vitro study. *RSC advances*, 6(68), 63973-63983.
- Kalashgrani, M. Y., & Javanmardi, N. (2022).** Multifunctional Gold

nanoparticle: As novel agents for cancer treatment. *Advances in Applied NanoBio-Technologies*, 1-6.

**Kalpana, V. N., Kataru, B. A. S., Sravani, N., Vigneshwari, T., Panneerselvam, A., & Rajeswari, V. D. (2018).** Biosynthesis of zinc oxide nanoparticles using culture filtrates of *Aspergillus niger*: Antimicrobial textiles and dye degradation studies. *OpenNano*, 3, 48-55.

**Kamada, S., Kikkawa, U., Tsujimoto, Y., & Hunter, T. (2005).** Nuclear translocation of caspase-3 is dependent on its proteolytic activation and recognition of a substrate-like protein (s). *Journal of Biological Chemistry*, 280(2), 857-860.

**Kamalakaran, S., Gobinath, C., & Ananth, S. (2014).** Synthesis and characterization of fungus mediated silver nanoparticle for toxicity on filarial vector, *Culex quinquefasciatus*. *Int. J. Pharm. Sci. Rev. Res*, 24(2), 124-132.

**Ke, Y., Al Aboody, M. S., Alturaiki, W., Alsagaby, S. A., Alfaiz, F. A., Veeraraghavan, V. P., & Mickymaray, S. (2019).** Photosynthesized gold nanoparticles from *Catharanthus roseus* induces caspase-mediated apoptosis in cervical cancer cells (HeLa). *Artificial cells, nanomedicine, and biotechnology*, 47(1), 1938-1946.

**Keefe, J. C., & Rome, N. (2007).** A brief introduction to precious metals. *AMMTIAC Quarterly*, 2(1), 9-14.

**Kelmani Chandrakanth, R. (2020).** Antibacterial Activity of Biogenic Zinc oxide Nanoparticles synthesised from *Enterococcus*

faecalis.

- Khan, M., Ahmad, F., Koivisto, J. T., & Kellomäki, M. (2020).** Green synthesis of controlled size gold and silver nanoparticles using antioxidant as capping and reducing agent. *Colloid and Interface Science Communications*, 39, 100322.
- Kim, S. H., Nam, O., Jin, E., & Gu, M. B. (2019).** A new coccolith modified electrode-based biosensor using a cognate pair of aptamers with sandwich-type binding. *Biosensors and Bioelectronics*, 123, 160-166.
- Kitching, M., Ramani, M., & Marsili, E. (2015).** Fungal biosynthesis of gold nanoparticles: mechanism and scale up. *Microbial biotechnology*, 8(6), 904-917.
- Kobashigawa, J. M., Robles, C. A., Ricci, M. L. M., & Carmarán, C. C. (2019).** Influence of strong bases on the synthesis of silver nanoparticles (AgNPs) using the ligninolytic fungi *Trametes trogii*. *Saudi journal of biological sciences*, 26(7), 1331-1337.
- Koch, T., Fathi, A., & Addo, M. M. (2021).** The COVID-19 vaccine landscape. *Coronavirus Disease-COVID-19*, 549-573.
- Koul, B., Poonia, A. K., Yadav, D., & Jin, J. O. (2021).** Microbe-mediated biosynthesis of nanoparticles: *Applications and future prospects*. *Biomolecules*, 11(6), 886.
- Krajina, B. A., Proctor, A. C., Schoen, A. P., Spakowitz, A. J., & Heilshorn, S. C. (2018).** Biotemplated synthesis of inorganic materials: An emerging paradigm for nanomaterial synthesis inspired by nature. *Progress in Materials Science*, 91, 1-23.



- KS, U. S., Govindaraju, K., Prabhu, D., Arulvasu, C., Karthick, V., & Changmai, N. (2016).** Anti-proliferative effect of biogenic gold nanoparticles against breast cancer cell lines (MDA-MB-231 & MCF-7). *Applied Surface Science*, 371, 415-424.
- Kumar, D., Mutreja, I., Chitcholtan, K., & Sykes, P. (2017).** Cytotoxicity and cellular uptake of different sized gold nanoparticles in ovarian cancer cells. *Nanotechnology*, 28(47), 475101.
- Kumar, S., Aharwal, R. P., Jain, R., & Sandhu, S. S. (2021).** Bioactive molecules of endophytic fungi and their potential in anticancer drug development. *Current Pharmacology Reports*, 7, 27-41.
- Kurapov, P. B., & Bakhtenko, E. Y. (2018).** Gold nanoparticles in the diagnosis and treatment of cancer. *Bulletin of Russian State Medical University*, (6), 79-85
- Kushwaha, A., Singh, V. K., Bhartariya, J., Singh, P., & Yasmeen, K. (2015).** Isolation and identification of E. coli bacteria for the synthesis of silver nanoparticles: characterization of the particles and study of antibacterial activity. *Eur J Exp Biol*, 5(1), 65-70.
- Lata, R., Chowdhury, S., Gond, S. K., & White Jr, J. F. (2018).** Induction of abiotic stress tolerance in plants by endophytic microbes. *Letters in applied microbiology*, 66(4), 268-276.
- Lee, E., Jeon, H., Lee, M., Ryu, J., Kang, C., Kim, S., & Kwon, Y. (2019).** Molecular origin of AuNPs-induced cytotoxicity and mechanistic study. *Scientific reports*, 9(1), 1-13.

- Lee, K. X., Shameli, K., Yew, Y. P., Teow, S. Y., Jahangirian, H., Rafiee-Moghaddam, R., & Webster, T. J. (2020).** Recent developments in the facile bio-synthesis of gold nanoparticles (AuNPs) and their biomedical applications. *International journal of nanomedicine*, *15*, 275.
- Li, J., Li, Q., Ma, X., Tian, B., Li, T., Yu, J., & Hua, Y. (2016).** Biosynthesis of gold nanoparticles by the extreme bacterium *Deinococcus radiodurans* and an evaluation of their antibacterial properties. *International journal of nanomedicine*, *11*, 5931.
- Lin, P. C., Lin, S., Wang, P. C., & Sridhar, R. (2014).** Techniques for physicochemical characterization of nanomaterials. *Biotechnology advances*, *32*(4), 711-726.
- Lin, G., Revia, R. A., & Zhang, M. (2021).** Inorganic Nanomaterial-Mediated Gene Therapy in Combination with Other Antitumor Treatment Modalities. *Advanced Functional Materials*, *31*(5), 2007096.
- Liu, R., Pei, Q., Shou, T., Zhang, W., Hu, J., & Li, W. (2019).** Apoptotic effect of green synthesized gold nanoparticles from *Curcuma wenyujin* extract against human renal cell carcinoma A498 cells. *International Journal of Nanomedicine*, *14*, 4091.
- Louis, C., & Pluchery, O. (Eds.). (2017).** Gold nanoparticles for physics, chemistry and biology. *World Scientific*.
- Lukong, K. E. (2017).** Understanding breast cancer–The long and winding road. *BBA clinical*, *7*, 64-77.
- Lv, Q., Zhang, B., Xing, X., Zhao, Y., Cai, R., Wang, W., & Gu, Q.**

- (2018). Biosynthesis of copper nanoparticles using *Shewanella loihica* PV-4 with antibacterial activity: Novel approach and mechanisms investigation. *Journal of hazardous materials*, 347, 141-149.
- Madani, S. Z. M., Safae, M. M., Gravely, M., Silva, C., Kennedy, S., Bothun, G. D., & Roxbury, D. (2020).** Carbon nanotube–liposome complexes in hydrogels for controlled drug delivery via near-infrared laser stimulation. *ACS Applied Nano Materials*, 4(1), 331-342.
- Madkour, L. H. (2019).** Introduction to nanotechnology (NT) and nanomaterials (NMs). *In Nanoelectronic Materials* (pp. 1-47). Springer, Cham.
- Maghsoudnia, N., Eftekhari, R. B., Sohi, A. N., Zamzami, A., & Dorkoosh, F. A. (2020).** Application of nano-based systems for drug delivery and targeting: a review. *Journal of Nanoparticle Research*, 22(8), 1-41.
- Manisha, D. R., Ramchander, M., Prashanthi, Y., & Pratap, M. P. R. (2014).** Phototrophic bacteria mediated synthesis, characterisation and antibacterial activity of silver nanoparticles. *Nanosci Nanotechnol Int J*, 4(2), 20-24.
- Manjunath, H. M., Joshi, C. G., & Raju, N. G. (2017).** Biofabrication of gold nanoparticles using marine endophytic fungus–*Penicillium citrinum*. *IET nanobiotechnology*, 11(1), 40-44.
- Mansoori, B., Mohammadi, A., Davudian, S., Shirjang, S., &**

- Baradaran, B. (2017).** The different mechanisms of cancer drug resistance: a brief review. *Advanced pharmaceutical bulletin*, 7(3), 339.
- Matteucci, F., Giannantonio, R., Calabi, F., Agostiano, A., Gigli, G., & Rossi, M. (2018, July).** Deployment and exploitation of nanotechnology nanomaterials and nanomedicine. *In AIP conference proceedings* (Vol. 1990, No. 1, p. 020001). AIP Publishing LLC.
- Mikhailova, E. O. (2021).** Gold Nanoparticles: Biosynthesis and Potential of Biomedical Application. *Journal of Functional Biomaterials*, 12(4), 70.
- Misra, M., Sachan, A., & Sachan, S. G. (2021).** Role of fungal endophytes in the green synthesis of nanoparticles and the mechanism. *In Fungi Bio-Prospects in Sustainable Agriculture, Environment and Nano-technology* (pp. 489-513). Academic Press.
- Mohamad Nor, N., & Wazir, M. (2022).** Pb<sup>2+</sup> Removal by Using Activated Coconut Waste Modified with Different Metal Oxide Nanoparticles. *ESTEEM Academic Journal*, 18, 1-10.
- Molnár, Z., Bódai, V., Szakacs, G., Erdélyi, B., Fogarassy, Z., Sáfrán, G., ... & Lagzi, I. (2018).** Green synthesis of gold nanoparticles by thermophilic filamentous fungi. *Scientific reports*, 8(1), 1-12.
- Moraga, N. B., Irazusta, V., Amoroso, M. J., & Rajal, V. B. (2017).** Bio-precipitates produced by two autochthonous boron tolerant

Streptomyces strains. *Journal of environmental chemical engineering*, 5(4), 3373-3383.

**Muddapur, U. M., Alshehri, S., Ghoneim, M. M., Mahnashi, M. H., Alshahrani, M. A., Khan, A. A., ... & Ahmad, M. Z. (2022).** Plant-Based Synthesis of Gold Nanoparticles and Theranostic Applications: A Review. *Molecules*, 27(4), 1391.

**Mughal, B., Zaidi, S. Z. J., Zhang, X., & Hassan, S. U. (2021).** Biogenic nanoparticles: Synthesis, characterisation and applications. *Applied Sciences*, 11(6), 2598.

**Mulvaney, P. (2015).** Nanoscience vs Nanotechnology □ Defining the Field. *ACS nano*, 9(3), 2215-2217.

**Mulvihill, J. J., Cunnane, E. M., Ross, A. M., Duskey, J. T., Tosi, G., & Grabrucker, A. M. (2020).** Drug delivery across the blood–brain barrier: recent advances in the use of nanocarriers. *Nanomedicine*, 15(2), 205-214

**Munawer, U., Raghavendra, V. B., Ningaraju, S., Krishna, K. L., Ghosh, A. R., Melappa, G., & Pugazhendhi, A. (2020).** Biofabrication of gold nanoparticles mediated by the endophytic *Cladosporium* species: Photodegradation, in vitro anticancer activity and in vivo antitumor studies. *International Journal of Pharmaceutics*, 588, 119729.

**Nadaf, N. Y., & Kanase, S. S. (2019).** Biosynthesis of gold nanoparticles by *Bacillus marisflavi* and its potential in catalytic dye degradation. *Arabian Journal of Chemistry*, 12(8), 4806-4814.

- Nangare, S. N., & Patil, P. O. (2020).** Affinity-based nanoarchitected biotransducer for sensitivity enhancement of surface plasmon resonance sensors for in vitro diagnosis: a review. *ACS Biomaterials Science & Engineering*, 7(1), 2-30.
- Netala, V. R., Bukke, S., Domdi, L., Soneya, S., G. Reddy, S., Bethu, M. S., ... & Tartte, V. (2018).** Biogenesis of silver nanoparticles using leaf extract of *Indigofera hirsuta* L. and their potential biomedical applications (3-in-1 system). *Artificial cells, nanomedicine, and biotechnology*, 46(sup1), 1138-1148.
- Neyaz, N., Siddiqui, W. A., & Nair, K. K. (2014).** Application of surface functionalized iron oxide nanomaterials as a nanosorbents in extraction of toxic heavy metals from ground water: a review. *International Journal of Environmental Sciences*, 4(4), 472.
- Niranjan Dhanasekar, N., Ravindran Rahul, G., Badri Narayanan, K., Raman, G., & Sakthivel, N. (2015).** Green chemistry approach for the synthesis of gold nanoparticles using the fungus *Alternaria* sp. *Journal of microbiology and biotechnology*, 25(7), 1129-1135.
- Nur, Y. (2013).** *Gold nanoparticles: synthesis, characterisation and their effect on Pseudomonas fluorescens* (Doctoral dissertation, University of Birmingham).
- Ogarev, V. A., Rudoi, V. M., & Dement'Eva, O. V. (2018).** Gold nanoparticles: synthesis, optical properties, and application. *Inorganic Materials: Applied Research*, 9(1), 134-140.

- Okamoto, T., Nakamura, T., Sakota, K., & Yatsuhashi, T. (2019).** Synthesis of single-nanometer-sized gold nanoparticles in liquid–liquid dispersion system by femtosecond laser irradiation. *Langmuir*, 35(37), 12123-12129.
- Ovais, M., Khalil, A. T., Ayaz, M., Ahmad, I., Nethi, S. K., & Mukherjee, S. (2018).** Biosynthesis of metal nanoparticles via microbial enzymes: a mechanistic approach. *International journal of molecular sciences*, 19(12), 4100.
- Owaid, M. N., Rabeea, M. A., Aziz, A. A., Jameel, M. S., & Dheyab, M. A. (2019).** Mushroom-assisted synthesis of triangle gold nanoparticles using the aqueous extract of fresh *Lentinula edodes* (shiitake), *Omphalotaceae*. *Environmental Nanotechnology, Monitoring & Management*, 12, 100270.
- Pandey, P., & Dahiya, M. (2016).** A brief review on inorganic nanoparticles. *J Crit Rev*, 3(3), 18-26.
- Parsa, R. (2011).** *Nanoelectromechanical relays for low power applications*. Stanford University.
- Parveen, M., Kumar, A., Khan, M. S., Rehman, R., Furkan, M., Khan, R. H., & Nami, S. A. (2022).** Comparative study of biogenically synthesized silver and gold nanoparticles of *Acacia auriculiformis* leaves and their efficacy against Alzheimer's and Parkinson's disease. *International Journal of Biological Macromolecules*, 203, 292-301.
- Patil, M. P., Bayaraa, E., Subedi, P., Piad, L. L. A., Tarte, N. H., & Kim, G. D. (2019).** Biogenic synthesis, characterization of gold

nanoparticles using *Lonicera japonica* and their anticancer activity on HeLa cells. *Journal of Drug Delivery Science and Technology*, 51, 83-90.

**Patkar, N. B., Sharan, M., & Twain, M. (2019).** Did Nanotechnology Flourish During the Roman Empire and Medieval Periods?. *History of Nanotechnology: From Pre-Historic to Modern Times*, 113-140.

**Patra, S., Mukherjee, S., Barui, A. K., Ganguly, A., Sreedhar, B., & Patra, C. R. (2015).** Green synthesis, characterization of gold and silver nanoparticles and their potential application for cancer therapeutics. *Materials Science and Engineering: C*, 53, 298-309.

**Paul, W., & Sharma, C. P. (2020).** Inorganic nanoparticles for targeted drug delivery. *Biointegration of medical implant materials*, 333-373.

**Peng, J., & Liang, X. (2019).** Progress in research on gold nanoparticles in cancer management. *Medicine*, 98(18).

**Pourali, P., Badiie, S. H., Manafi, S., Noorani, T., Rezaei, A., & Yahyaei, B. (2017).** Biosynthesis of gold nanoparticles by two bacterial and fungal strains, *Bacillus cereus* and *Fusarium oxysporum*, and assessment and comparison of their nanotoxicity in vitro by direct and indirect assays. *Electronic Journal of Biotechnology*, 29, 86-93.

**Pourali, P., Yahyaei, B., & Afsharnezhad, S. (2018).** Bio-synthesis of gold nanoparticles by *Fusarium oxysporum* and assessment of their conjugation possibility with two types of  $\beta$ -lactam antibiotics



without any additional linkers. *Microbiology*, 87(2), 229-237.

**Prema, P., Iniya, P. A., & Immanuel, G. (2016).** Microbial mediated synthesis, characterization, antibacterial and synergistic effect of gold nanoparticles using *Klebsiella pneumoniae* (MTCC-4030). *RSC advances*, 6(6), 4601-4607.

**Purohit, J., Chattopadhyay, A., & Singh, N. K. (2019).** Green synthesis of microbial nanoparticle: *approaches to application*. In *Microbial Nanobionics* (pp. 35-60). Springer, Cham.

**Qian, L., Su, W., Wang, Y., Dang, M., Zhang, W., & Wang, C. (2019).** Synthesis and characterization of gold nanoparticles from aqueous leaf extract of *Alternanthera sessilis* and its anticancer activity on cervical cancer cells (HeLa). *Artificial cells, nanomedicine, and biotechnology*, 47(1), 1173-1180.

**Qin, W., Wang, C. Y., Ma, Y. X., Shen, M. J., Li, J., Jiao, K., ... & Niu, L. N. (2020).** Microbe-Mediated Extracellular and Intracellular Mineralization: Environmental, Industrial, and Biotechnological Applications. *Advanced Materials*, 32(22), 1907833.

**Qu, R., Zhang, W., Liu, N., Zhang, Q., Liu, Y., Li, X., ... & Feng, L. (2018).** Antioil Ag<sub>3</sub>PO<sub>4</sub> nanoparticle/polydopamine/Al<sub>2</sub>O<sub>3</sub> sandwich structure for complex wastewater treatment: dynamic catalysis under natural light. *ACS Sustainable Chemistry & Engineering*, 6(6), 8019-8028.

**Qureshi, A., Blaisi, N. I., Abbas, A. A., Khan, N. A., & Rehman, S. (2021).** Prospectus and development of microbes mediated

synthesis of nanoparticles. In *Microbial nanotechnology: Green synthesis and applications* (pp. 1-15). Springer, Singapore.

**Rafique, M., Tahir, M. B., Rafique, M. S., & Hamza, M. (2020).** History and fundamentals of nanoscience and nanotechnology. In *Nanotechnology and photocatalysis for environmental applications* (pp. 1-25). Elsevier.

**Rajan, M., Krishnan, P., Pradeepkumar, P., Jeyanthinath, M., Jeyaraj, M., Ling, M. P., ... & Kumar, S. S. (2017).** Magneto-chemotherapy for cervical cancer treatment with camptothecin loaded Fe<sub>3</sub>O<sub>4</sub> functionalized  $\beta$ -cyclodextrin nanovehicle. *RSC advances*, 7(73), 46271-46285

**Rajathi, F. A. A., Parthiban, C., Kumar, V. G., & Anantharaman, P. (2012).** Biosynthesis of antibacterial gold nanoparticles using brown alga, *Stoechospermum marginatum* (kützing). *Spectrochimica Acta Part A: Molecular and Biomolecular Spectroscopy*, 99, 166-173.

**Ramalingam, V. (2019).** Multifunctionality of gold nanoparticles: Plausible and convincing properties. *Advances in Colloid and Interface Science*, 271, 101989.

**Ramezani, N., Ehsanfar, Z., Shamsa, F., Amin, G., Shahverdi, H. R., Esfahani, H. R. M., ... & Shahverdi, A. R. (2008).** Screening of medicinal plant methanol extracts for the synthesis of gold nanoparticles by their reducing potential. *Zeitschrift für Naturforschung B*, 63(7), 903-908.

**Rao, C. N. R., Kulkarni, G. U., Thomas, P. J., & Edwards, P. P.**

- (2002). Size-dependent chemistry: properties of nanocrystals. *Chemistry—A European Journal*, 8(1), 28-35.
- Rao, C. V., Asch, A. S., & Yamada, H. Y. (2017).** Frequently mutated genes/pathways and genomic instability as prevention targets in liver cancer. *Carcinogenesis*, 38(1), 2-11.
- Rastogi, S., Kumari, V., Sharma, V., & Ahmad, F. J. (2021).** Gold Nanoparticle-based Sensors in Food Safety Applications. *Food Analytical Methods*, 1-17.
- Riggio, A. I., Varley, K. E., & Welm, A. L. (2021).** The lingering mysteries of metastatic recurrence in breast cancer. *British journal of cancer*, 124(1), 13-26.
- Ritter, P. M., Marti, A., Blanc, C., Baltzer, A., Krajewski, S., Reed, J. C., & Jaggi, R. (2000).** Nuclear localization of procaspase-9 and processing by a caspase-3-like activity in mammary epithelial cells. *European journal of cell biology*, 79(5), 358-364.
- Rónavári, A., Igaz, N., Adamecz, D. I., Szerencsés, B., Molnar, C., Kónya, Z., ... & Kiricsi, M. (2021).** Green silver and gold nanoparticles: Biological synthesis approaches and potentials for biomedical applications. *Molecules*, 26(4), 844.
- Rostamizadeh, L., Fakhrjou, A., Montazeri, V., Estiar, M. A., Naghavi-Behzad, M., Hosseini, S., ... & Sakhinia, E. (2013).** Bcl-2 gene expression in human breast cancers in iran. *Asian Pacific Journal of Cancer Prevention*, 14(7), 4209-4214.
- Roy, S., Das, T. K., Maiti, G. P., & Basu, U. (2016).** Microbial

biosynthesis of nontoxic gold nanoparticles. *Materials Science and Engineering: B*, 203, 41-51.

**Roychoudhury, P., Dąbek, P., Gloc, M., Golubeva, A., Dobrucka, R., Kurzydłowski, K., & Witkowski, A. (2021).** Reducing Efficiency of Fucoxanthin in Diatom Mediated Biofabrication of Gold Nanoparticles. *Materials*, 14(15), 4094.

**Safaepour, M., Shahverdi, A. R., Shahverdi, H. R., Khorramizadeh, M. R., & Gohari, A. R. (2009).** Green synthesis of small silver nanoparticles using geraniol and its cytotoxicity against fibrosarcoma-wehi 164. *Avicenna journal of medical biotechnology*, 1(2), 111.

**Sangour, M.H.; Ali, I.M.; Atwan, Z.W. and Al-Ali, A.A. (2021).** Effect of Ag nanoparticles on viability of MCF-& and Vero cell lines and gene expression of apoptotic genes. *Egyptian Journal of Medical Human Genetics*, 22:9.

**Sanna, V., Pala, N., Dessi, G., Manconi, P., Mariani, A., Dedola, S., ... & Sechi, M. (2014).** Single-step green synthesis and characterization of gold-conjugated polyphenol nanoparticles with antioxidant and biological activities. *International journal of nanomedicine*, 9, 4935.

**Sana, S. S., Singh, R. P., Sharma, M., Srivastava, A. K., Manchanda, G., Rai, A. R., & Zhang, Z. J. (2021).** Biogenesis and application of nickel nanoparticles: A review. *Current Pharmaceutical Biotechnology*, 22(6), 808-822.

**Saravanan, M., Barik, S. K., MubarakAli, D., Prakash, P., &**

- Pugazhendhi, A. (2018).** Synthesis of silver nanoparticles from *Bacillus brevis* (NCIM 2533) and their antibacterial activity against pathogenic bacteria. *Microbial pathogenesis*, 116, 221-226.
- Sardul, S. S., Harshita, S., & Shyamji, S. (2017).** Biosynthesis of silver nanoparticles by endophytic fungi: Its mechanism, characterization techniques and antimicrobial potential. *African Journal of Biotechnology*, 16(14), 683-698.
- Sathishkumar, M., Pavagadhi, S., Mahadevan, A., & Balasubramanian, R. (2015).** Biosynthesis of gold nanoparticles and related cytotoxicity evaluation using A549 cells. *Ecotoxicology and environmental safety*, 114, 232-240.
- Seca, A. M., & Pinto, D. C. (2018).** Plant secondary metabolites as anticancer agents: successes in clinical trials and therapeutic application. *International journal of molecular sciences*, 19(1), 263.
- Senapati, S., Mahanta, A. K., Kumar, S., & Maiti, P. (2018).** Controlled drug delivery vehicles for cancer treatment and their performance. *Signal transduction and targeted therapy*, 3(1), 1-19.
- Shabestarian, H., Homayouni-Tabrizi, M., Soltani, M., Namvar, F., Azizi, S., Mohamad, R., & Shabestarian, H. (2016).** Green synthesis of gold nanoparticles using sumac aqueous extract and their antioxidant activity. *Materials Research*, 20, 264-270.
- Shah, M., Fawcett, D., Sharma, S., Tripathy, S. K., & Poinern, G.**

- E. J. (2015).** Green synthesis of metallic nanoparticles via biological entities. *Materials*, 8(11), 7278-7308.
- Sharma, H., Rai, A. K., Dahiya, D., Chettri, R., & Nigam, P. S. (2021).** Exploring endophytes for in vitro synthesis of bioactive compounds similar to metabolites produced in vivo by host plants. *AIMS microbiology*, 7(2), 175.
- Shen, W., Qu, Y., Pei, X., Li, S., You, S., Wang, J., ... & Zhou, J. (2017).** Catalytic reduction of 4-nitrophenol using gold nanoparticles biosynthesized by cell-free extracts of *Aspergillus* sp. WL-Au. *Journal of hazardous materials*, 321, 299-306.
- Shi, W. (2021).** Application of Multifunctional Nanomaterials Combined with Sports Rehabilitation Training in the Diagnosis and Treatment of Cardiovascular Diseases. *Integrated Ferroelectrics*, 216(1), 81-93.
- Siddiqi, K. S., & Husen, A. (2017).** Recent advances in plant-mediated engineered gold nanoparticles and their application in biological system. *Journal of Trace Elements in Medicine and Biology*, 40, 10-23.
- Siddique, R. H., Gomard, G., & Hölscher, H. (2015).** The role of random nanostructures for the omnidirectional anti-reflection properties of the glasswing butterfly. *Nature communications*, 6(1), 1-8.
- Siegel, R., DeSantis, C., Virgo, K., Stein, K., Mariotto, A., Smith, T., ... & Ward, E. (2012).** Cancer treatment and survivorship statistics, 2012. *CA: a cancer journal for clinicians*, 62(4), 220-

241.

**Singh, D. K., Kumar, J., Sharma, V. K., Verma, S. K., Singh, A., Kumari, P., & Kharwar, R. N. (2018a).** Mycosynthesis of bactericidal silver and polymorphic gold nanoparticles: *physicochemical variation effects and mechanism. Nanomedicine, 13(2), 191-207.*

**Singh, P., Pandit, S., Mokkaapati, V. R. S. S., Garg, A., Ravikumar, V., & Mijakovic, I. (2018b).** Gold nanoparticles in diagnostics and therapeutics for human cancer. *International journal of molecular sciences, 19(7), 1979.*

**Slama, H. B., Chenari Bouket, A., Alenezi, F. N., Pourhassan, Z., Golińska, P., Oszako, T., & Belbahri, L. (2021).** Potentials of endophytic fungi in the biosynthesis of versatile secondary metabolites and enzymes. *Forests, 12(12), 1784.*

**So, W. K., Law, B. M., Ng, M. S., He, X., Chan, D. N., Chan, C. W., & McCarthy, A. L. (2021).** Symptom clusters experienced by breast cancer patients at various treatment stages: *A systematic review. Cancer Medicine, 10(8), 2531-2565.*

**Soltani Nejad, M., Samandari Najafabadi, N., Aghighi, S., Pakina, E., & Zargar, M. (2022).** Evaluation of *Phoma* sp. Biomass as an Endophytic Fungus for Synthesis of Extracellular Gold Nanoparticles with Antibacterial and Antifungal Properties. *Molecules, 27(4), 1181.*

**Song, W. C., Kim, B., Park, S. Y., Park, G., & Oh, J. W. (2022).** Biosynthesis of silver and gold nanoparticles using *Sargassum*

---

---

horneri extract as catalyst for industrial dye degradation. *Arabian Journal of Chemistry*, 15(9), 104056.

**Speed, D., Westerhoff, P., Sierra-Alvarez, R., Draper, R., Pantano, P., Aravamudhan, S., ... & Shadman, F. (2015).** Physical, chemical, and in vitro toxicological characterization of nanoparticles in chemical mechanical planarization suspensions used in the semiconductor industry: towards environmental health and safety assessments. *Environmental Science: Nano*, 2(3), 227-244.

**Srinath, B. S., Namratha, K., & Byrappa, K. (2018).** Eco-friendly synthesis of gold nanoparticles by *Bacillus subtilis* and their environmental applications. *Advanced Science Letters*, 24(8), 5942-5946.

**Subhan, M. A., Attia, S. A., & Torchilin, V. P. (2021).** Advances in siRNA delivery strategies for the treatment of MDR cancer. *Life Sciences*, 274, 119337.

**Subramani, K., Elhissi, A., Subbiah, U., & Ahmed, W. (2019).** Introduction to nanotechnology. In *Nanobiomaterials in clinical dentistry* (pp. 3-18). Elsevier.

**Sunderam, V., Thiyagarajan, D., Lawrence, A. V., Mohammed, S. S. S., & Selvaraj, A. (2019).** In-vitro antimicrobial and anticancer properties of green synthesized gold nanoparticles using *Anacardium occidentale* leaves extract. *Saudi Journal of Biological Sciences*, 26(3), 455-459.



- Sutan, N. A., Manolescu, D. S., Fierascu, I., Neblea, A. M., Sutan, C., Ducu, C., ... & Fierascu, R. C. (2018).** Phytosynthesis of gold and silver nanoparticles enhance in vitro antioxidant and mitostimulatory activity of *Aconitum toxicum* Reichenb. rhizomes alcoholic extracts. *Materials Science and Engineering: C*, 93, 746-758.
- Taha, Z. K., Hawar, S. N., & Sulaiman, G. M. (2019).** Extracellular biosynthesis of silver nanoparticles from *Penicillium italicum* and its antioxidant, antimicrobial and cytotoxicity activities. *Biotechnology letters*, 41(8), 899-914.
- Tao, A. R., Habas, S., & Yang, P. (2008).** Shape control of colloidal metal nanocrystals. *small*, 4(3), 310-325.
- Taylor, M. W. (2014).** *A history of cell culture. In Viruses and man: a history of interactions* (pp. 41-52). Springer, Cham.
- Terna, T. P., Mohamed Nor, N. M. I., & Zakaria, L. (2022).** Histopathology of Corn Plants Infected by Endophytic Fungi. *Biology*, 11(5), 641.
- Testa, U., Castelli, G., & Pelosi, E. (2020).** Breast cancer: a molecularly heterogenous disease needing subtype-specific treatments. *Medical Sciences*, 8(1), 18.
- Thakker, J. N., Dalwadi, P., & Dhandhukia, P. C. (2013).** Biosynthesis of gold nanoparticles using *Fusarium oxysporum* f. sp. cubense JT1, a plant pathogenic fungus. *International Scholarly Research Notices*, 2013
- Tripathi, G. K. (2019).** Engineered Nanomaterials And Their

Properties: A Review. *Biosci. Biotech. Res. Comm*, 12, 764-771.

**Tripathi, R. M., Shrivastav, B. R., & Shrivastav, A. (2018).** Antibacterial and catalytic activity of biogenic gold nanoparticles synthesised by *Trichoderma harzianum*. *IET nanobiotechnology*, 12(4), 509-513.

**Tufail, M., Cui, J., & Wu, C. (2022).** Breast cancer: molecular mechanisms of underlying resistance and therapeutic approaches. *American Journal of Cancer Research*, 12(7), 2920.

**Turasan, H., Cakmak, M., & Kokini, J. (2019).** Fabrication of zein-based electrospun nanofiber decorated with gold nanoparticles as a SERS platform. *Journal of Materials Science*, 54(12), 8872-8891.

**Umeno, A., Biju, V., & Yoshida, Y. (2017).** In vivo ROS production and use of oxidative stress-derived biomarkers to detect the onset of diseases such as Alzheimer's disease, Parkinson's disease, and diabetes. *Free radical research*, 51(4), 413-427.

**Uzma, M., Raghavendra, V. B., & Girisha, S. T. (2018).** Biogenesis of gold nanoparticles, role of fungal endophytes and evaluation of anticancer activity-A review. *Eur. J. Biomed. Pharm. Sci*, 5, 319-329.

**Van J, Shaw M, Grant-Downton R (2014).** Botrytis species: Relentless necrotrophic thugs or endophytes gone rogue? *Mol Plant Pathol* 15:957–961.

**Vaseghi, Z., Nematollahzadeh, A., & Tavakoli, O. (2018).** Green methods for the synthesis of metal nanoparticles using biogenic

reducing agents: a review. *Reviews in Chemical Engineering*, 34(4), 529-559.

**Vemuri, S. K., Banala, R. R., Mukherjee, S., Uppula, P., Subbaiah, G. P. V., AV, G. R., & Malarvilli, T. (2019).** Novel biosynthesized gold nanoparticles as anti-cancer agents against breast cancer: Synthesis, biological evaluation, molecular modelling studies. *Materials Science and Engineering: C*, 99, 417-429.

**Vinay, S. P., Sumedha, H. N., Shashank, M., Nagaraju, G., & Chandrasekhar, N. (2021).** In-vitro antibacterial, antioxidant and cytotoxic potential of gold nanoparticles synthesized using novel *Elaeocarpus ganitrus* seeds extract. *Journal of Science: Advanced Materials and Devices*, 6(1), 127-133.

**Vinasha, M., Palanisamy, S., Muthukrishnan, R., Selvam, S., Kannapiran, E., You, S., & Prabhu, N. M. (2019).** Biogenic synthesis of gold nanoparticles from *Halymenia dilatata* for pharmaceutical applications: Antioxidant, anti-cancer and antibacterial activities. *Process Biochemistry*, 85, 219-229.

**Waks, A. G., & Winer, E. P. (2019).** Breast cancer treatment: a review. *Jama*, 321(3), 288-300.

**Wang, R., Billone, P. S., & Mullett, W. M. (2013).** Nanomedicine in action: an overview of cancer nanomedicine on the market and in clinical trials. *Journal of Nanomaterials*, 2013.

**Wang, X. J., Chen, J. Y., Fu, L. Q., & Yan, M. J. (2020).** Recent advances in natural therapeutic approaches for the treatment of

cancer. *Journal of Chemotherapy*, 32(2), 53-65.

**Wickes, B. L., & Wiederhold, N. P. (2018).** Molecular diagnostics in medical mycology. *Nature communications*, 9(1), 1-13.

**Wu, S., Zhu, W., Thompson, P., & Hannun, Y. A. (2018).** Evaluating intrinsic and non-intrinsic cancer risk factors. *Nature communications*, 9(1), 1-12.

**Xie, Y. H., Chen, Y. X., & Fang, J. Y. (2020).** Comprehensive review of targeted therapy for colorectal cancer. *Signal transduction and targeted therapy*, 5(1), 1-30.

**Xie, Y., Lv, X., Luo, C., Hu, K., Gou, Q., Xie, K., & Zheng, H. (2017).** Surgery of the primary tumor improves survival in women with stage IV breast cancer in Southwest China: a retrospective analysis. *Medicine*, 96(22).

**Xu, Q., Gao, X., Zhao, S., Liu, Y. N., Zhang, D., Zhou, K., ... & Bowen, C. (2021).** Construction of Bio-Piezoelectric Platforms: From Structures and Synthesis to Applications. *Advanced Materials*, 33(27), 2008452.

**Yadav, V. K., Yadav, K. K., Cabral-Pinto, M. M., Choudhary, N., Gnanamoorthy, G., Tirth, V., ... & Khan, N. A. (2021).** The processing of calcium rich agricultural and industrial waste for recovery of calcium carbonate and calcium oxide and their application for environmental cleanup: A review. *Applied Sciences*, 11(9), 4212.

**Yang, W., Liang, H., Ma, S., Wang, D., & Huang, J. (2019).** Gold nanoparticle based photothermal therapy: Development and

application for effective cancer treatment. *Sustainable Materials and Technologies*, 22, e00109.

**Yang, X., Yang, M., Pang, B., Vara, M., & Xia, Y. (2015).** Gold nanomaterials at work in biomedicine. *Chemical reviews*, 115(19), 10410-10488.

**Zadeh, F. A., Bokov, D. O., Salahdin, O. D., Abdelbasset, W. K., Jawad, M. A., Kadhim, M. M., ... & Khatami, M. (2022).** Cytotoxicity evaluation of environmentally friendly synthesis Copper/Zinc bimetallic nanoparticles on MCF-7 cancer cells. *Rendiconti Lincei. Scienze Fisiche e Naturali*, 1-7.

**Zeh, G. (2020).** *Oligo-Aminoferrocenes for Cancer Treatment* (Doctoral dissertation, Friedrich-Alexander-Universität Erlangen-Nürnberg (FAU)).

**Zhang, X., Qu, Y., Shen, W., Wang, J., Li, H., Zhang, Z., ... & Zhou, J. (2016).** Biogenic synthesis of gold nanoparticles by yeast *Magnusiomyces ingens* LH-F1 for catalytic reduction of nitrophenols. *Colloids and Surfaces A: Physicochemical and Engineering Aspects*, 497, 280-285.

**Zhang, R. R., Schroeder, A. B., Grudzinski, J. J., Rosenthal, E. L., Warram, J. M., Pinchuk, A. N., ... & Weichert, J. P. (2017).** Beyond the margins: real-time detection of cancer using targeted fluorophores. *Nature reviews Clinical oncology*, 14(6), 347-364.

الملاحق

Appendix

ملحق رقم (1) يبين تسلسل القواعد النتروجينية للفطريات المعزولة من  
النباتات قيد الدراسة بإستعمال برنامج Blast

29. *Penicillium citrinum* isolate MEBP0016 436bp 100%  
[MT597829.1](#)

GGCCCCGCGCCCGCCGACGGCCCCCTGAACGCTGTCTGAAGTTGCAGTCTGAGACCT  
AT  
AACGAAATTAGTTAAACTTTCAACAACGGATCTCTTGGTTCCGGCATCGATGAAGAA  
CG  
CAGCGAAATGCGATAACTAATGTGAATTGCAGAATTCAGTGAATCATCGAGTCTTTGA  
AC  
GCACATTGCGCCCTCTGGTATTCCGGAGGGCATGCCTGTCCGAGCGTCATTGCTGCCCT  
C  
AAGCCCGGCTTGTGTGTTGGGCCCGTCCCCCGCCGGGGGGACGGGCCCGAAAGG  
CAG  
CGGCGGCACCGCGTCCGGTCCCTCGAGCGTATGGGGCTTCGTCACCCGCTCTAGTAGGC  
CC  
GGCCGGCGCCAGCCGACCCCAACCTTTAATTATCTCAGGTTGACCTCGGATCAGGTA  
GG  
GATACCCGCTGAACTT

30. *Aspergillus fumigatus* strain Zbf-R10 551bp 100%  
[KX064986.1](#)

CGAGTGAGGCCTCTGGGTCACCTCCCACCCGTGTCTATCGTACCTTG  
TTGCTTCGGCGGGCCCGCCGTTTCGACGGCCGCCGGGGAGGCCTTGC  
GCCCCGGGCCCGCGCCCGCCGAAGACCCCAACATGAACGCTGTTCT  
GAAAGTATGCAGTCTGAGTTGATTATCGTAATCAGTTAAAACCTTTCA  
ACAACGGATCTCTTGGTTCCGGCATCGATGAAGAACGCAGCGAAATG  
CGATAAGTAATGTGAATTGCAGAATTCAGTGAATCATCGAGTCTTTG  
AACGCACATTGCGCCCCCTGGTATTCCGGGGGGCATGCCTGTCCGAG  
CGTCATTGCTGCCCTCAAGCACGGCTTGTGTGTTGGGCCCCCGTCCC  
CCTCTCCCGGGGGACGGGCCCGAAAGGCAGCGGCGGCACCGCGTCCG  
GTCCTCGAGCGTATGGGGCTTTGTACCTGCTCTGTAGGCCCGGCCG  
GCGCCAGCCGACCCCAACTTTATTTTTCTAAGGTTGACCTCGGATC  
AGGTAGGGATAACCGCTGAACTTAAGCATATCAA

32 . *Aspergillus fumigatus* isolate UWR\_101 551 bp 99%  
[KY465755.1](#)

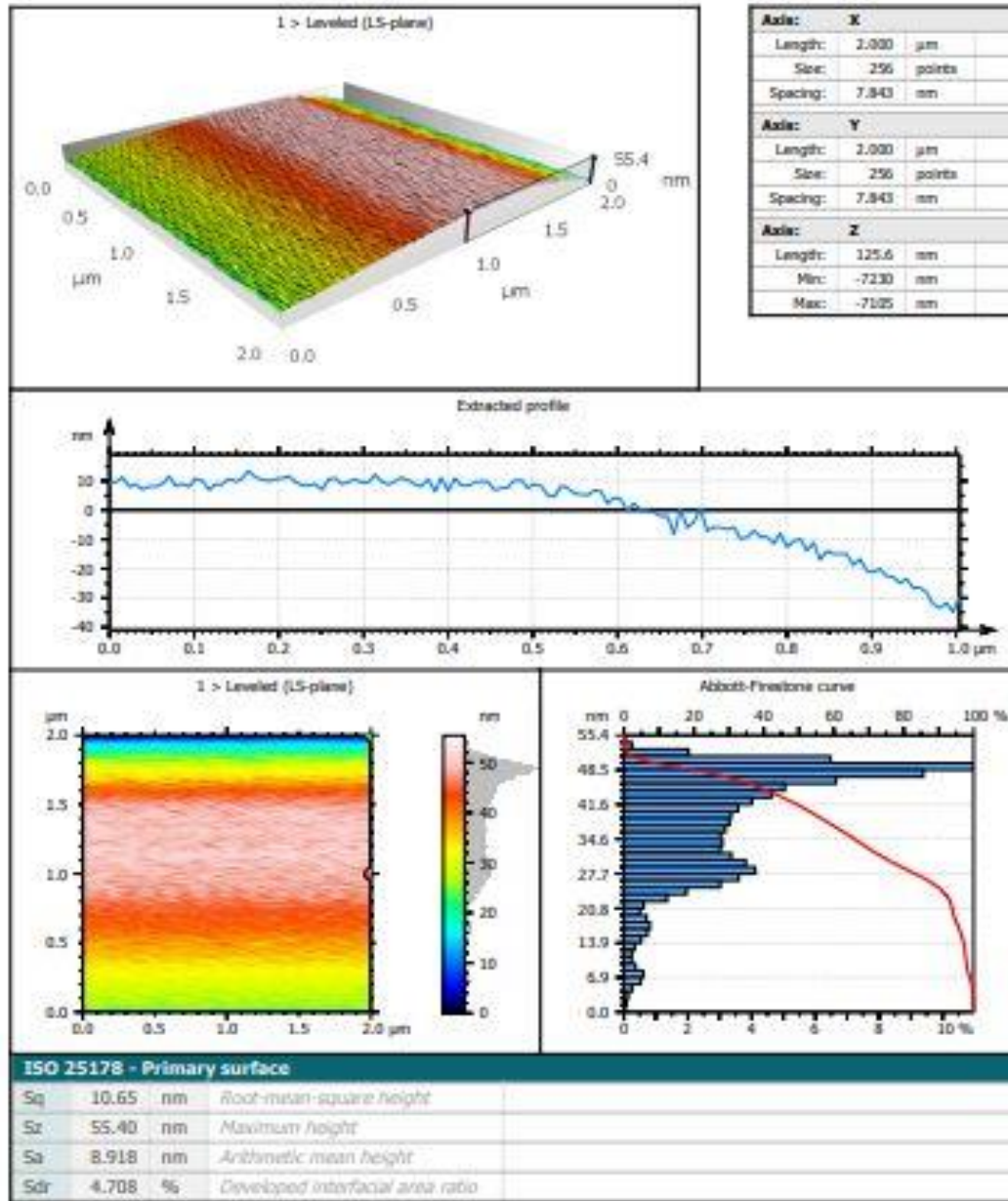
TTCGGAGTGAGACTCTGGGTCCACCTCCCACCCGTGTCTATCGTACC  
TTGTTGCTTCGGCGGGCCCGCCGTTTCGACGGCCGCCGGGGAGGCCT  
TGCGCCCCCGGGCCCGCGCCCGCCGAAGACCCCAACATGAACGCTGT  
TCTGAAAGTATGCAGTCTGAGTTGATTATCGTAATCAGTTAAACTT  
TCAACAACGGATCTCTTGGTTCCGGCATCGATGAAGAACGCAGCGAA  
ATGCGATAAGTAATGTGAATTGCAGAATTCAGTGAATCATCGAGTCT  
TTGAACGCACATTGCGCCCCCTGGTATTCCGGGGGGCATGCCTGTCC  
GAGCGTCATTGCTGCCCTCAAGCACGGCTTGTGTGTTGGGCCCCCGT  
CCCCCTCTCCCGGGGGACGGGCCCGAAAGGCAGCGGCGGCACCGCGT  
CCGGTCCCTCGAGCGTATGGGGCTTTGTACCTGCTCTGTAGGCCCGG  
CCGGCGCCAGCCGACACCCAACCTTTATTTTTCTAAGTTGACCTCGG  
ATCAGGTAGGGATACCCGCTGAACTTAAGCATATC

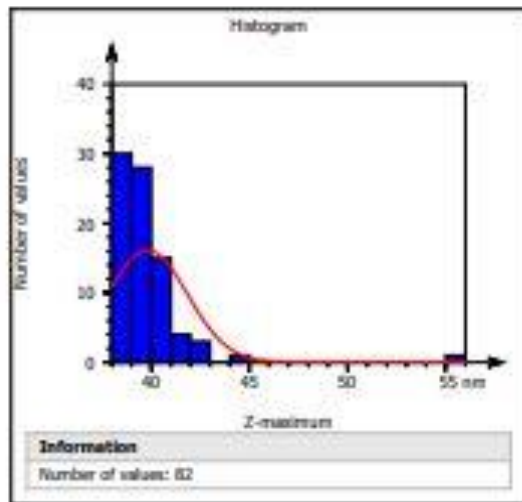
33 . *Aspergillus tubingensis* strain HRb 547 bp 100%  
[KU243047.1](#)

AGGGTCTTTGGGCCACCTCCCATCCGTGTCTATTATACCCTGTTGCT  
TCGGCGGGCCCGCCGCTTGTTCGGCCGCCGGGGGGGCGCCTTTGCCCC  
CCGGGCCCGTGCCCGCCGGAGACCCCAACACGAACACTGTCTGAAAG  
CGTGCAGTCTGAGTTGATTGAATGCAATCAGTTAAACTTTCAACAA  
TGGATCTCTTGGTTCCGGCATCGATGAAGAACGCAGCGAAATGCGAT  
AACTAATGTGAATTGCAGAATTCAGTGAATCATCGAGTCTTTGAACG  
CACATTGCGCCCCCTGGTATTCCGGGGGGCATGCCTGTCCGAGCGTC  
ATTGCTGCCCTCAAGCCCGGCTTGTGTGTTGGGTCGCCGTCCCCCTC  
TCCGGGGGGACGGGCCCGAAAGGCAGCGGCGGCACCGCGTCCGATCC  
TCGAGCGTATGGGGCTTTGTACATGCTCTGTAGGATTGGCCGGCGC  
CTGCCGACGTTTTCCAACCATTTTTTCCAGGTTGACCTCGGATCAGG  
TAGGGATACCCGCTGAACTTAAGCATATCA



ملحق رقم (2) يبين قراءات جسيمات الذهب النانوية المخلقة من الفطر  
*A. tubingensis* strain HRb بواسطة جهاز AFM





### ISO 25178 - Roughness (S-L)

F: (Work/face) Levelled (LS-plane)

S-filter (Ac): None

L-filter (Ac): Gaussian, 0.0008 mm

#### Height parameters

Sq	2.832	nm
Sk	-2.159	
Sku	11.47	
Sp	7.776	nm
Sv	19.27	nm
Sr	27.05	nm
Sa	1.884	nm

#### Functional parameters

Srr	100.0	%
Srrc	2.795	nm
Srp	7.782	nm

#### Spatial parameters

Ssl	0.1078	µm
Ssr	*****	
Sst	5.245	°
Ssv	0.01416	µm

#### Hybrid parameters

Sdq	0.3141	
Sdr	4.640	%

#### Functional parameters (Volume)

Vm	9.218e-05	µm <sup>3</sup> /µm <sup>2</sup>
Vv	0.002887	µm <sup>3</sup> /µm <sup>2</sup>
Vmp	9.218e-05	µm <sup>3</sup> /µm <sup>2</sup>
Vmc	0.00183	µm <sup>3</sup> /µm <sup>2</sup>
Vvc	0.00238	µm <sup>3</sup> /µm <sup>2</sup>
Vvv	0.0005073	µm <sup>3</sup> /µm <sup>2</sup>

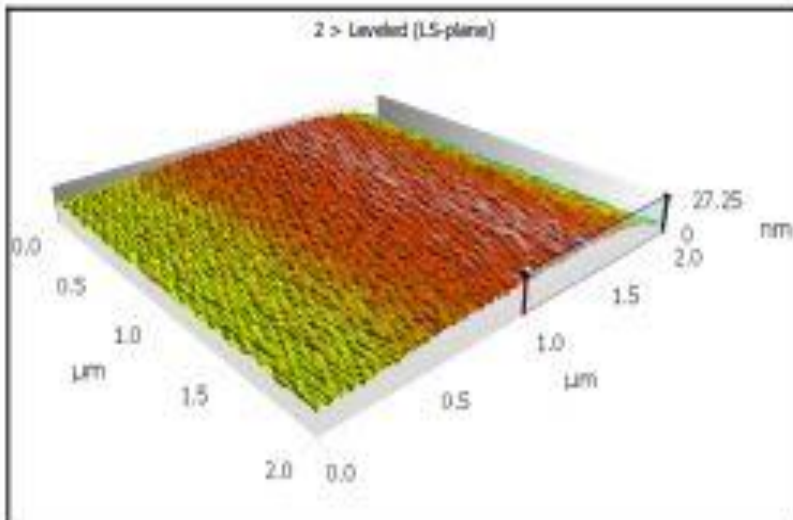
#### Functional parameters (Stratified surfaces)

Sk	5.004	nm
Spk	1.835	nm
Svk	8.099	nm
Srrk1	9.744	%
Srrk2	87.38	%
Spq	1.949	
Svq	7.600	
Srq	88.11	
Ssk1	89395	nm <sup>3</sup> /µm <sup>2</sup>
Ssk2	384738	nm <sup>3</sup> /µm <sup>2</sup>
Spkr	4.951	nm
Svkr	17.09	nm

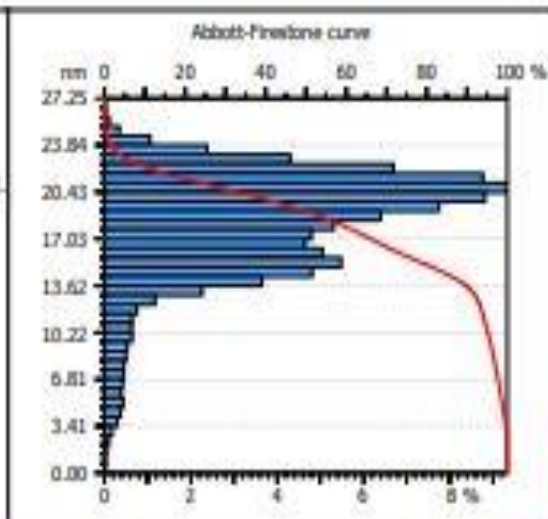
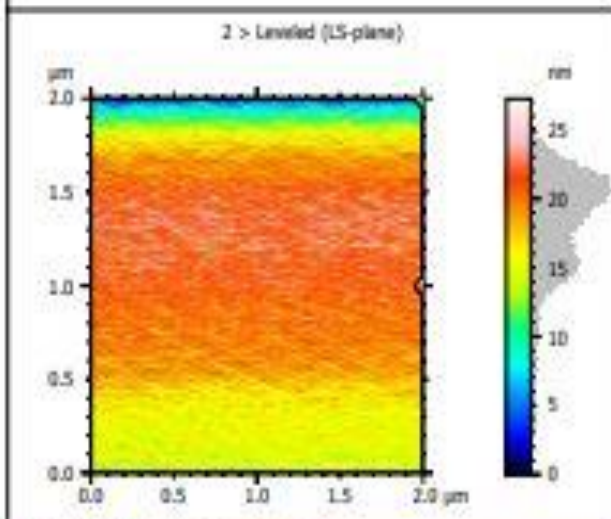
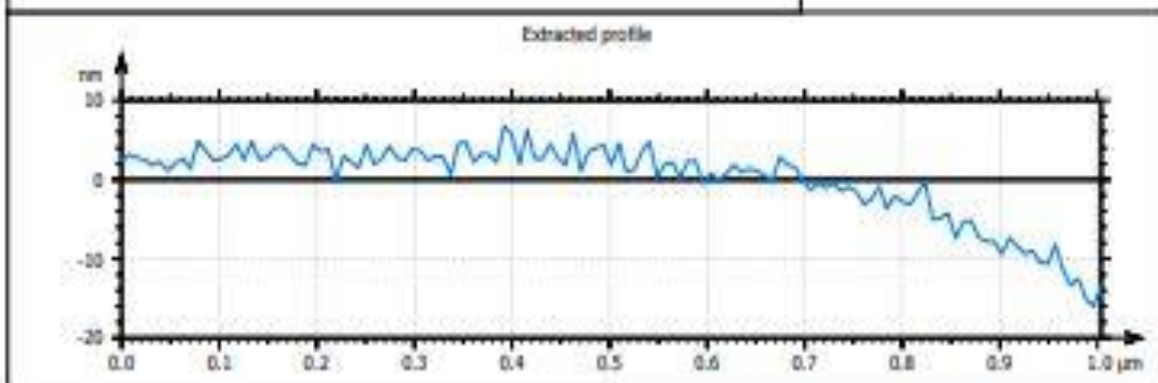
#### Warnings

Sr: The autocorrelation lobe touches the edges. Try to level the...

ملحق رقم (3) قراءات جهاز AFM لجسيمات الذهب النانوية المخلفة من  
 راسح الفطر *fumigatus* isolate AZ-AR123.

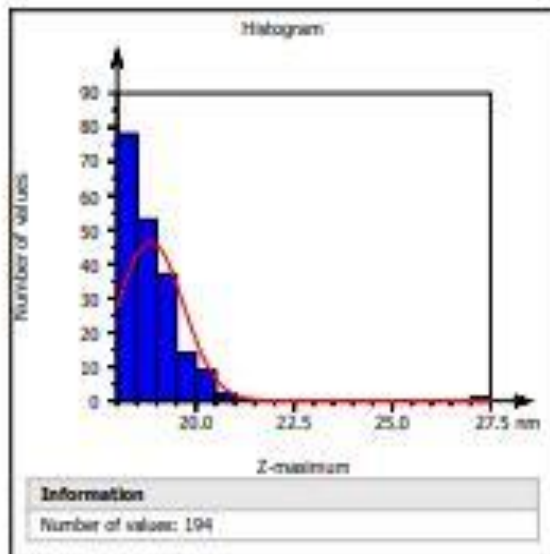


Axis:	X
Length:	2.000 $\mu\text{m}$
Size:	256 points
Spacing:	7.843 nm
Axis:	Y
Length:	2.000 $\mu\text{m}$
Size:	256 points
Spacing:	7.843 nm
Axis:	Z
Length:	42.57 nm
Min:	-6293 nm
Max:	-6290 nm



ISO 25178 - Primary surface

Sq	3.954 nm	Root-mean-square height
Sz	27.25 nm	Maximum height
Sa	3.088 nm	Arithmetic mean height
Sdr	2.732 %	Developed interfacial area ratio



### ISO 25178 - Roughness (S-L)

*P: [Workflow] Level1 (LS-plane)*

*S-filter (A): None*

*L-filter (A): Gaussian, 0.008 mm*

#### Height parameters

Sq	1.894	nm
Sk	-1.208	
Sku	6.917	
Sp	5.902	nm
Sv	10.82	nm
Sz	16.72	nm
Se	1.235	nm

#### Functional parameters

Sfn	100.0	%
Sfc	1.885	nm
Sfp	4.272	nm

#### Spatial parameters

Ssl	0.00796	µm
Ssr	*****	
Ssl	178.7	*
Ssw	0.00265	µm

#### Hybrid parameters

Sdq	0.2374	
Sdr	2.771	%

#### Functional parameters (Volume)

Vm	6.45e-05	µm <sup>3</sup> /µm <sup>2</sup>
Vv	0.00195	µm <sup>3</sup> /µm <sup>2</sup>
Vmp	6.45e-05	µm <sup>3</sup> /µm <sup>2</sup>
Vmc	0.001301	µm <sup>3</sup> /µm <sup>2</sup>
Vvc	0.001687	µm <sup>3</sup> /µm <sup>2</sup>
Vvv	0.000628	µm <sup>3</sup> /µm <sup>2</sup>

#### Functional parameters (Stratified surfaces)

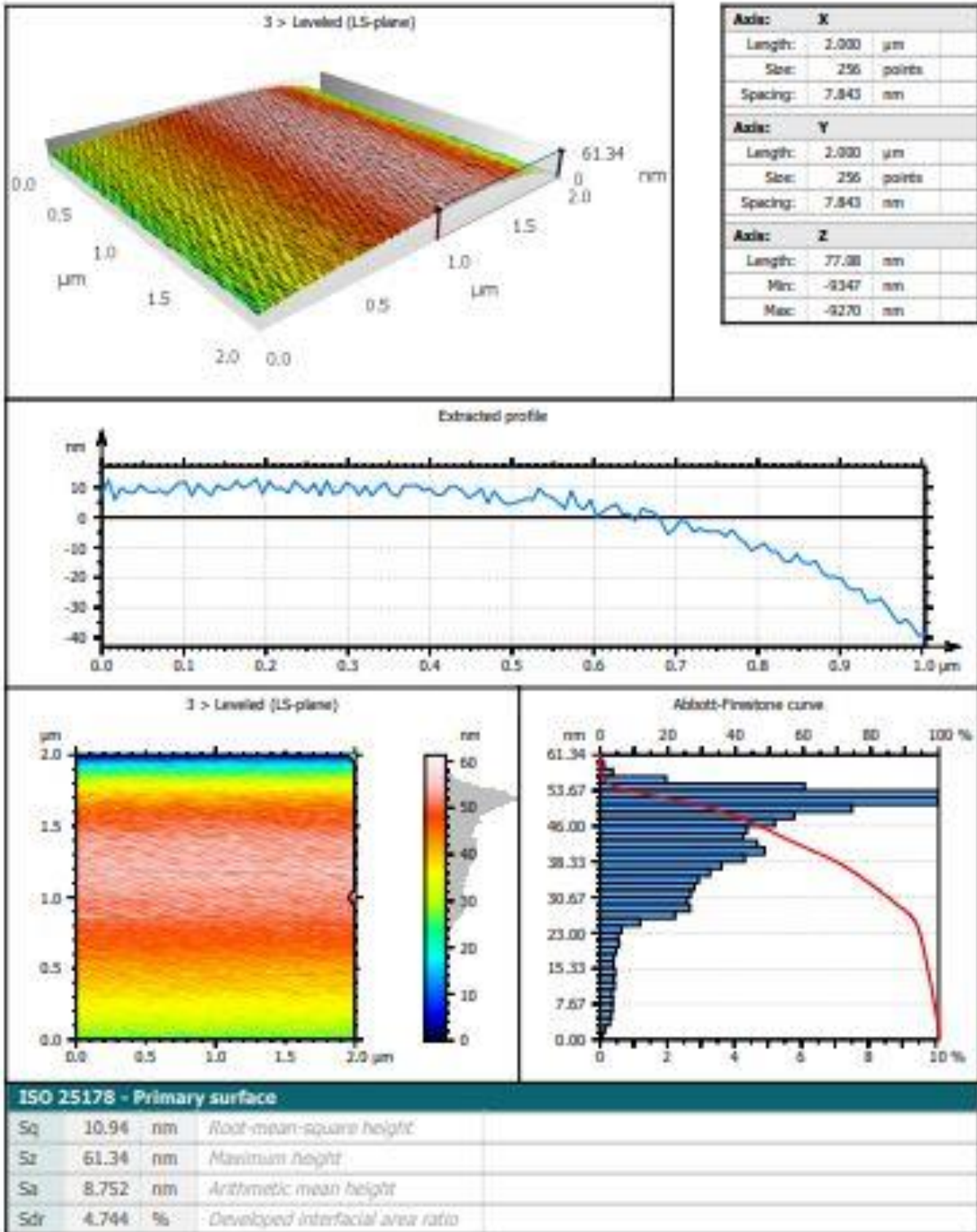
Sk	3.618	nm
Spk	1.274	nm
Svk	3.028	nm
Smrk1	9.280	%
Smrk2	88.49	%
Spq	1.383	
Svq	4.250	
Smp	91.46	
Sk1	59119	nm <sup>3</sup> /µm <sup>2</sup>
Sk2	174284	nm <sup>3</sup> /µm <sup>2</sup>
Spoc	3.960	nm
Svka	9.144	nm

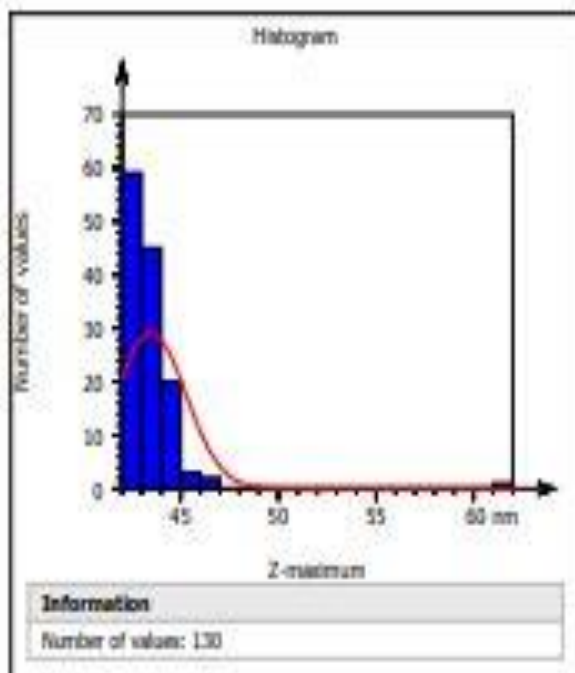
#### Warnings

*Sr: The autocorrelation lobe touches the edges. Try to level the...*



ملحق رقم (4) قراءات جهاز AFM لجسيمات الذهب النانوية المخلفة من  
 راشح الفطر *Penicillium citrinum* isolate MEBP0016





### ISO 25178 - Roughness (S-L)

*F:* [Workflow] Levelled (LS-plane)

*S-filter (fs):* None

*L-filter (fc):* Gaussian, 0.0008 mm

#### Height parameters

Sq	1.335	µm
Sk	-2.538	
Sku	13.20	
Sp	8.618	µm
Sv	23.12	µm
Sz	30.74	µm
Sa	2.121	µm

#### Functional parameters

Src	100.0	%
Src	3.069	µm
Srp	10.68	µm

#### Spatial parameters

Ssl	0.1070	µm
Str	*****	
Sld	0.7277	°
Ssv	0.01418	µm

#### Hybrid parameters

Sdq	0.3151	
Sdr	4.661	%

#### Functional parameters (Volume)

Vm	9.861e-05	µm <sup>3</sup> /µm <sup>2</sup>
Vv	0.003167	µm <sup>3</sup> /µm <sup>2</sup>
Vmp	9.861e-05	µm <sup>3</sup> /µm <sup>2</sup>
Vmc	0.001927	µm <sup>3</sup> /µm <sup>2</sup>
Vvc	0.002518	µm <sup>3</sup> /µm <sup>2</sup>
Vvv	0.0006494	µm <sup>3</sup> /µm <sup>2</sup>

#### Functional parameters (Stratified surfaces)

Sk	5.293	µm
Spk	1.958	µm
Skv	7.855	µm
Srrk1	9.775	%
Srrk2	86.86	%
Srpq	2.077	
Srvq	12.45	
Srnq	91.66	
Sak1	95713	mm <sup>2</sup> /µm <sup>2</sup>
Sak2	516887	mm <sup>2</sup> /µm <sup>2</sup>
Splc	5.516	µm
Svlc	19.93	µm

#### Warnings

*Str:* The autocorrelation lobe touches the edges. Try to level the...

**ملحق رقم (5) التحليل الاحصائي لجسيمات الذهب النانوية المحضرة مختبريا  
في فحص MTT**

Variate: الفطر الأول

Source of variation	d.f.	s.s.	m.s.	v.r.	F pr.
C1	2	6.620	3.310	0.98	0.411
Residual	9	30.270	3.363		
Total	11	36.890			

المتوسطات	1	2	3
	99.90	99.85	98.30

l.s.d.0.05 2.934 (N.S)  
cv% 1.8

\*\*\*\*\* Analysis of variance \*\*\*\*\*

Variate: الفطر الثاني

Source of variation	d.f.	s.s.	m.s.	v.r.	F pr.
C1	2	37.52	18.76	1.83	0.215
Residual	9	92.24	10.25		
Total	11	129.76			

المتوسطات	1	2	3
	95.70	99.40	99.50

l.s.d.0.05 5.121 (N.S)  
cv% 3.3

\*\*\*\*\* Analysis of variance \*\*\*\*\*

Variate: الفطر الثالث

Source of variation	d.f.	s.s.	m.s.	v.r.	F pr.
C1	2	2723.28	1361.64	73.05	<.001
Residual	9	167.76	18.64		
Total	11	2891.04			

المتوسطات	1	2	3
	A 99.7	B 70.6	B 65.5

l.s.d.0.05 6.91  
cv% 5.5

ملحق رقم (6) صور تبين جسيمات الذهب النانوية عند التنقية والتجفيف





## Summary

In the current study, samples of plant leaves (Aloe vera, Acacia, John) were collected on the period between November 2020-mid-January 2021 from different areas of Misan governorate such as the college of Pharmacy Garden, college of science and home garden. Plant samples were brought to the biotechnology laboratory at the faculty of science university of Misan, the numbers of fungi were isolated by surface sterilization method. The fungi were initially diagnosed with light microscopy, and then four types of endophyte fungi were diagnosed molecularly using polymerase chain reaction technique (PCR). The fungus *Aspergillus fumigatus* isolate AZ-RA123 was isolated and identified from the leaves of the aloe vera plant, the fungus *Penicillium citrinum* isolate MEBPOO16 was isolated and identified from the leaves of the seal plant, the fungus *Aspergillus fumigatus* strain Zbf-R10 and the fungus *Aspergillus tubingensis* strain HRb were isolated from the leaves of the acacia plant. Gold nanoparticles were prepared by mixing fungal filtrate with gold tetrachloride solution  $\text{HAuCl}_4 \cdot 3\text{H}_2\text{O}$ . The results showed a color change occurred as an indicator and preliminary evidence of the formation of gold nanoparticles, the gold nanoparticles was confirmed by examining the UV-Vis spectrophotometer,  $\lambda_{\text{max}}$  of samples were in the range of 548 -620 nm. The physical characterization of the biologically synthesized gold nanoparticles included X-ray diffraction, transmission electron microscope (TEM), scanning electron microscope (SEM), atomic force microscope (AFM), and zeta potential. The results showed that X-ray diffraction

examination revealed that the gold nanoparticles possess a face-centered cubic structure (FCC). The results of the TEM examination showed that their sizes range from 12–187 nm and that they have different shapes. The results of the atomic force microscope examination of the two- and three-dimensional images of the biosynthetic gold nanoparticles also proved that they have dimensions within the nanoscale. The results of the zeta examination showed that the gold nanoparticles acquired negative surface charges that helped their non-repulsion and stability at the values (-9.4, -9.1, -8.9) mV. Also, the anti-tumor biological activity against the breast cancer cell line MCF-7 was evaluated for gold nanoparticle solutions. It was found that gold nanoparticles prepared from *Penicillium citrinum* isolate MEBPOO16 only have anti-cancer activity at concentrations of 1000 and 500 µg/ml, with an inhibition rate of 35% and 30%, respectively, with a mechanism that is not depend on the activation of the enzyme caspase-3. The results of the statistical analysis confirmed the existence of significant differences between the concentrations that inhibit cancer cells at a significant level of 0.05. The effectiveness of gold nanoparticles prepared from *Aspergillus fumigatus* strain Zbf-R10 as antioxidants was evaluated by the scavenging method by the radical of DPPH (2,2-diphenyl-1-picrylhydrazyl), the results showed that gold nanoparticles have the highest antioxidant activity with a scavenging percentage of 71% at a concentration of 800 µg/ml.

Ministry of Higher Education  
And Science Research  
University of Misan  
Collage of Science  
Department of Biology



## **Biosynthesis of Gold Nanoparticles By Some Endophytic Fungi and Determination Of Their Biological Activities As Anti-Oxidant And Anti-Cance**

Submitted to the council of the college of science \ university of Misan as partial fulfilment of the requiriements for the master degree in biology

By

**Azhar Mohammed Alewi**

B.Sc.Biology(2001)

Supervised

Assist . Prof . Dr. Rashid Rahim Hateet

January 2023 A.D

1444A.H